

СОВРЕМЕННЫЕ ПОДХОДЫ И МЕТОДЫ ФОРМИРОВАНИЯ ЛОГИЧЕСКОЙ ЧАСТИ ЦИФРОВОЙ ЗАЩИТЫ И АВТОМАТИКИ ЭНЕРГОРАЙОНОВ

Лоскутов Антон Алексеевич

к.т.н., доцент, старший научный сотрудник лаборатории «Автономные гибридные электроэнергетические комплексы», доцент кафедры «Электроэнергетика, электроснабжение и силовая электроника»

Школа молодых ученых «Системные исследования энергетических технологий», 2025

АКТУАЛЬНОСТЬ

Современные системы электроснабжения промышленных потребителей

Система электроснабжения промышленного потребителя (СЭС ПП) — электротехнический комплекс, объединенный общим процессом генерирования и преобразования, передачи и распределения электрической энергии (ЭЭ) и состоящий из источников, преобразователей, электрических сетей (ВЛ, КЛ), распределительных устройств, приемников ЭЭ а также устройств обеспечивающих поддержание её параметров в заданных пределах (каналы связи, устройства РЗА и ИЭУ), рассредоточенный на некоторой территории.

Объект распределенной генерации (ОРГ) — электростанция, состоящая из одной или нескольких ГУ, подключаемая к сетям внутреннего ЭС потребителей ЭЭ на напряжении до 110 кВ включительно, максимально приближенная к узлу(-ам) ЭП, работающая параллельно с ЭЭС или в изолированном и островном режимах, имеющая в точке общего присоединения суммарную установленную мощность не

превышающую 25 МВт, использующая для производства энергии любые первичные источники энергии, включая возобновляемые (ВИЭ).

Особенности:

- Изменение традиционного механизма «производство – передача – распределение – потребление» электроэнергии: выработка энергии начинает осуществляться, в том числе и децентрализованно, в непосредственной близости от конечных потребителей;
- № Изменение характеристик электрических режимов ЭЭС: изменяются направления передачи потоков мощности в линиях электропередачи и понизительных трансформаторах; сетевые элементы начинают работать в условиях многостороннего питания; изменяются уровни и распределение токов короткого замыкания; появляется возможность возникновения режимов качаний и асинхронных режимов;
- Изменение значимости распределительных сетей СЭС ПП: подобно централизованной энергосистеме они начинают выполнять нехарактерные для них ранее функции генерирования энергии и управления распределением потоков мощности;
- Увеличение разнообразия применяемых технологий генерирования (газотурбинные и газопоршневые установки, ветро-,солнцегелиоэнергетика и т.д.).

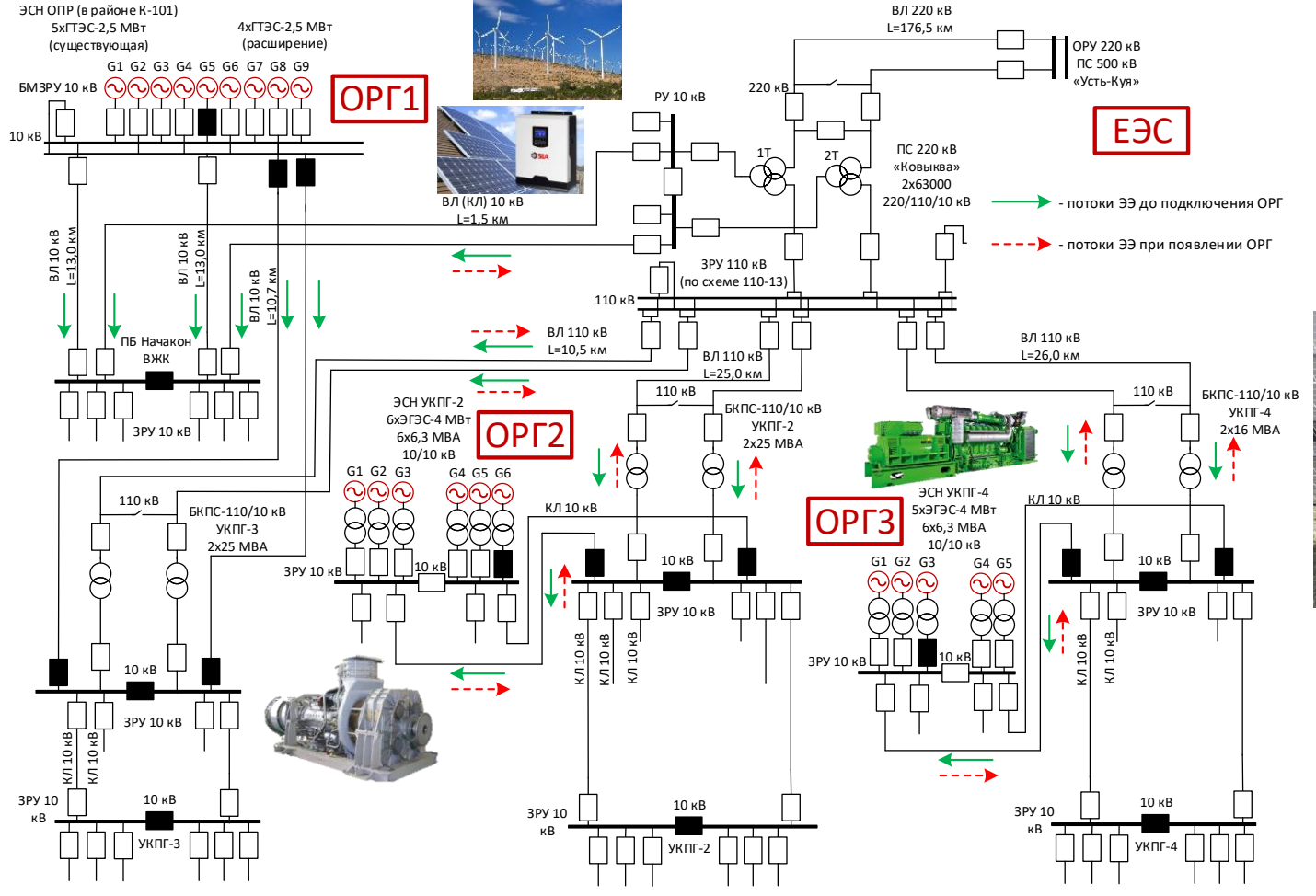


Рис. 1 - Электрическая схема СЭС ПП с ОРГ газодобывающей компании (пример)

Инновационные элементы энергосистем промышленного назначения:

Устройства силовой электроники



Нелинейная нагрузка



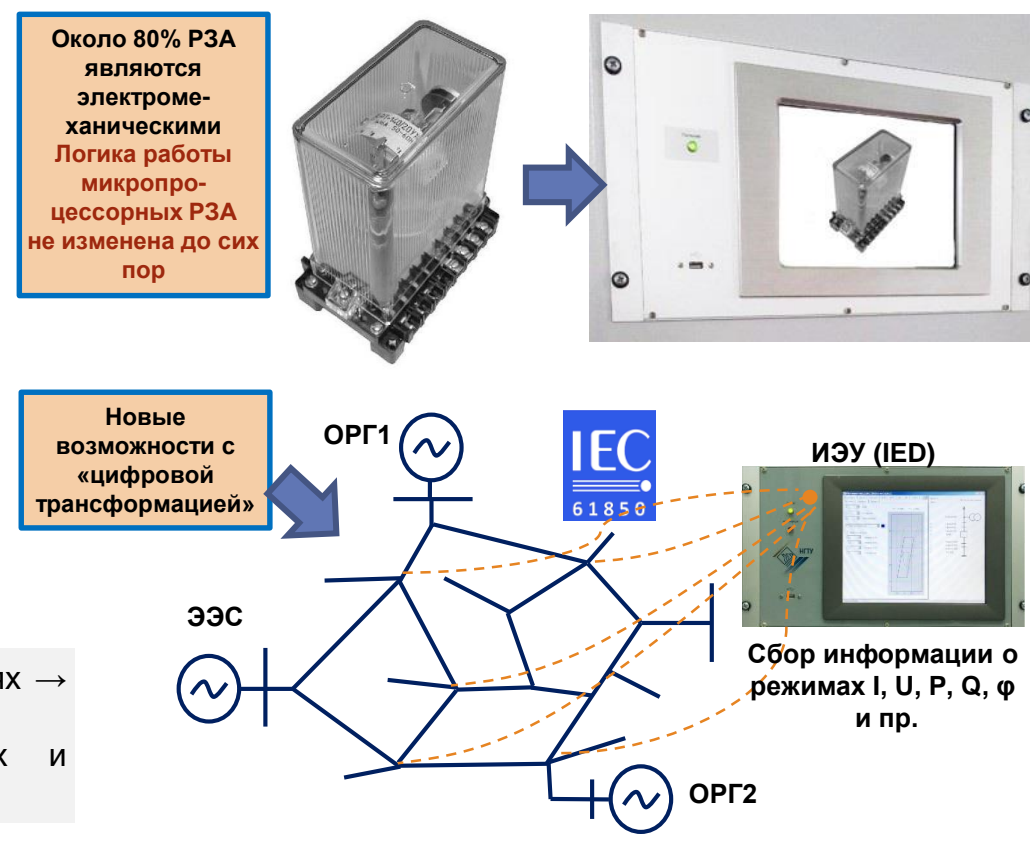
Цифровые технологии

Отечественный практический опыт на промпредприятиях и объектах нефтегазовой отрасли:

- ▶ необходимость быстрого отключения близких к шинам ОРГ КЗ с целью предотвращения нарушений устойчивости генераторов станции.
 Для этого предложено применение в прилежащей сети быстродействующих защит:
- неселективных токовых отсечек, дифференциальных защит, максимальных токовых защит с каналами связи логических защит линий (ЛЗЛ);
- » преимущественное обеспечение условий для **сохранения работы ОРГ на местную нагрузку**;
- ориентация существующих стандартов, требований к РЗА, производителей устройств РЗА на электрические сети (ПАО «Россети») без учета особенностей СЭС ПП.

Зарубежный практический опыт:

- ▶ ориентация РЗА на быстрое отключение ГУ ОРГ при внешних возмущениях и авариях → провоцирование дефицита мощности, снижение;
- ▶ формальный перенос, упрощение распространенных решений в питающих и системообразующих сетях → возникновение потенциальных и фактических проблем.



Не выработан комплексный подход к развитию РЗА в условиях увеличения масштабов внедрения объектов РГ, ВИЭ, элементов силовой электроники, в системах электроснабжения промышленных предприятий и потребителей

Необходимость совершенствования методов распознавания режимов для РЗА

- > Обеспечение требуемой эффективности функционирования РЗ электрических сетей, прилегающих к точке присоединения ОРГ.
- Построение эффективной РЗА, устанавливаемой в узле присоединения ОРГ к электрической сети;
- Улучшение: быстродействия, чувствительности (распознаваемости режима) и селективности.

РАЗДЕЛ 1.

Анализ проблем при распознавании режимов функционирования систем электроснабжения промышленных потребителей, в том числе с объектами распределенной генерации.

РАЗДЕЛ 2.

Принципы формирования логической части цифровых устройств многопараметрической защиты с использованием информации от пусковых органов.

РАЗДЕЛ 3.

Принципы формирования логической части цифровых устройств многопараметрической защиты с использованием информации от измерительных органов.

РАЗДЕЛ 4.

Применение последовательной процедуры Вальда в автоматике систем электроснабжения промышленных потребителей с объектами распределенной генерации.

РАЗДЕЛ 5.

Разработка новых способов определения места повреждения на воздушных линиях электропередачи в системах электроснабжения промышленных потребителей.

РАЗДЕЛ 6.

Варианты комбинирования волновых методов и методов по параметрам аварийного режима для улучшения распознавания поврежденных участков ЛЭП в системе электроснабжения промышленных потребителей.

РАЗДЕЛ 7.

Аппаратно-программная реализация киберзащищенных многопараметрических устройств цифровой защиты с применением компонентов промышленной автоматизации.

повышение быстродействия и точности ИО.

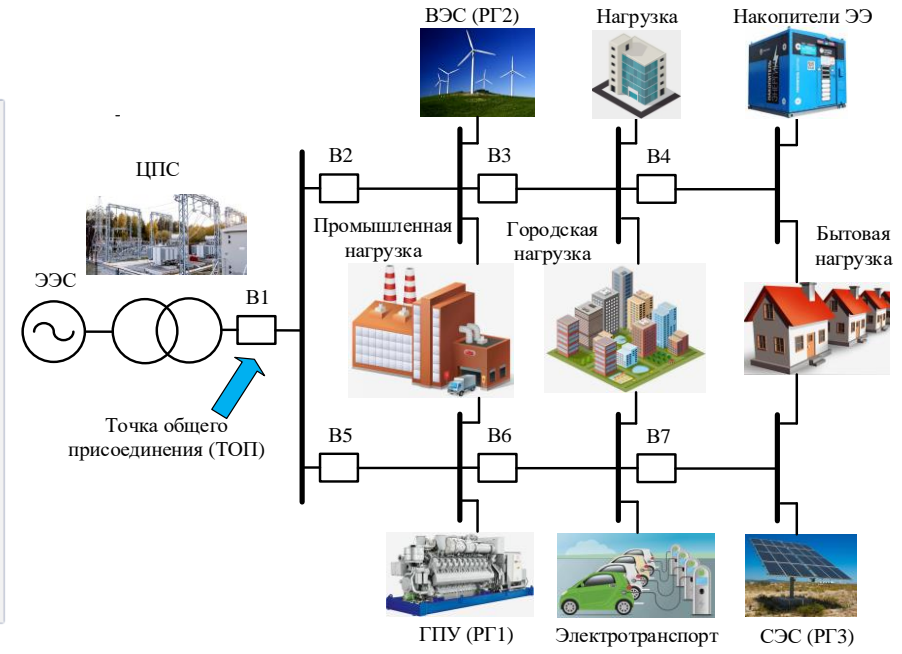
ОСНОВНЫЕ НАУЧНЫЕ АСПЕКТЫ ИССЛЕДОВАНИЯ

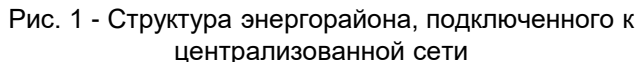
ЦЕЛЬ ИССЛЕДОВАНИЯ: Разработка и исследование новых методов формирования логической части устройств защиты и автоматики СЭС ПП для повышения чувствительности и быстродействия защиты, надежности распознавания аварийных режимов. Раздел 1 Раздел 4 Раздел 2 Методы Адаптивные Алгоритм АЧР Методы статистики vставки Влияние ОРГ Низкие ПКЭ маш. обуч. Бинарная Последовательная инф. от ПО Быстрые 눌 Проблемы Процедура процедура Вальда Комбиниро-Ослепление vсечения пер. проц. Мажоритарный распознавания вание. защиты Булева принцип. Модификация PSCADрежимов алгебра алгоритма АЧР Изменение моделирование уровня и Реверс Работа Улучшение распознаваемости, надежности Улучшение быстродействия, правильное направления технолог. мощности принятие решения TK3. автоматики Современные энергорайоны (СЭС ПП) Раздел 5 Имитационное моделирование, МНК многопараметрическая защита при Сеть Методы Сеть Распознавание аварийных режимов и отклонениях 6-35 кВ 110-220 кВ ОМП Обработка данных, использование в ЛЧ определения мест повреждений ПКЭ Метод Новые методы формирования логической Методы Раздел 3 Методы последоналожения одномерной вательного части устройств цифровой защиты и Метод Метод оптимизации распознавания Инф. от ИО автоматики к-ближайших логистической соседей Повреждение в измер-ных регрессии Улучшение точности, цепях напряжения сокращение времени Метод Раздел 7 «сжатие к условиям искажения расчета. адаптация опорных данных» Методы сигналов, восстановления осциллограмм векторов маш. обуч. Аппаратно-программная реализация Метод Обучаемые 🗸 Раздел 6 ИНС линейного модули дискри-Универсальность аппаратного Метод Комбинирование волновых методов и методов по ПАР минанта обеспечения, быстрые создание, Дерево главных Фишера модификация, корректировка решений (ДР) Увеличение основной зоны защиты, уменьшение компонент конфигурационного программного зависимости от режима сети, ликвидация мертвой зоны, обеспечения.

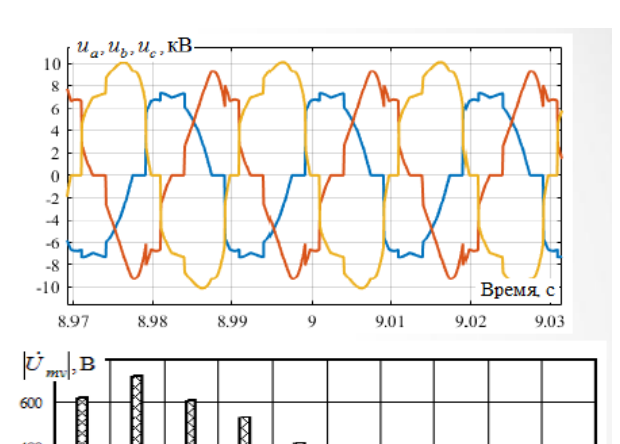
Улучшение распознаваемости, чувствительности

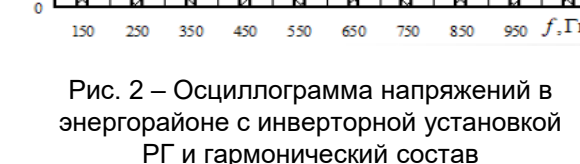
Аспекты при анализе режимов работы СЭС ПП с ОРГ:

- > Контроль и регулирование напряжения и частоты;
- Дисбаланс мощности (параллельный/островной режимы);
- Показатели качества электроэнергии (ПКЭ);
- Изменения в топологии сети;
- Экономические аспекты;
- Быстрые переходные процессы;
- > Устойчивость работы энергорайона;
- Технологическое присоединение объекта РГ;
- Типы и области вероятных повреждений;
- Согласованность технологической автоматики











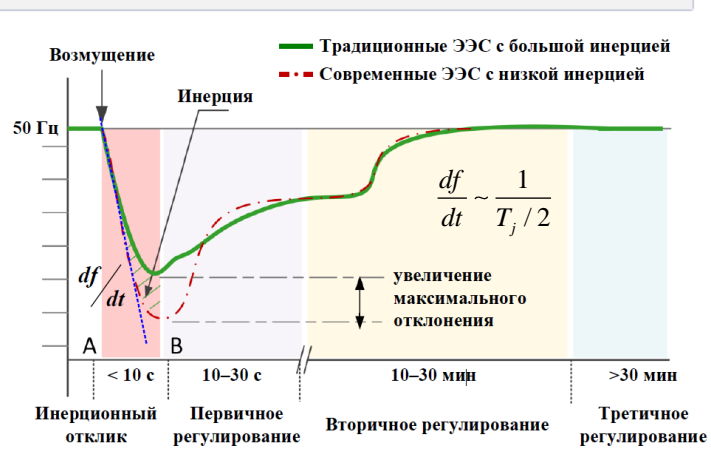


Рис. 3 – Увеличение скорости изменения частоты

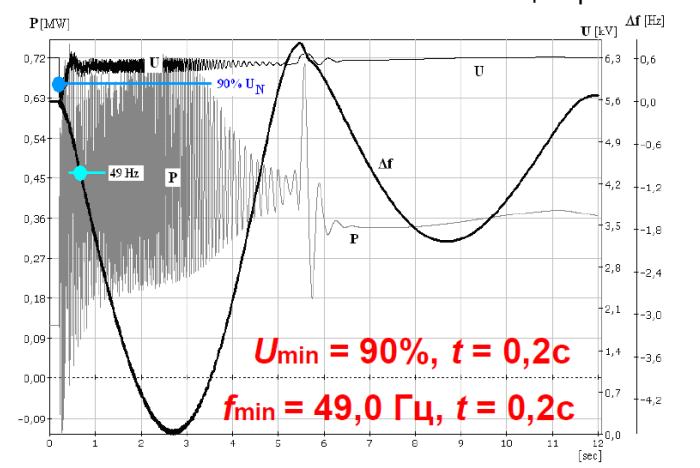


Рис. 4 — Переходный процесс при работе энергорайона в островном режиме и пуске СД 1,25 МВт

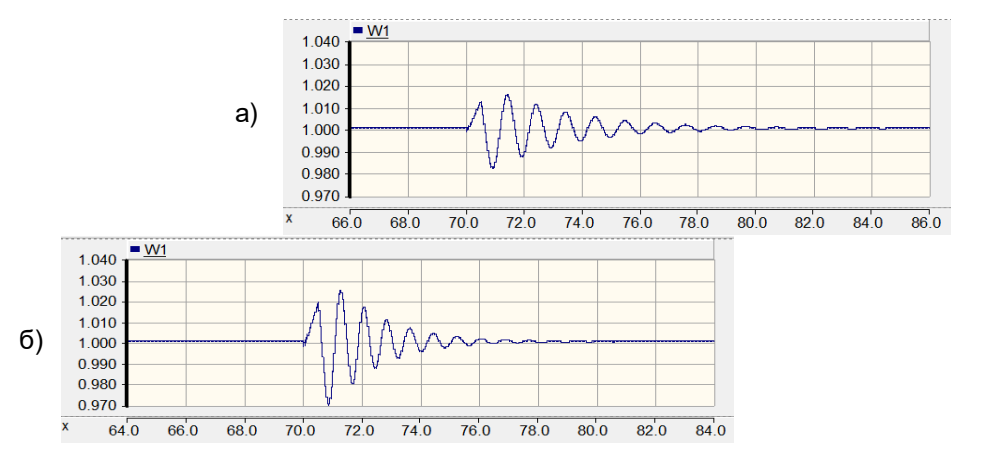


Рис. 5 – График скорости вращения ротора ГУ при: а) *Ti*.= 8 c; б) *Ti*.= 5 c

Влияние нестационарных режимов на РЗА в СЭС ПП с ОРГ.

Двухуровневая организация интеллектуальной системы цифровой защиты и автоматики

Проблемы РЗА СЭС ПП с ОРГ:

- Влияние типов ГУ на ток повреждения;
- Различия в уровнях КЗ;
- Реверсивный поток мощности;
- > Ложное срабатывание;
- Ослепление защиты;
- Нежелательное отключение (переход в изолированный режим)
- Несинхронное АПВ

Необходимость в методах распознавания режимов

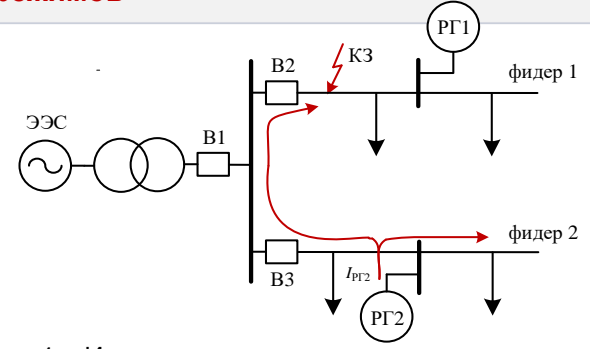


Рис. 1 – Изменение потока мощности на участках сети

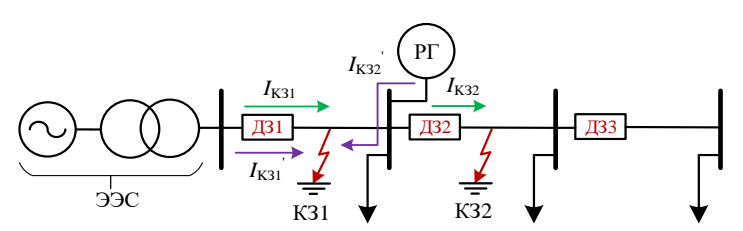


Рис. 2 – Ослепление дистанционной защиты

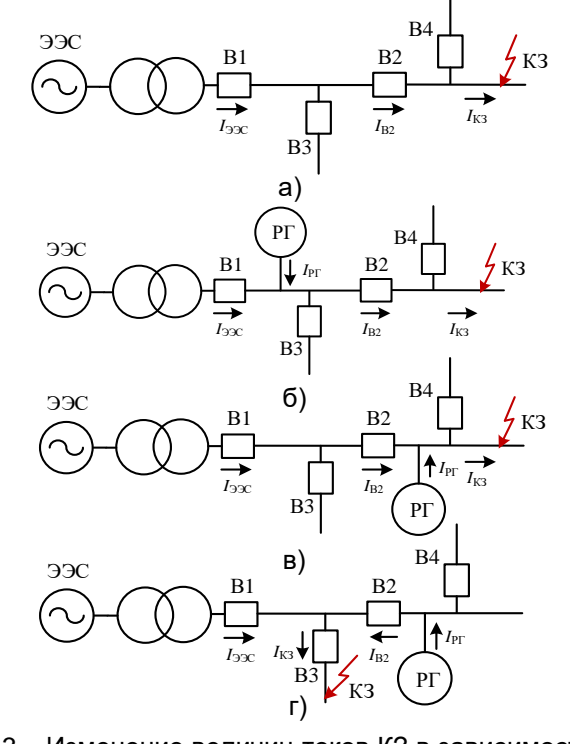


Рис. 3 – Изменение величин токов КЗ в зависимости от наличия и расположения ОРГ

Табл. 1 - Влияние различных типов ГУ на ток КЗ

Тип агрегата ГУ объекта РГ	Вклад в ток КЗ, возникающий на шине		
F1	генератора		
	Ток КЗ: 1-2 І_{ном} инвертора ;		
Инверторный генератор	Продолжительность: 0,5-		
	10 ⁻ циклов КЗ		
	Ток К3: 5-10 І_{ном} генератора		
Синхронный генератор с	для сверхпереходных и		
отдельным источником	переходных циклов КЗ; 2-4		
возбуждения	I _{ном} генератора для		
· ·	установившегося КЗ		
	Ток КЗ: 5-10 І_{ном} генератора в		
Асинхронный генератор с	течении 3-5 циклов КЗ;		
самовозбуждением	незначительный после 5-10		
-	циклов КЗ		

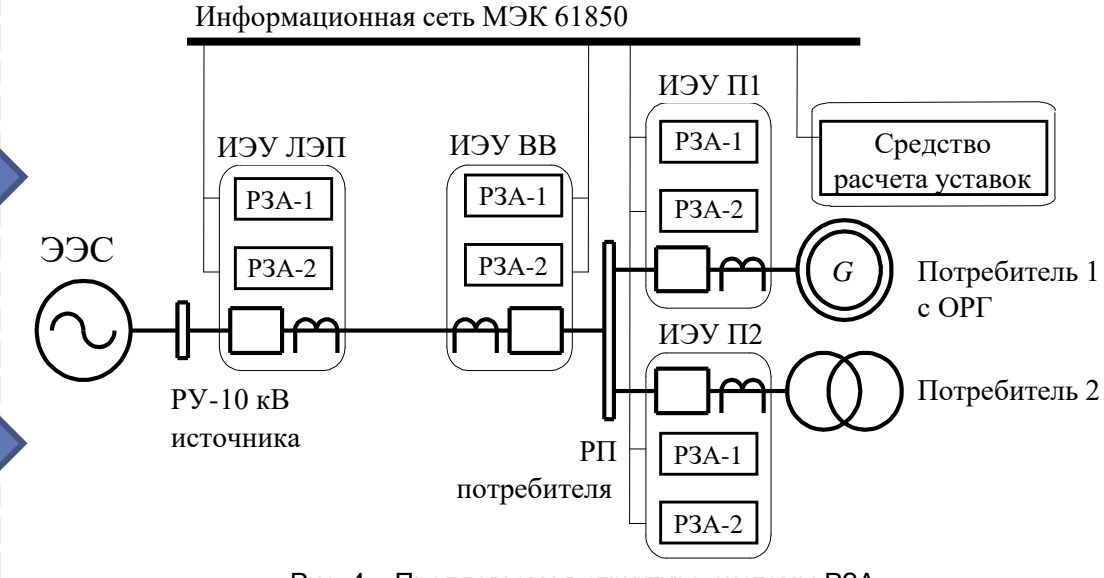


Рис. 4 – Предлагаемая структура системы РЗА

Уровень 1 — быстродействующие защиты абсолютной селективности для каждого участка сети (зоны защиты), не имеющие резервной зоны защиты.

Дифференциально-логическая защита с использованием сети связи по МЭК 61850.

Защита построена на распределенных ИЭУ всех присоединений электросети. Но все ИЭУ, реализующие дифференциально-логическую РЗ, активно взаимодействуют друг с другом во всех зонах защиты, адаптируясь под топологию сети, ее режимы, при отказах элементов.

P3A-2

P3A-1

Уровень 2 – ступенчатые защиты относительной селективности для каждого участка сети (зоны защиты), **имеющие** резервные зоны защиты.

Многопараметрическая защита, основанная на статистических принципах и синтезированной логической частью.

Защита отличается комбинацией ПО и ИО, позволяющей достигать большей распознаваемости режима и чувствительности РЗ за счет использования множества измерений и динамической адаптацией к режимам сети (при наличии информационной сети по МЭК 61850).

Перспективные варианты организации РЗА 2-го уровня:



Многопараметрическая защита (автоматика)

 использования более чем одного информационного параметра

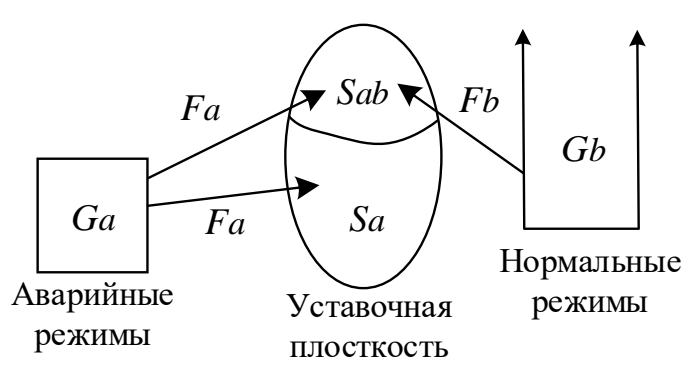


Рис. 1 – Варианты распознавания режимов в одномерном уставочном пространстве

y — наблюдаемый параметр, a и b — аварийный и нормальный режимы, Ga и Gb — заданные объектные области определения параметров находящийся в различных режимах (ya и yb), Fa и Fb — функции преобразования параметров ya и yb в уставочную область, Sa — уставочная область аварийных режимов и Sab — уставочная область аварийных и нормальных режимов (область не распознавания).

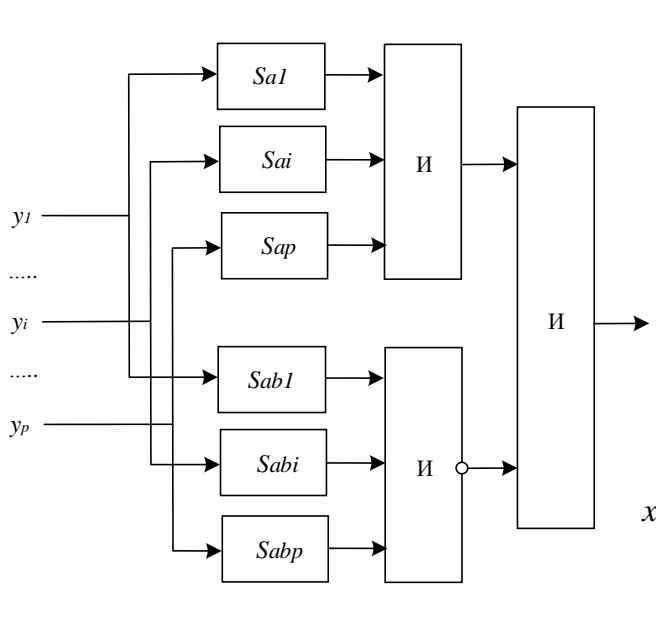


Рис. 2 – Структура защиты на многопараметрическом принципе



Информационный подход

- многократное моделирование;
- статистическая обработка результатов моделирования;
- теория принятия решений;
- методы машинного обучения, ИНС и пр.

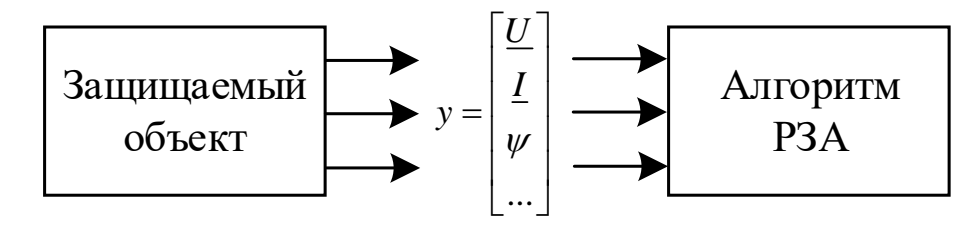


Рис. 3 – Принцип использование набора информационных параметров для P3A

х - вектор объектных параметров,

у - вектор информационных параметров (признаков).

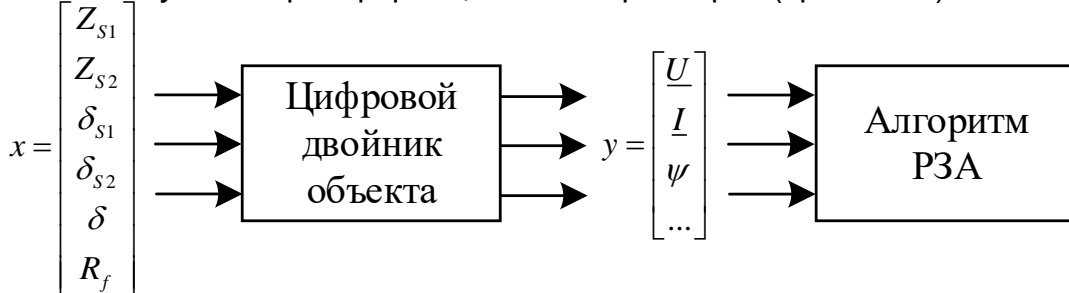
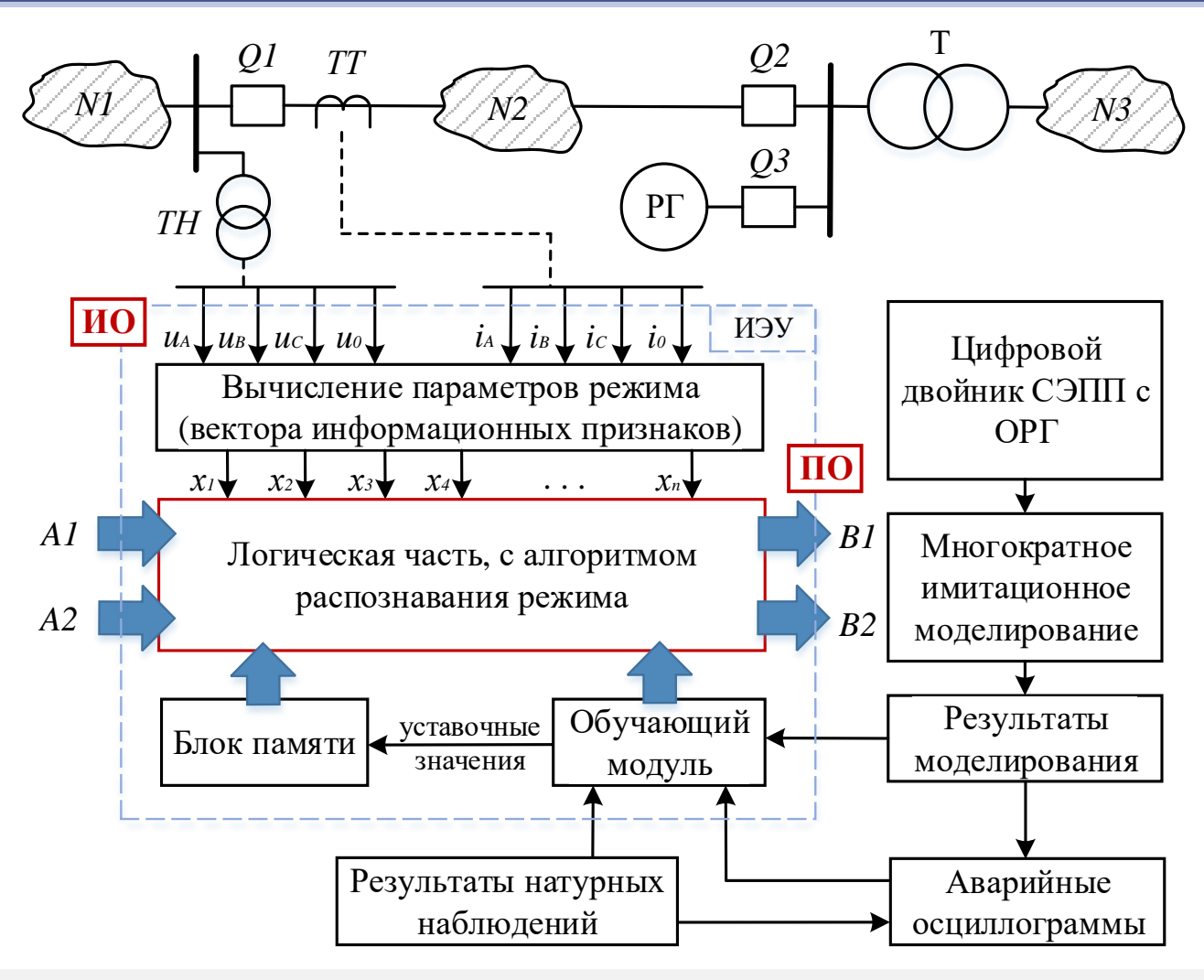


Рис. 4 — Принцип использования имитационного моделирования для алгоритма P3A



ИО – измерительные органы – виртуальная часть ИЭУ обеспечивающая непрерывное измерение и контроль наблюдаемого параметра $P=\{p(t)\}$ (например, величины тока, напряжения, сопротивления); ПО – пусковые органы – виртуальная часть ИЭУ формирующая бинарный сигнал («0» или «1») в результате сравнения измеренного значения параметра с уставкой и формирования признака срабатывания.

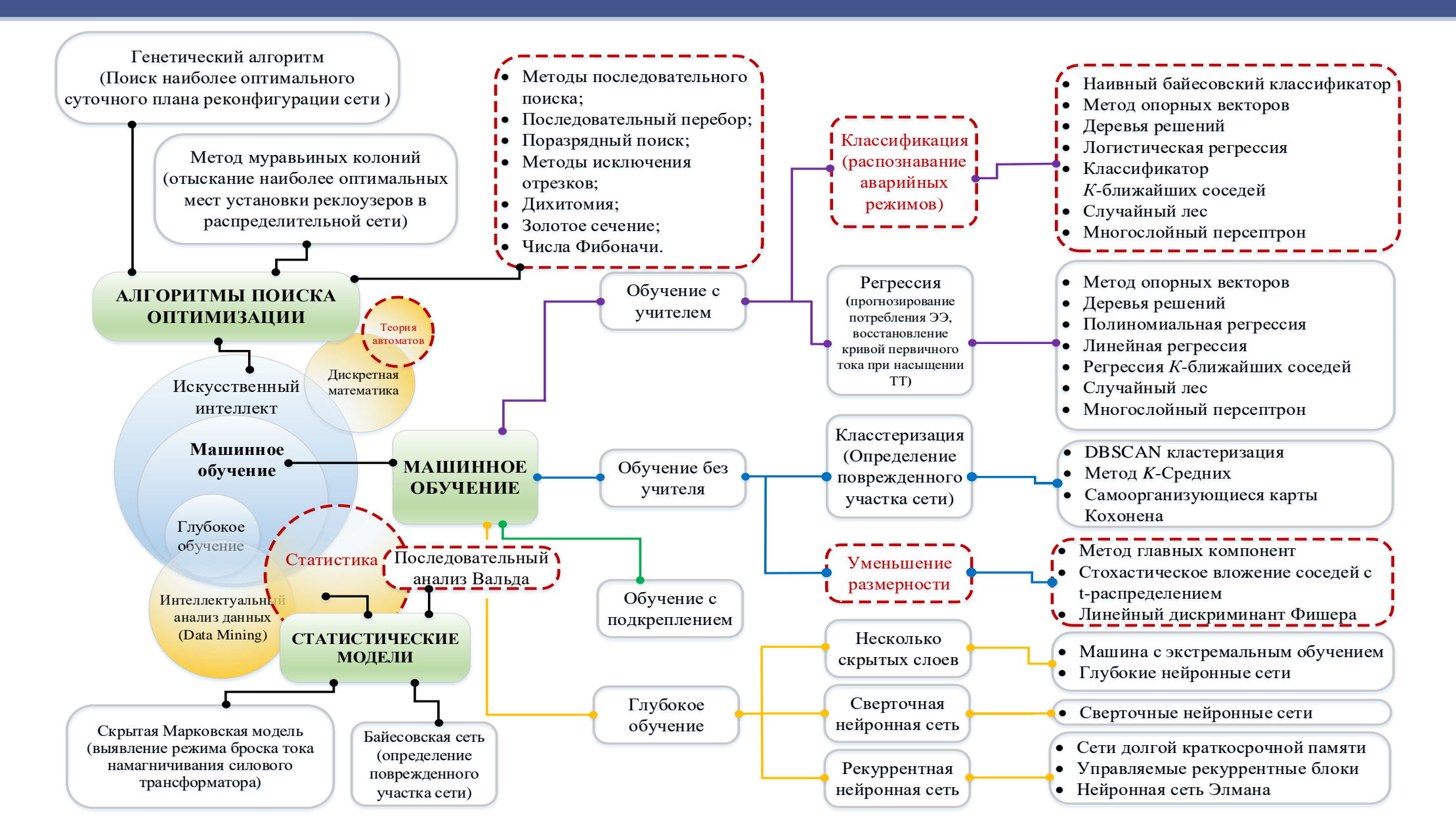
Входная информация:

- $\stackrel{}{\iota}_b$ аналоговые сигналы или отцифрованные сигналы: токи i_a , i_b , i_c , i_0 , напряжения u_a , u_b , u_c , u_0 и зависящие от них величины в месте установки защиты и в других местах энергорайона; непрерывные (аналоговые) величины, пропорциональные температуре объекта или окружающей среды, давлению и пр.;
- ➤ A1 входная дискретная (бинарная) информация (0,1), в том числе сигналы от коммутационных аппаратов, других ИЭУ и от обслуживающего персонала;
- ► A2 цифровая информация от других ИЭУ, характеризующая как текущие значения переменного тока, так и логические сигналы, получаемые посредством цифровых коммуникационных интерфейсов (например, МЭК 61850);
- результаты имитационного моделирования в виде выборок действующих/амплитудных/комплексных значений наблюдаемых информационных признаков во всевозможных режимах работы;
- результаты натурных наблюдений в виде вектора значений;
- ▶ осциллограммы токов, напряжений, сопротивлений при аварийных событиях, полученные в результате модельных экспериментов и с реальных регистраторов на ПС, служащие для обучения ИЭУ и валидации результатов обучения ИЭУ распознаванию режимов.

Выходная информация из ИЭУ:

- ▶ В1 выходная дискретная информация (логические сигналы к другим защитам и на отключение выключателей);
- № В2 цифровая информация к другим устройствам (характеризующая в общем случае как текущие значения переменного тока, так и логические сигналы), получаемая посредством цифровых коммуникационных интерфейсов (например МЭК 61850).

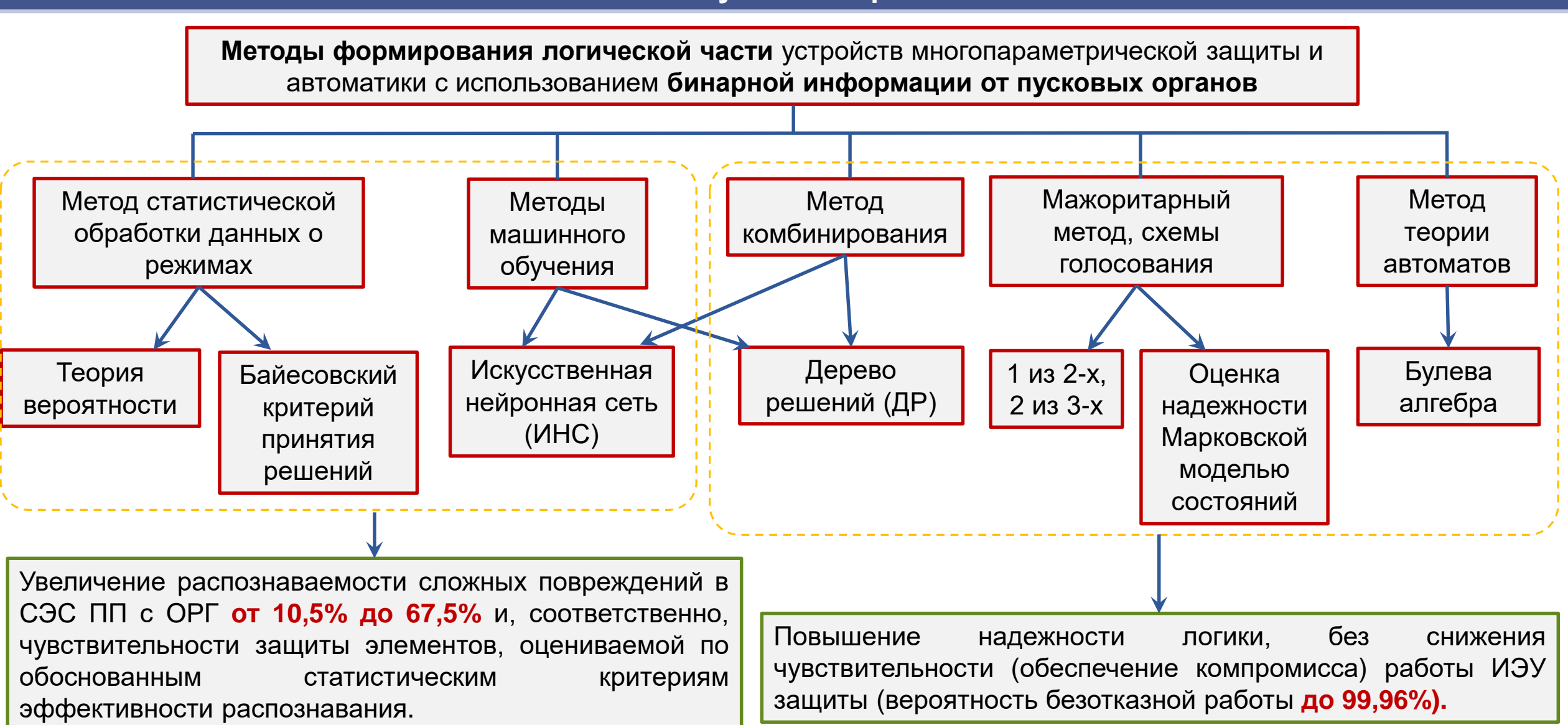
Классификация методов, основанных на данных, и методов машинного обучения для анализа энергосистем и повышения эффективности РЗА



Принципы формирования логической части цифровых

Раздел 2

устройств многопараметрической РЗА с использованием бинарной информации от пусковых органов



Средство накопления статистики – имитационная модель. Информационный подход

Статистические методь

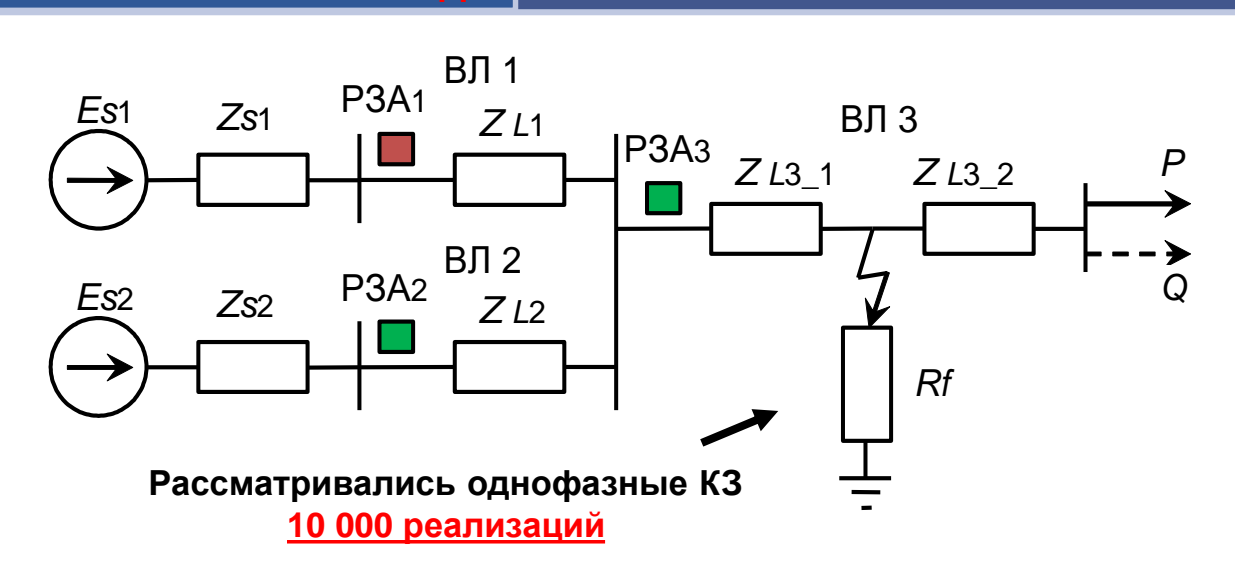


Рис. 1 - Схема замещения моделируемого участка сети 110/220кВ СЭС ПП

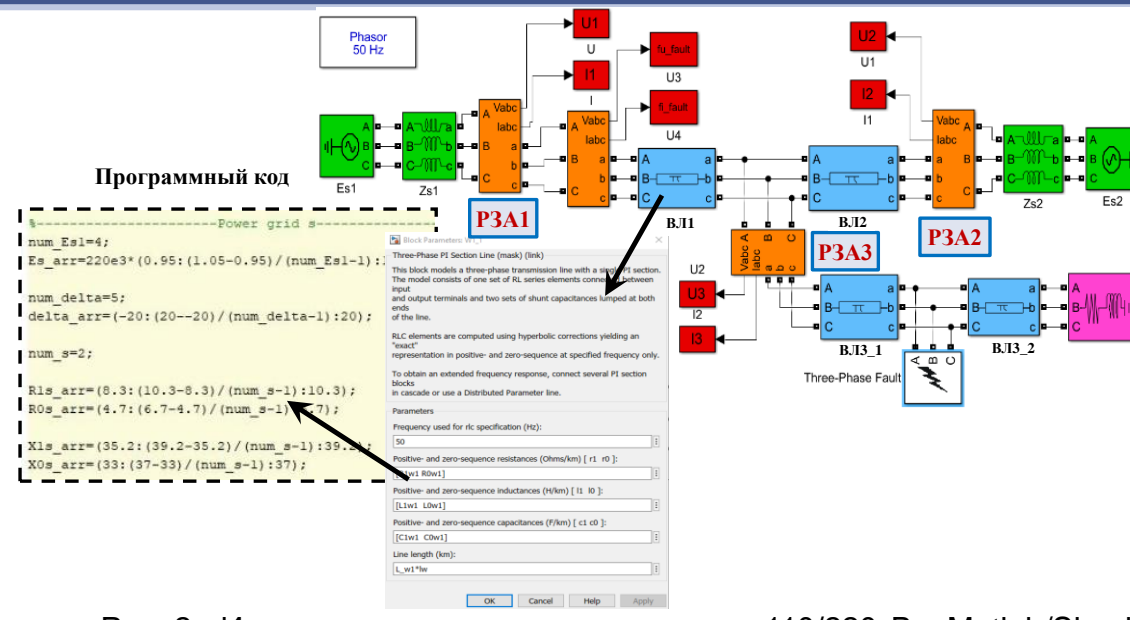


Рис. 2 - Имитационная модель участка сети 110/220кВ в Matlab/Simulink

Табл. 1 - Параметры элементов модели

Фиксированные		Интервальные		Интервальные		
Параметр	Значение	Параметр	Значение Параметр		Значение	
U _{ном} , кВ	220	X ₁ ^{s1} ,Ом/км	25.09 (±1)	l _{line}	0.00010.9999	
L ₁ , км	100	X ₀ ^{s1} ,Ом/км	1.31 (±0.1)	R _f , Ом	0.140	
L ₂ , км	100	X ₁ ^{s2} ,Ом/км	9.75 (±1)	δ, °	-30° 30°	
L ₃ , км	100	X_0^{s2} ,Ом/км	0.87 (±0.1)	k_1	0.951.05	
b ₁ ^{1,2,3} , См/км	j0.65·10 ⁻⁶	R ₁ ^{1,2,3} , Ом/км	0.13 (±0.01)	k_2	0.951.05	
b ₀ ^{1,2,3} , См/км	j0.65·10 ⁻⁶	$R_0^{1,2,3}$, Ом/км	0.27 (±0.01)	Р, МВт	300 (±10)	
R ₁ ^{s1,s2} , Ом/км	0	X ₁ ^{1,2,3} ,Ом/км	0.332 (±0.01)	Q, MBap	150 (±10)	
R ₀ s1,s2, Ом/км	0	X ₀ ^{1,2,3} ,Ом/км	0.332 (±0.01)			

Пусковые органы:

ПО1 - по модулю тока
ПО2 - по модулю напряжения
ПО3 - по фазе напряжения
ПО4 - по активной мощности
ПО5 - по реактивной

мощности

Разработанные программы для ЭВМ





$$k_1 = Es1/U_{HOM}$$
 $k_2 = Es2/U_{HOM}$ $\delta = arg(Es1/Es2)$

Определение параметров срабатывания (уставок) защиты для областей допустимых и аварийных режимов

Критерий Байеса (Risk→0)

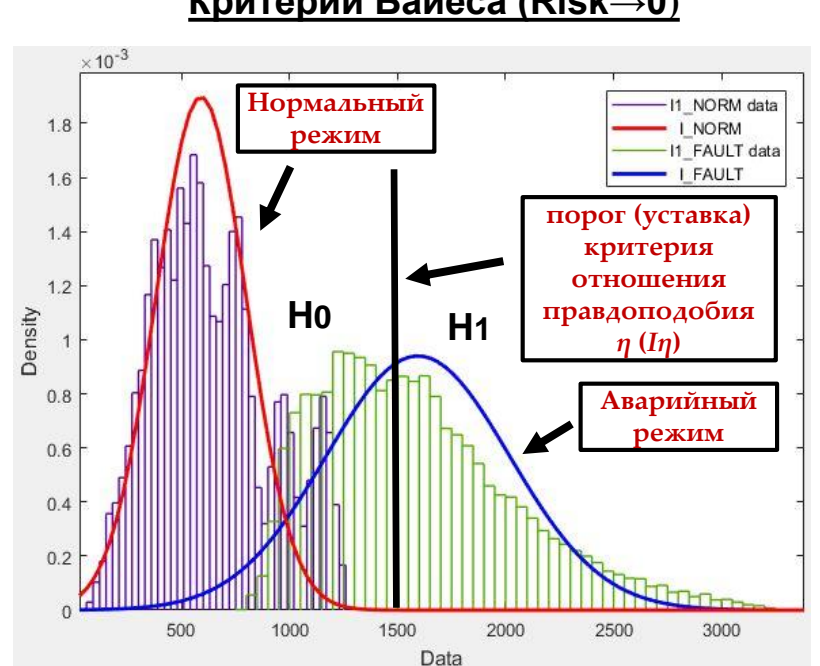


Рис. 1 - График условной плотности вероятности нормального распределения допустимых и аварийных режимов модуля тока

Отношение правдоподобия:

$$\lambda(P) = \frac{P_{H_1}(p_i(t)|H_1)}{P_{H_0}(p_i(t)|H_0)} \rightarrow \infty \quad \begin{array}{l} \lambda(P) > \eta \rightarrow H_1 \\ \lambda(P) \leq \eta \rightarrow H_0 \end{array}$$

 $P_{H_1}(p_i(t)|H_1)$ И $P_{H_0}(p_i(t)|H_0)$ - функции плотности условной вероятности (правдоподобия) аварийного и нормального режимов при заданном векторе наблюдения

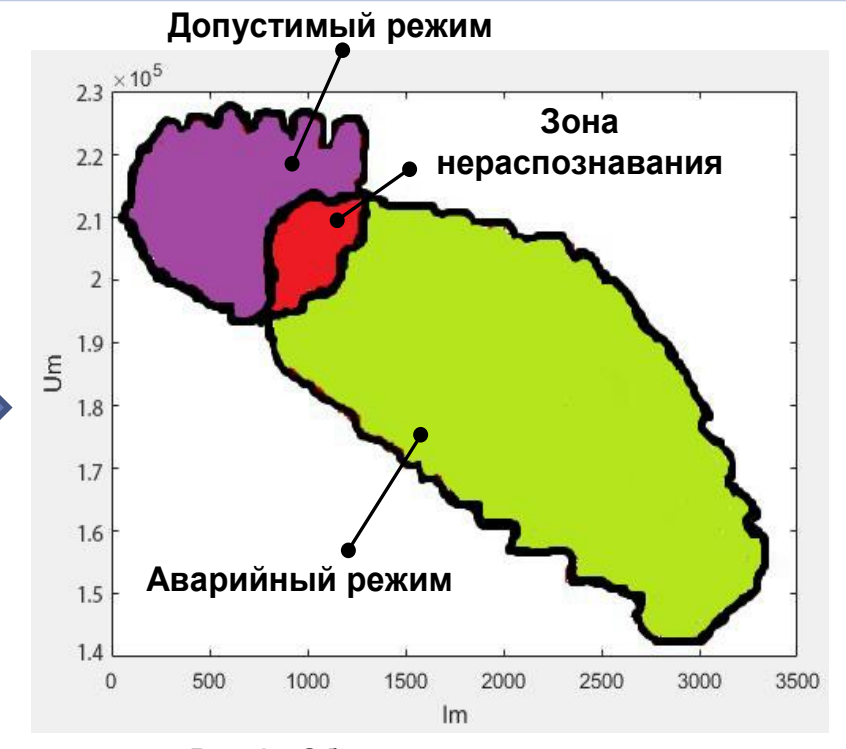


Рис. 2 - Области допустимых и аварийных режимов модуля тока и напряжения для моделированной сети

 H_0 – на вход ПО поступил сигнал, характерный для нормального режима (на выходе - логический 0); > Н₁ – на вход ПО поступил сигнал, характерный для аварийного режима (на выходе - логическая 1).



обеспечивает полную отстройку от всех допустимых режимов

Определение уставочных значений при Байесовском критерии принятия решений:

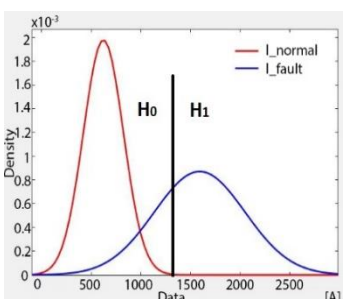


Рис. 3 - ПО1 - по модулю тока (*Im*)

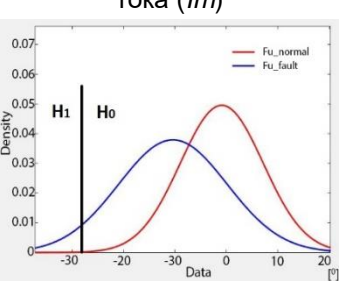


Рис. 5 - ПОЗ - по фазе напряжения (φ)



Рис. 4 - ПО2 - по модулю напряжения(*Um*)

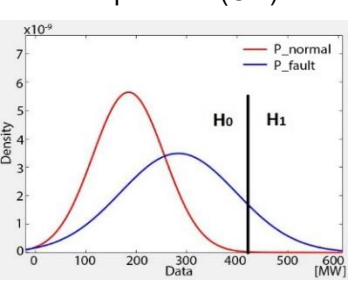


Рис. 6 - ПО4 - по активной мощности (Q)

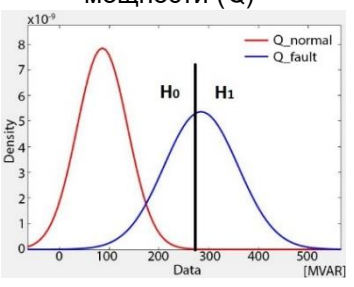


Рис. 7 - ПО5 - по реактивной мощности (P)

Вероятности распознаваемости аварийных режимов отдельными пусковыми органами

Статистические методь

Выбор параметров срабатывания позволяет оценить распознаваемость КЗ каждым пусковым органом (ПО1 - ПО5)

Пусковой орган	Параметр	p ₁ (%)	q ₁ (%)
ПО1 - по модулю тока	lm	73,78	26,22
ПО2 - по модулю напряжения	Um	43,16	56,84
ПО3 - по фазе напряжения	$\boldsymbol{\varphi}_{u}$	6,28	93,72
ПО4 - по активной мощности	P	12,14	87,86
ПО5 - по реактивной мощности	Q	56,07	43,93

 p_1 - вероятность срабатывания РЗА при КЗ; $q_1 = 1 - p_1$ - вероятность не срабатывания при КЗ.

Вероятность срабатывания РЗА при гипотезе H_0 равна p_0 = 0. Вероятность не срабатывания при гипотезе H_0 равна q_0 =1. Вектор А - сигнал, поступающий от всех ПО на вход логической части:

 $A = A_{1i}, A_{2i}, \dots A_{pi}$, где $i = 1 \dots n, n$ - количество наблюдаемых режимов (итераций), p - количество ПО.

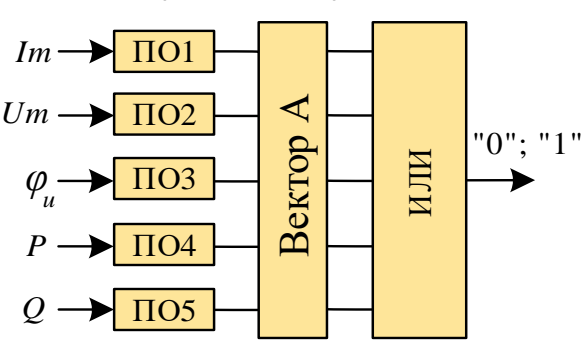


Рис. 1 - Объединение Вектора А логической операцией «ИЛИ»

Чувствительность устройства РЗА будет определяться наибольшей чувствительностью из набора ПО1 - ПО5. Вероятность распознавания КЗ в резервной зоне ↑ на 5-8% по сравнению с самым чувствительным ПО.

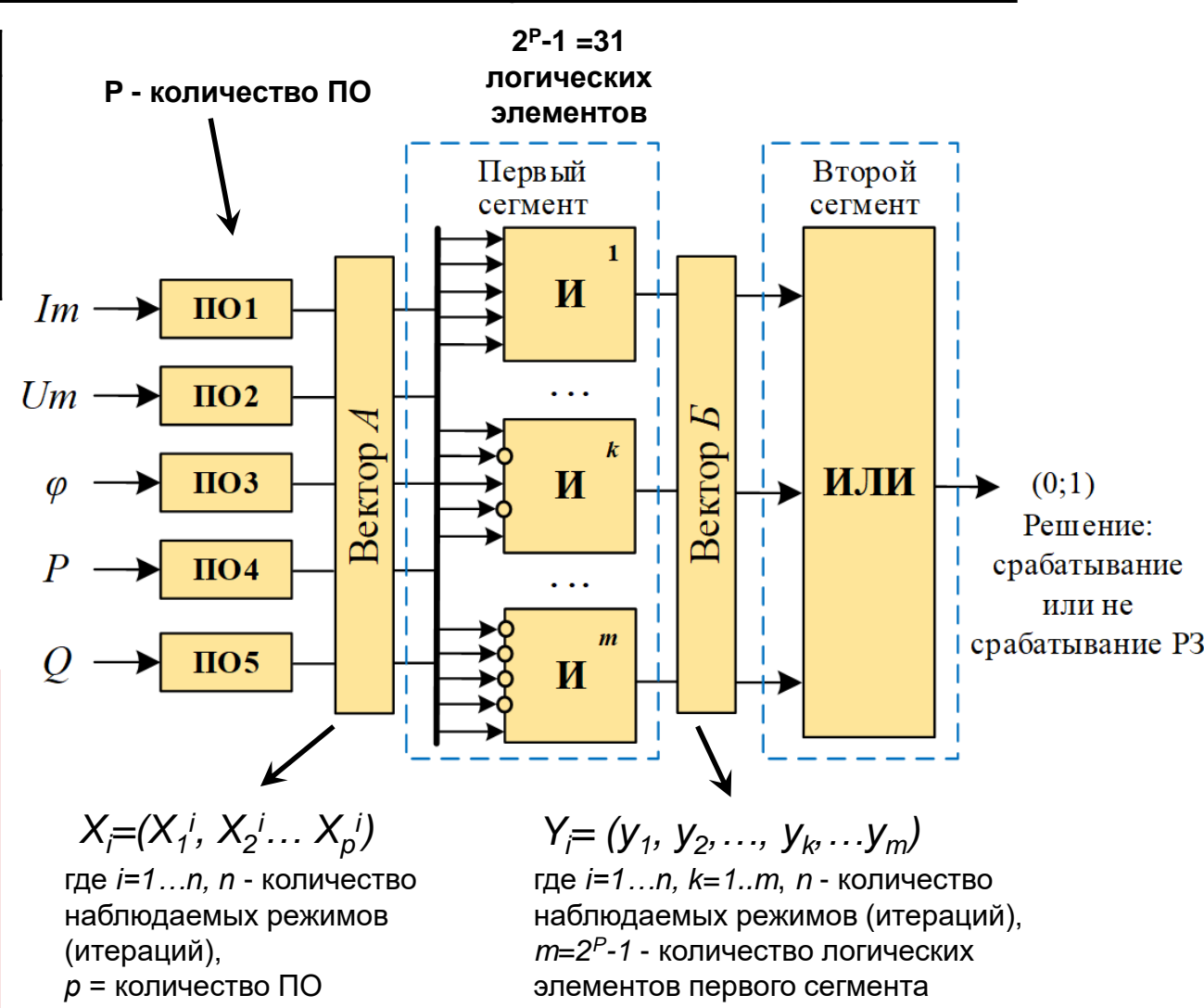


Рис. 2 - Структурная схема логической части объединения сигналов ПО

Метод объединения сигналов ПО для повышения надежности логики РЗА, не снижая распознаваемость

Методы схем голосования

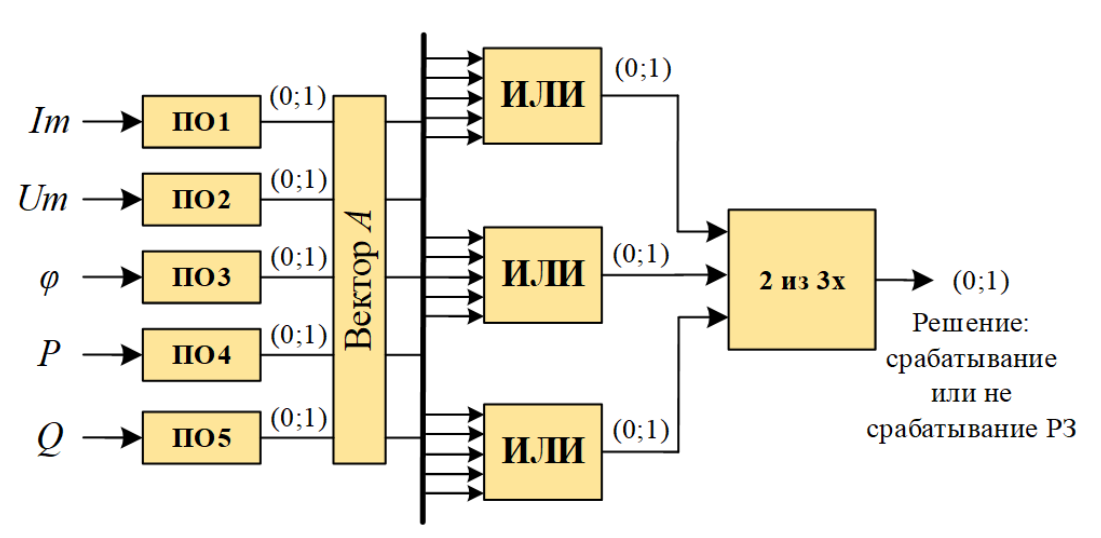


Рис. 1 - Структурная схема организации ЛЧ при объединении совокупности сигналов отдельных ПО принципом «2 из 3-х»

Пять состояний:

- 1 все три логических элемента работают безотказно;
- 2 один из логических элементов отказал и отказ обнаружен;
- 3 один из логических элементов отказал и отказ не обнаружен;
- 4 два из логических элементов отказали и отказ обнаружен;
- 5 два из логических элементов отказали и отказ не обнаружен

Табл. 1 - Значения интенсивности отказов и восстановления

Параметры	Значения
λ_{00}	0,018 (один раз в 25 лет)
$\lambda_{ m OH}$	0,026 (один раз в 35 лет)
$\mu_{ m BO}$	1095 (8 часов в год)
$\mu_{ m BH}$	4 (тест 6 месяцев)

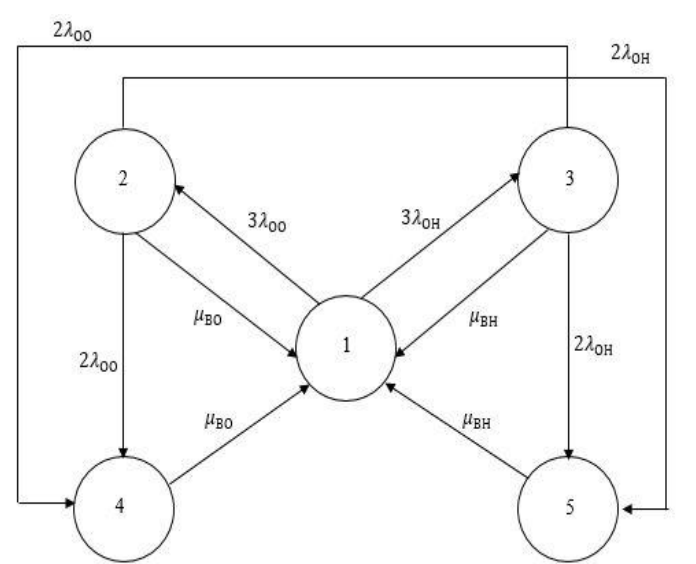


Рис. 2 - Марковская модель состояния предложенной схемы организации ЛЧ

 λ_{OO} - интенсивность отказов для обнаружения отказа логического элемента;

 λ_{OH} - интенсивность отказов для не обнаружения отказа логического элемента;

 μ_{BO} - интенсивность восстановления для обнаружения отказа логического элемента в год; μ_{BH} - интенсивность восстановления для не обнаружения отказа логического элемента в год.

<u>Решение системы алгебраических</u> уравнений:

$$-(3\lambda_{00} + 3\lambda_{0H})P_1 + \mu_{B0}P_2 + \mu_{BH}P_3 + \mu_{B0}P_4 + \mu_{BH}P_5 = 0;$$

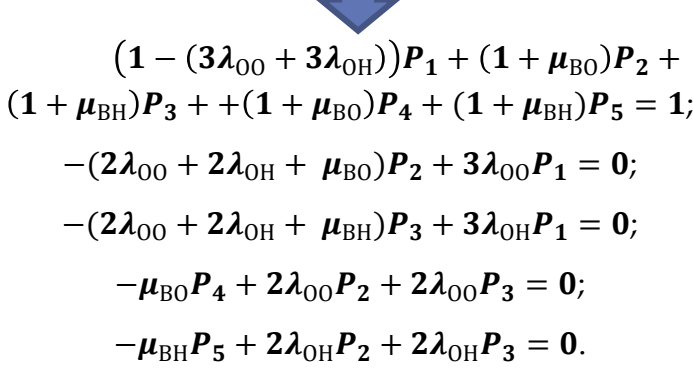
$$-(2\lambda_{00} + 2\lambda_{0H} + \mu_{B0})P_2 + 3\lambda_{00}P_1 = 0;$$

$$-(2\lambda_{00} + 2\lambda_{0H} + \mu_{BH})P_3 + 3\lambda_{0H}P_1 = 0;$$

$$-\mu_{B0}P_4 + 2\lambda_{00}P_2 + 2\lambda_{00}P_3 = 0;$$

$$-\mu_{BH}P_5 + 2\lambda_{0H}P_2 + 2\lambda_{0H}P_3 = 0;$$

$$P_1 + P_2 + P_3 + P_4 + P_5 = 1.$$



Вероятности каждого состояния:

Чтобы полученная система не была вырожденной, добавляется условие нормирования $\sum_{i=1}^{n} P_i$.



$$\begin{bmatrix}
P_1 \\
P_2 \\
P_3 \\
P_4 \\
P_5
\end{bmatrix} = \begin{bmatrix}
0.868 & 1096 \\
0.054 & -1095.088 \\
0.078 & 0 \\
0 & 0.036 \\
0 & 0.052
\end{bmatrix}$$

$$\begin{bmatrix} 5 & 1096 & 5 \\ 0 & 0 & 0 \\ -4.06 & 0 & 0 \\ 0,02 & -1095 & 0 \\ 0.04 & 0 & -4 \end{bmatrix}^{-1} \begin{bmatrix} 1 \\ 0 \\ 0 \\ 0 \end{bmatrix} = \begin{bmatrix} 0,981 \\ 4,837410^{-5} \\ 0,0187 \\ 6,169610^{-6} \\ 2,439610^{-4} \end{bmatrix}$$

Объединение бинарных сигналов от отдельных пусковых органов с помощью искусственной нейронной сети (ИНС) и метода дерева решений

Метод ИНС

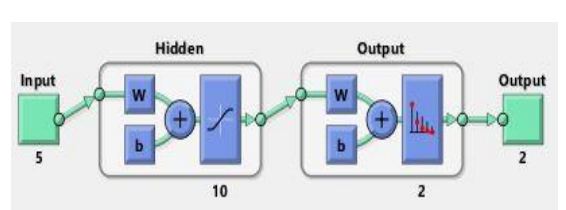


Рис. 1 - Модель используемой ИНС

Распознаваемость аварийных режимов увеличилась на **14,2%.**



Рис. 3 - Матрица путаницы ИНС

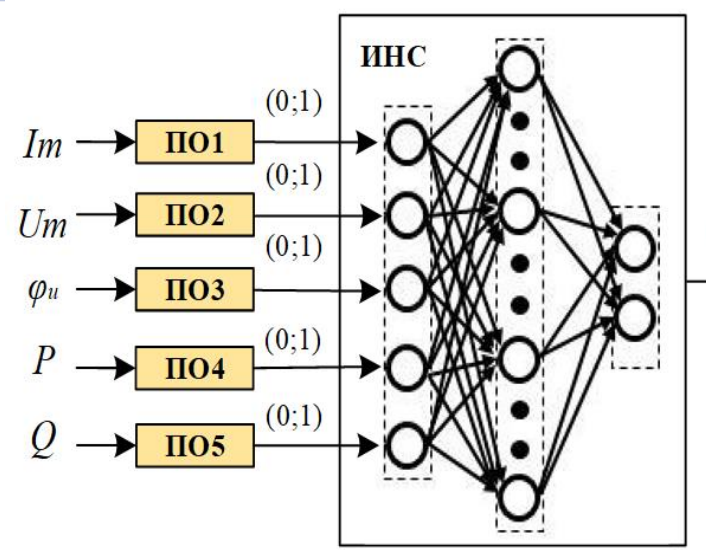


Рис. 2 - Схема объединения сигналов методом ИНС

Элемент матрицы:

- **(1,1)** допустимые распознанные ИНС режимы;
- **(2,2)** аварийные распознанные ИНС режимы;
- (1,2) режимы, которые считаются аварийными, но при обучении оказались нормальными (неправильное распознавание РЗ аварийных режимов);
- (2,1) режимы, которые считаются допустимым, но при обучении оказались аварийным (неправильное распознавание РЗ нормальных режимов).

Метод дерева решений

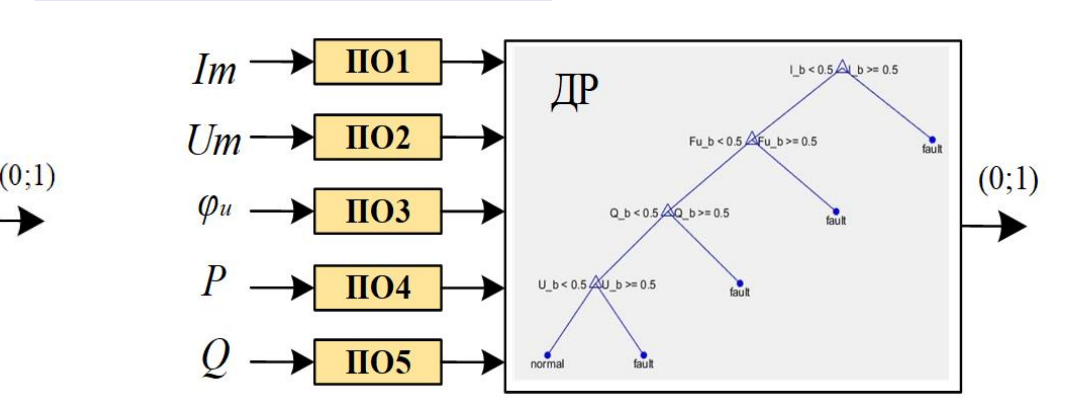


Рис. 4 - Схема объединения сигналов методом ДР

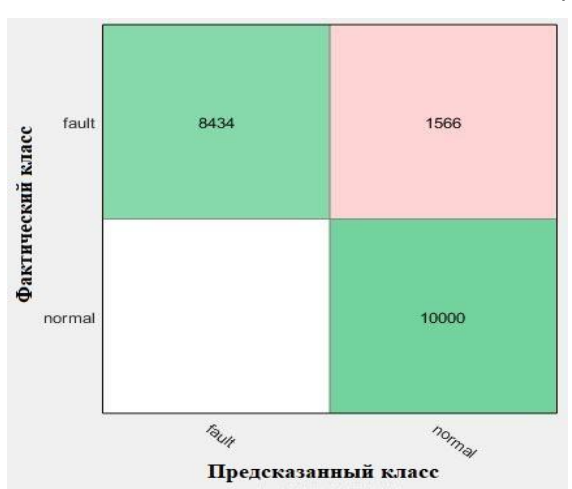


Рис. 5 - Матрица путаницы ДР

Увеличение распознаваемости **более чем на 14%** по сравнению с использованием принципа «ИЛИ».

- Диагональные поля (fault, fault) и (normal, normal) представляют правильное распознавание аварийных и нормальных режимов.
- Поле (normal, fault), представляющее число режимов, при которых РЗА неправильно срабатывает, оказалось нулевым.
- ➤ Число нераспознаваемых аварийных режимов составило 1,06% (fault, normal).
- ▶ При объединении логических сигналов ПО методом ДР защита будет работать правильно, а распознаваемость аварийных режимов увеличивается до 84,34%.

Раздел 3

Принципы формирования логической части цифровых устройств многопараметрической РЗА с использованием информации от измерительных органов

Методы формирования логической части устройств многопараметрической защиты и автоматики с использованием информации от измерительных органов

Методы машинного обучения

Методы «сжатия данных»

Формирование

Метод *к*-ближайших соседей Метод логистической регрессии Метод опорных векторов

Распознавание трудноразличимых КЗ на ЛЭП в СЭС ПП с ОРГ

Обучаемые модули Дерево решений (ДР)

Распознавание витковых замыканий трансформатора в СЭС ПП с ОРГ

Искусственная

нейронная сеть

(NHC)

Формирование обобщенного признака

Метод главных компонент

Метод линейного дискриминанта Фишера

Увеличение распознаваемости сложных повреждений в СЭС ПП с ОРГ на 21,4% - 24% и чувствительности защиты элементов по сравнению с дистанционным ИО.

Улучшение чувствительности (более 5 раз) и распознаваемости внутренних повреждений трансформатора по сравнению с традиционной ДЗТ. Распознавание повреждений с замкнутой частью обмотки менее 0,1%, на ранних этапах развития авариной ситуации.

Защита дальнего резервирования по обобщенному признаку более эффективна в распознавании аварийных режимов (более чем в 2,5 раза), чем классические защиты, использующие один признак. Реализация ПО более простая.

Применение методов машинного обучения для распознавания аварийных режимов с использованием информации от измерительных органов

Имитационное моделирование - источник данных для многопараметрических алгоритмов распознавания аварийных режимов с применением машинного обучения

Используемые критерии оценки эффективности алгоритма распознавания:

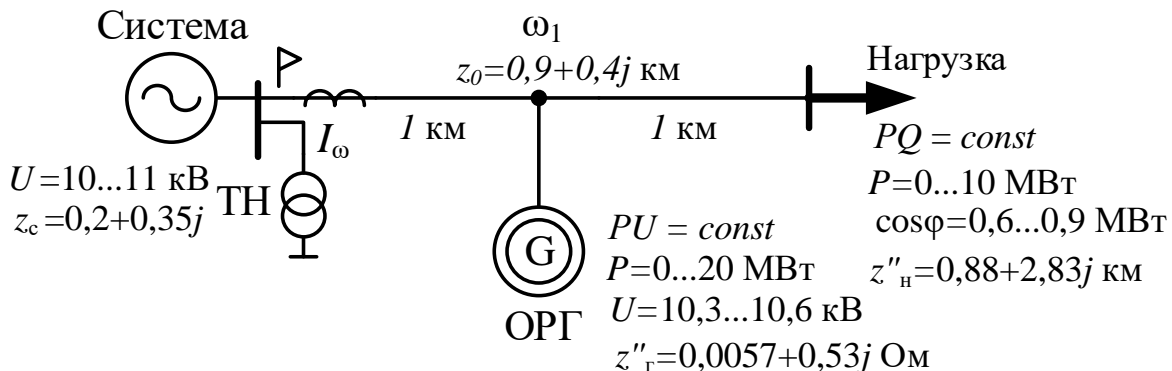


Рис. 1 – Анализируемый участок сети СПЭС с ОРГ

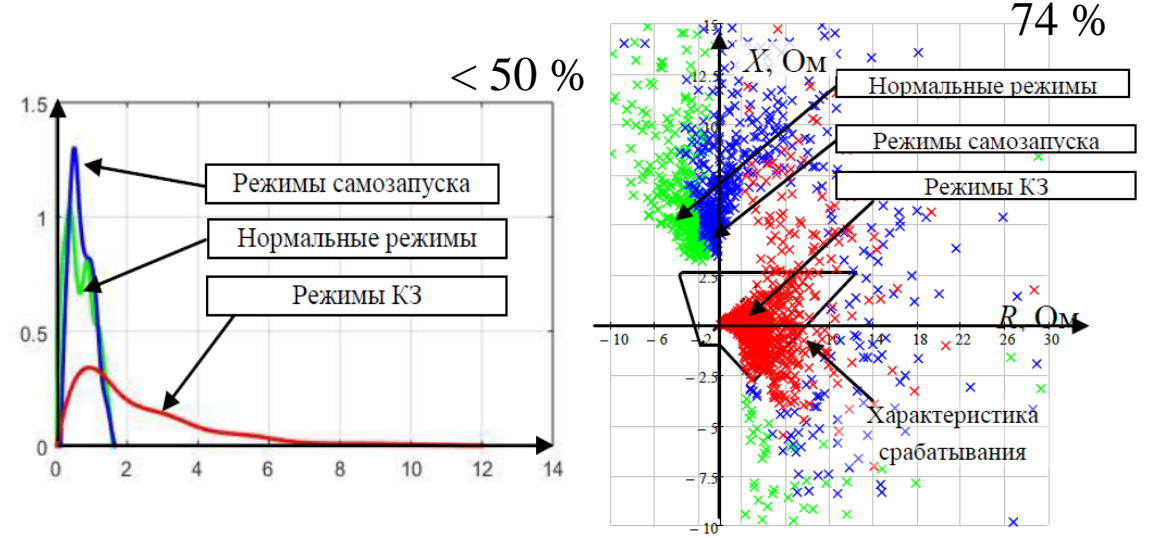


Рис. 2 – Распределения токов в анализируемых режимах

Рис. 3 – Расположение анализируемых режимов на комплексной плоскости

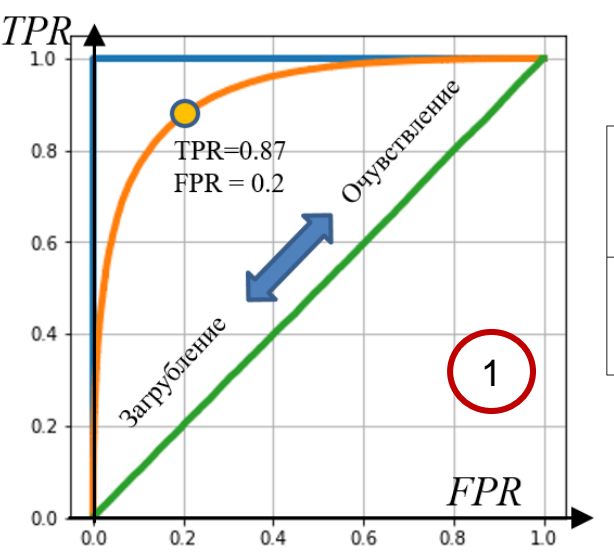


Рис. 4 – Примеры рабочих характеристик приемника для различных классификаторов (ROС-кривая)

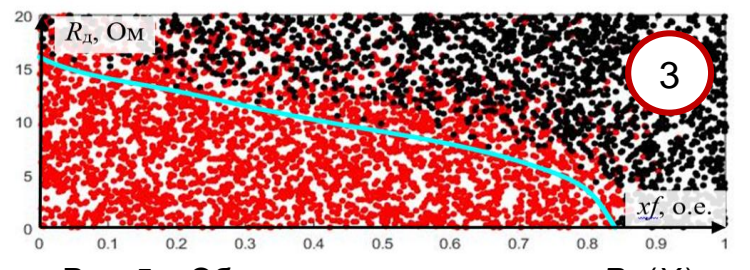
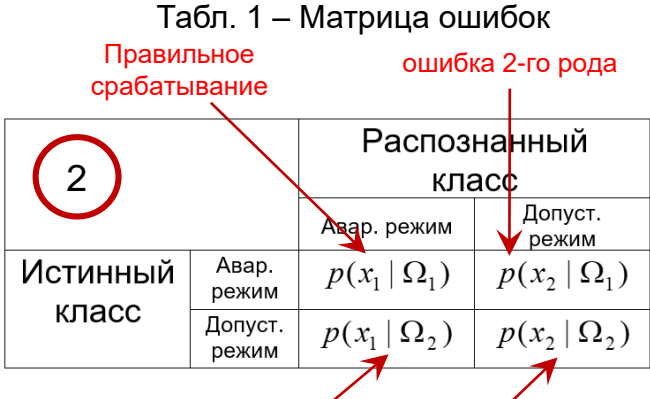


Рис. 5 – Объектная характеристика $R_{\rm A}$ ($X_{\rm f}$)



Процент отключенных КЗ:

ошибка 1-го рода

Вероятность правильного срабатывания:

$$p(x_2 \mid \Omega_2) = \frac{TN}{N};$$

Правильное несрабатывание

Процент ложных срабатываний:

$$TPR = p(x_1 | \Omega_1) = \frac{TP}{P}; \quad FPR = p(x_1 | \Omega_2) = \frac{FP}{N}$$

Вероятность ложного несрабатывания:

$$p(x_2 \mid \Omega_1) = \frac{FN}{P}$$

P и N- кол-во элементов, относящихся α-режимам и β-режимам;

TP и *FP* - кол-во срабатываний при α-режимах и β-режимах;

FN и TN - кол-во несрабатываний при α-режимах и β-режимах.

Применение метода *К*-ближайших соседей для решения задач распознавания аварийных режимов

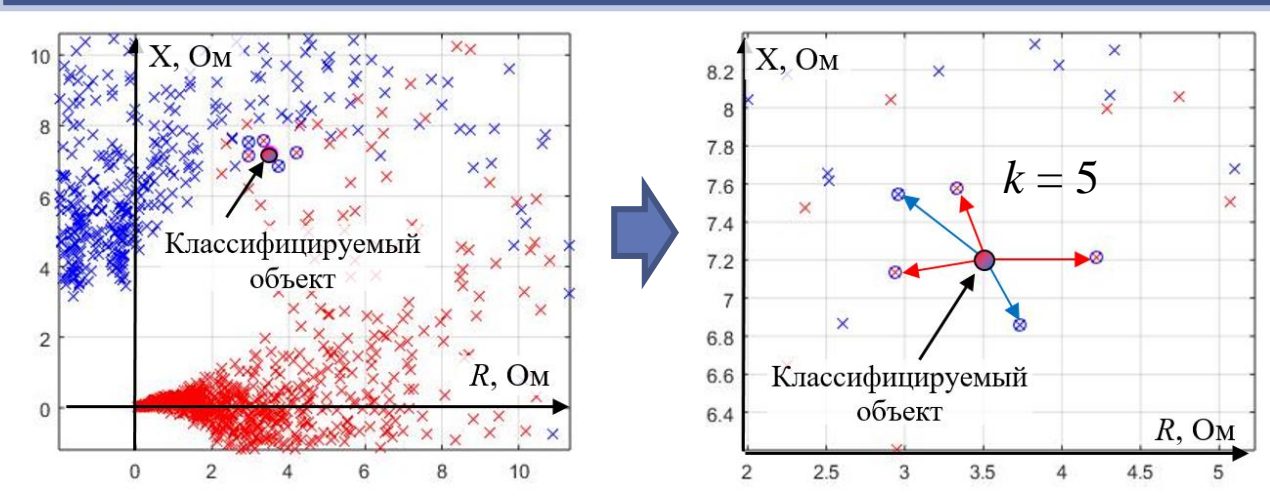


Рис. 1 – Классификация выборочного значения сопротивления в признаковом пространстве по методу *К*-ближайших соседей

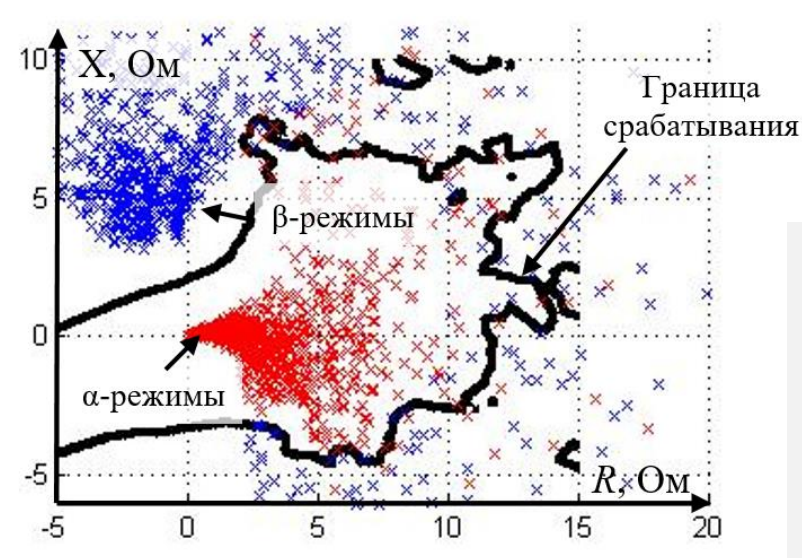


Рис. 2 – Область срабатывания защиты для метода *К*-ближайших соседей

α-режимы - короткие замыкания и прочие аварийные режимы, которые должны быть отключены релейной защитой

β-режимы - альтернативные режимы, т.е. те, от которых защита должна быть отстроена.

Решающее правило:

Объект относится к классу аварийных режимов (КЗ) только в том случае, если каждый из *К* его ближайших соседей также относится к данному режиму. В противном случае, объект относится к классу допустимых режимов.

Наиболее часто встречающиеся функции расстояния (метрики):

Евклидова метрика: $D(\mathbf{x}, \mathbf{y}) = \sqrt{\sum_{i=1}^{m} (x_i - y_i)^2}$

Расстояние Чебышева: $D(\mathbf{x}, \mathbf{y}) = \max_{i=1...m} |x_i - y_i|$

Манхэттенское расстояние: $D(\mathbf{x}, \mathbf{y}) = \sum_{i=1}^{m} |x_i - y_i|$

где $\mathbf{x}=[x_1, x_2...x_m]$, $\mathbf{y}=[y_1, y_2...y_m]$ — векторы в m-мерном пространстве, расстояние между которыми требуется определить; $D(\mathbf{x},\mathbf{y})$ — значение расстояния между векторами.

Таблица 1 - Матрица ошибок, соответствующая методу *К*-ближайших соседей

Класс		Распознан	ный класс
		α	β
Истинный	α	95,4 %	4,6%
класс	β	2,8%	97,2%

Применение методов линейной классификации для решения задач распознавания аварийных режимов

Метод логистической регрессии

$$\sum_{i=1}^{N} \left(\operatorname{sigm}(\mathbf{B}_{i} \times \mathbf{Z}) - \mathbf{Y}_{i} \right)^{2} \to \min_{\mathbf{Z}}$$

$$\operatorname{sigm}(a) = \frac{1}{1 + e^{-a}}$$

$$p(\mathbf{x} \in \alpha) = \operatorname{sigm}(\mathbf{x} \times \hat{\mathbf{Z}})$$

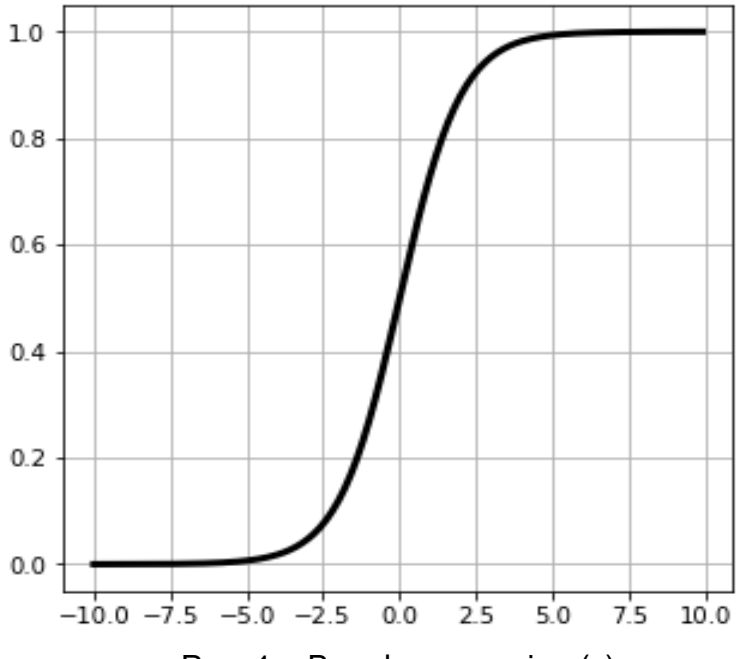


Рис. 1 – Вид функции sigm(x)

Метод опорных векторов

$$\min_{\mathbf{w}_{\mathsf{H}},b_{\mathsf{H}},\xi_{1}..\xi_{N}} \frac{1}{2} \mathbf{w}_{\mathsf{H}}^{\mathsf{T}} \cdot \mathbf{w}_{\mathsf{H}} + C \cdot \sum_{i=1}^{N} \xi_{i},$$

$$\forall i \in 1...N, \ y_{i} \cdot \left(\mathbf{w}^{\mathsf{T}} \cdot \mathbf{x}_{i} + b\right) \geq 1 - \xi_{i},$$

$$\forall i \in 1...N, \xi_{i} \geq 0,$$

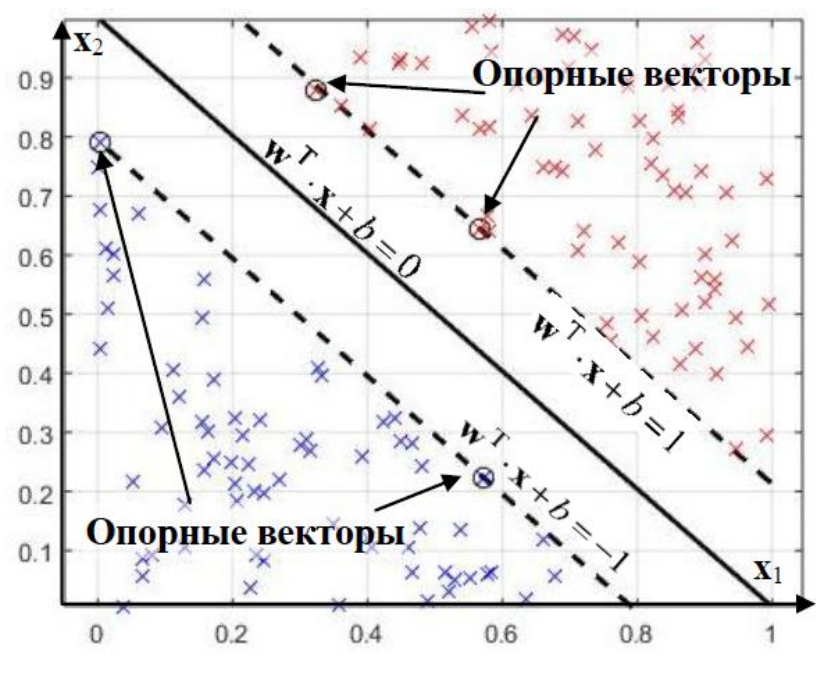


Рис. 2 – Принцип работы метода опорных векторов

Применение методов линейной классификации для решения задач распознавания аварийных режимов

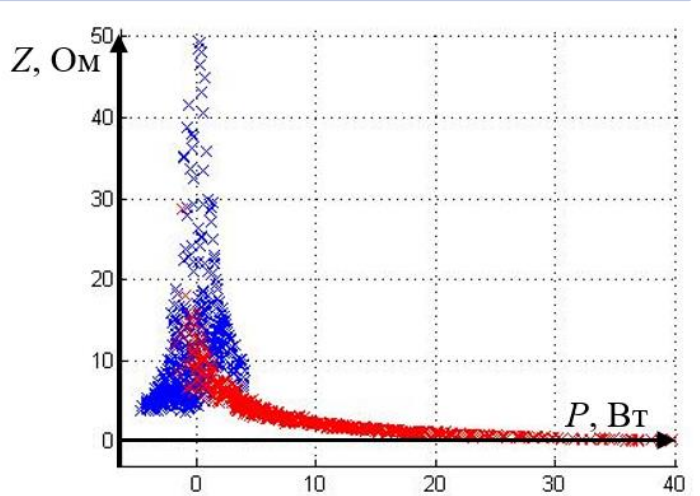


Рис. 1 – Расположение точек обучающей выборки в признаковом пространстве (P-Z)

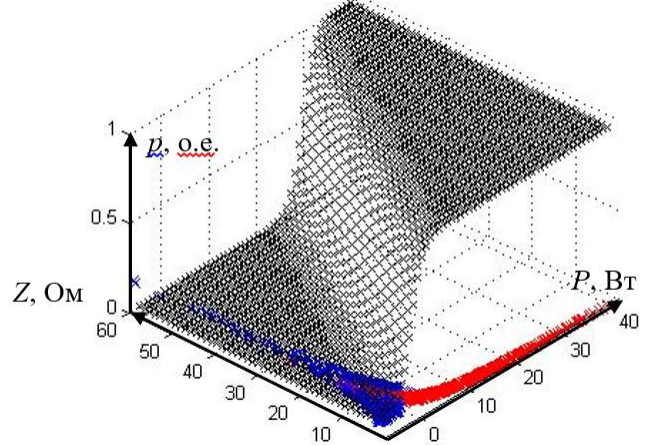
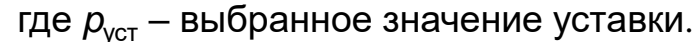


Рис. 2 – Поверхность, характеризующая вероятность принадлежности произвольного режима к классу α

Метод логистической регрессии $p = \text{sigm}(0,877 \cdot P - 0,415 \cdot Z + 1,362) > p_{\text{vcr}}$



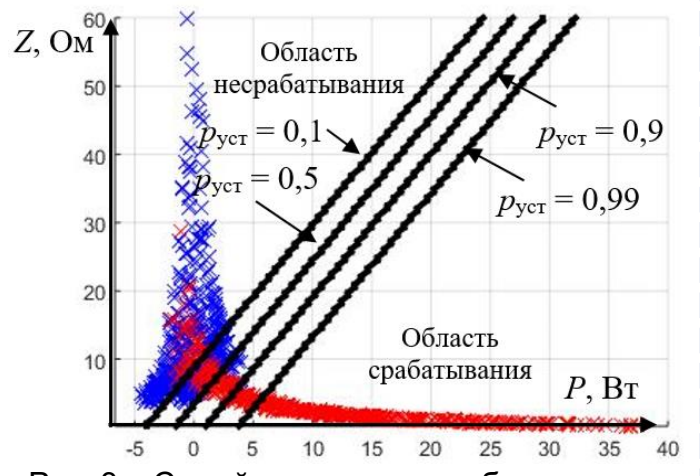


Рис. 3 – Семейство границ срабатывания, полученных при различных значениях уставки р

100**∳**TPR

Метод опорных векторов

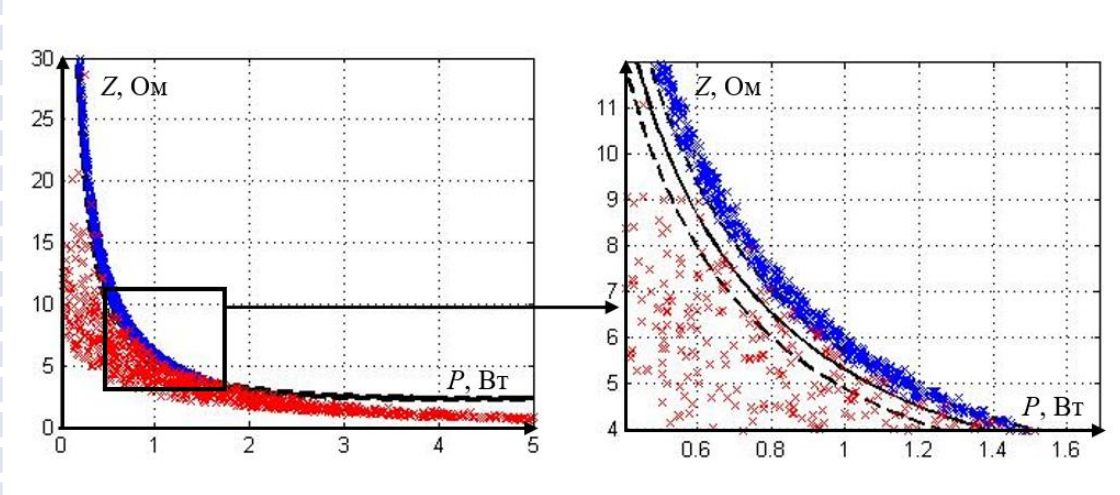


Рис. 4 – Расположение точек обучающей выборки в признаковом пространстве (Р-Z)

Сравнение методов

Таблица 1 – Матрица ошибок, характерная для логистической регрессии (I-Q-Z)

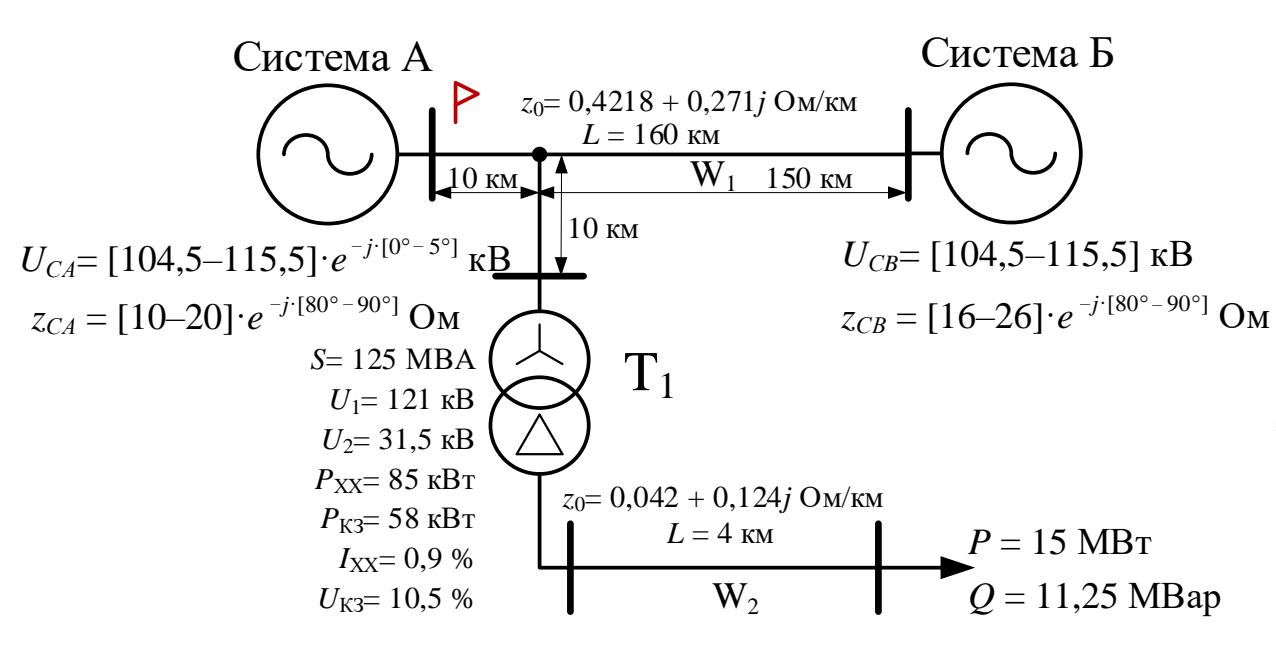
Клас	c	Распознанный класс		
16146		Авар. режим	Доп. режим	
Истинный	Авар. режим	98 %	2 %	
класс	Доп. режим	0 %	100 %	

Таблица 2 – Матрица ошибок, характерная для метода опорных векторов (X-R-P-Q)

Клас	C	Распознанный класс		
Kilace		Авар. режим	Доп. режим	
Истинный	Авар. режим	100 %	0 %	
класс	Доп. режим	0 %	100 %	

98			тической ј порных вен	•	
97					
96					FPR
95	20	40 0 DOC 144	60 арактерист	80	100

Применение метода дерева решений и ансамблей моделей машинного обучения для решения задач распознавания аварийных режимов в СЭС ПП



– место установки РЗА

Рис. 1 - Имитационное моделирование участка электрической сети

Короткие замыкания на линии W₁ и за трансформатором на линии W₂ становятся трудно различимыми, когда трансформатор обладает достаточно большой номинальной мощностью (малым сквозным сопротивлением), а ответвление расположено рядом с подстанцией, на которой установлена защита.

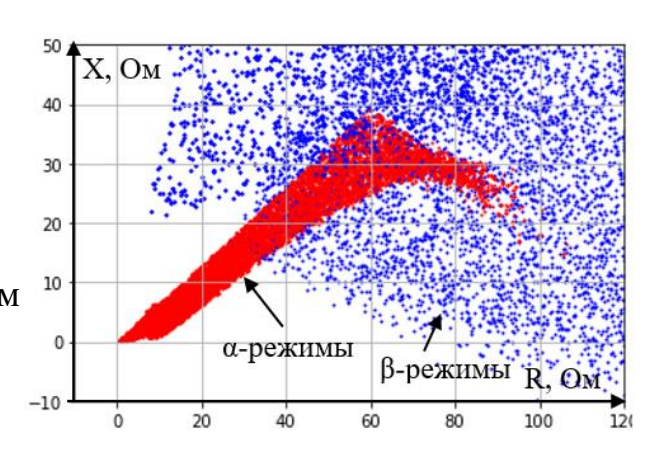


Рис. 2 - Замеры комплексного сопротивления

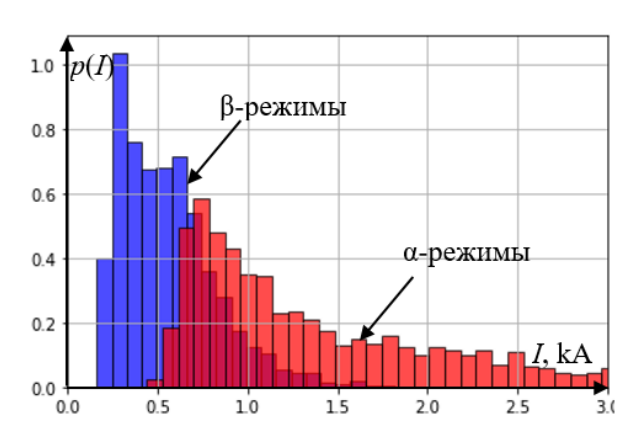


Рис. 3 - Гистограммы действующего значения токов

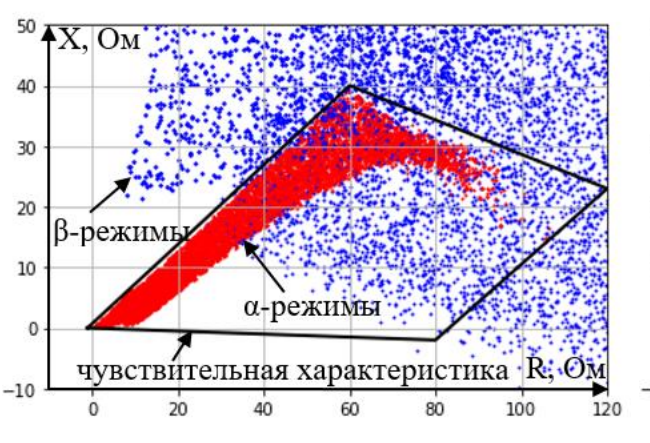


Рис. 4 - Чувствительная характеристика

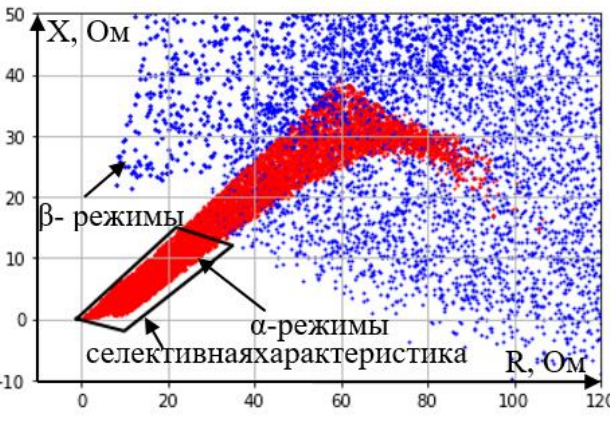


Рис. 5 - Селективная характеристика

решающего дерева

Алгоритм решающего дерева для распознавания режимов в СЭС ПП. Пример обучения

решающего дерева

Метод дерева решений

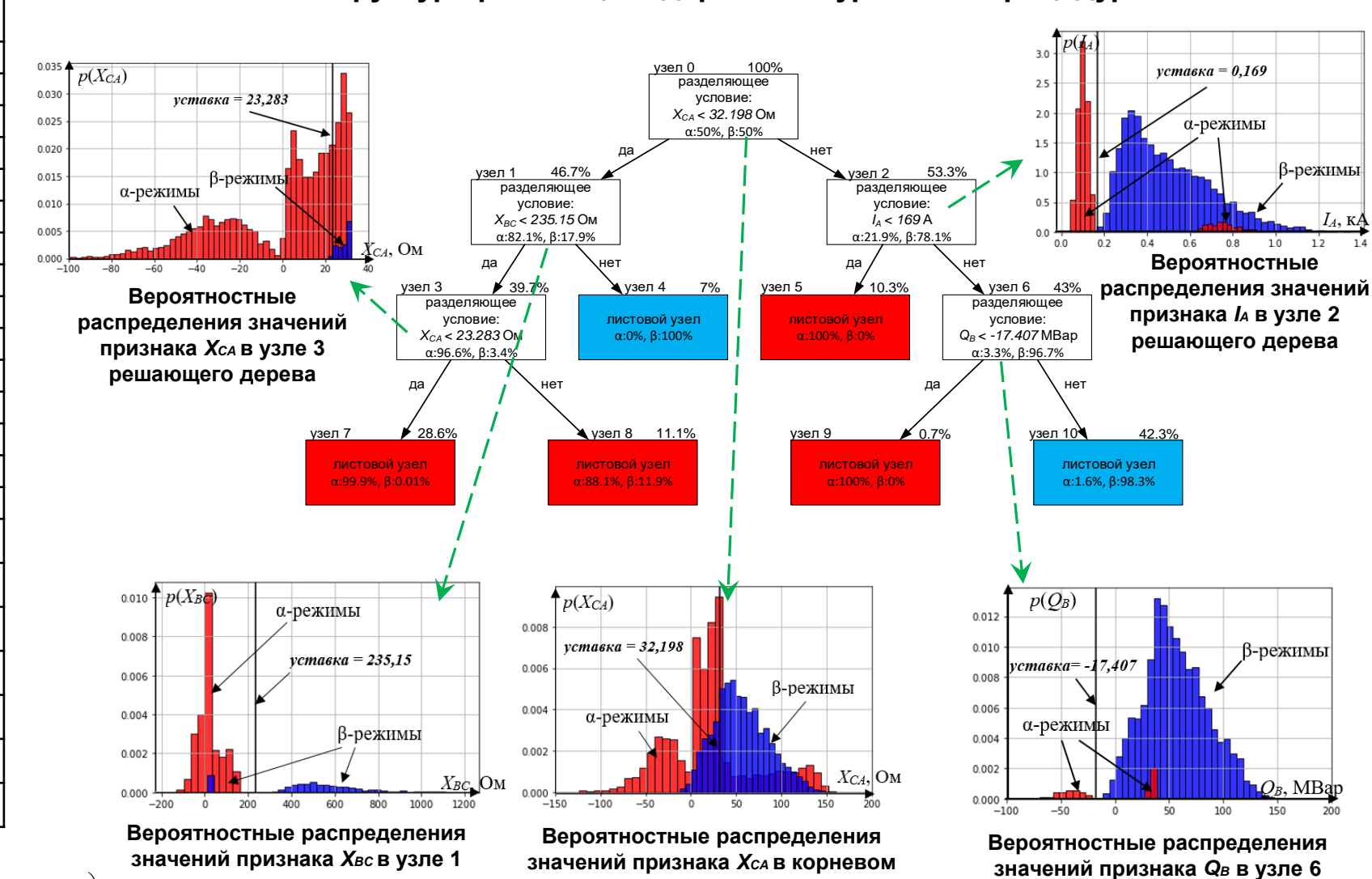
Информационные признаки

		-
Nº	Признак	Формула
1.	Активное сопротивление. Фазы АВ	$R_{AB} = Re[(\underline{U}_A - \underline{U}_B)/(\underline{I}_A - \underline{I}_B)]$
2.	Активное сопротивление. Фазы BC	$R_{BC} = Re[(\underline{U}_B - \underline{U}_C)/(\underline{I}_B - \underline{I}_C)]$
3.	Активное сопротивление. Фазы СА	$R_{CA} = Re[(\underline{U}_{C} - \underline{U}_{A})/(\underline{I}_{C} - \underline{I}_{A})]$
4.	Реактивное сопротивление. Фазы AB	$X_{AB} = Im[(\underline{U}_A - \underline{U}_B)/(\underline{I}_A - \underline{I}_B)]$
5.	Реактивное сопротивление. Фазы BC	$X_{BC} = Im[(\underline{U}_{B} - \underline{U}_{C})/(\underline{I}_{B} - \underline{I}_{C})]$
6.	Реактивное сопротивление. Фазы СА	$X_{CA} = Im[(\underline{U}_C - \underline{U}_A)/(\underline{I}_C - \underline{I}_A)]$
7.	Активная мощность. Фаза А	$P_A = Re(\underline{U}_A \cdot \underline{I}_A^*)$
8.	Активная мощность. Фаза В	$P_B = Re(\underline{U}_B \cdot \underline{I}_B^*)$
9.	Активная мощность. Фаза С	$P_C = Re(\underline{U}_C \cdot \underline{I}_C^*)$
10.	Реактивная мощность. Фаза А	$Q_{A} = Im(\underline{U}_{A} \cdot \underline{I}_{A}^{*})$
11.	Реактивная мощность. Фаза В	$Q_B = Im(\underline{U}_B \cdot \underline{I}_B^*)$
12.	Реактивная мощность. Фаза С	$Q_C = Im(\underline{U}_C \cdot \underline{I}_C^*)$
13.	Действующее значение тока. Фаза А	$I_{AA} = (1/\sqrt{2}) \cdot I_{A}I$
14.	Действующее значение тока. Фаза В	$I_{\text{dB}} = (1/\sqrt{2}) \cdot I_{\underline{I}_{B}} I$
15.	Действующее значение тока. Фаза С	$I_{\text{gC}} = (1/\sqrt{2}) \cdot \underline{I}_{\text{C}} $
16.	Действующее значение напряжения. Фаза А	$U_{\mathtt{A}A} = (1/\sqrt{2}) \cdot \underline{U}_{A} $
17.	Действующее значение напряжения. Фаза В	$U_{AB} = (1/\sqrt{2}) \cdot \underline{U}_{B} $
18.	Действующее значение напряжения. Фаза С	$U_{\mathtt{AC}} = (1/\sqrt{2}) \cdot \underline{U}_{\mathtt{C}} $
19.	Действующее значение тока прямой последовательности	$I_{A1} = (1/3) \cdot \underline{I}_{A} + \underline{I}_{B} \cdot e^{j120^{\circ}} + \underline{I}_{C} \cdot e^{j240^{\circ}} $
20.	Действующее значение тока обратной последовательности	$I_{A2} = (1/3) \cdot \underline{I}_{A} + \underline{I}_{B} \cdot e^{j240^{\circ}} + \underline{I}_{C} \cdot e^{j120^{\circ}} $
21.	Действующее значение напряжения прямой последовательности	$U_{A1} = (1/3) \cdot \underline{U}_A + \underline{U}_B \cdot e^{j120^\circ} + \underline{U}_C \cdot e^{j240^\circ} $
22.	Действующее значение напряжения обратной последовательности	$U_{\text{d2}} = (1/3) \cdot \underline{U}_{\text{A}} + \underline{U}_{\text{B}} \cdot e^{j240^{\circ}} + \\ + \underline{U}_{\text{C}} \cdot e^{j120^{\circ}} $

Критерии неоднородности:

$$H(X \mid Y) = -\sum_{i=1}^{m} p(y_i) \sum_{j=1}^{n} p(x_j \mid y_i) \log_2 p(x_j \mid y_i) \quad Gini(X \mid Y) = \sum_{i=0}^{1} p(y_i) \cdot \left(1 - \sum_{j=1}^{n} p(x_j \mid y_i) \log_2 p(x_j \mid y_i)\right)$$

Структура решающего дерева. Рекурсивная процедура



узле решающего дерева

Анализ эффективности функционирования алгоритма решающего дерева

Метод дерева решений

Таблица 1 - Матрица ошибок решающего дерева

V опоитопиот		Предсказанный класс		
Характеристики классов		0	1	
Истинный	0	97,995	2,005	
класс	1	1,292	98,708	

Вероятность правильного распознавания КЗ:

Вероятность ложного распознавания КЗ:

$$D = n_{\text{п.с.}} / (n_{\text{п.с.}} + n_{\text{o.c.}})$$

$$F = n_{\text{n.c.}} / (n_{\text{n.c.}} + n_{\text{H.c.}})$$

где $n_{\text{п.с.}}$ $n_{\text{л.с}}$ – число правильных и ложных срабатываний; $n_{\text{о.с}}$ - число отказов срабатывания;

 $n_{\text{н.с.}}$ – число правильных не срабатываний, в общем числе имитационных экспериментов

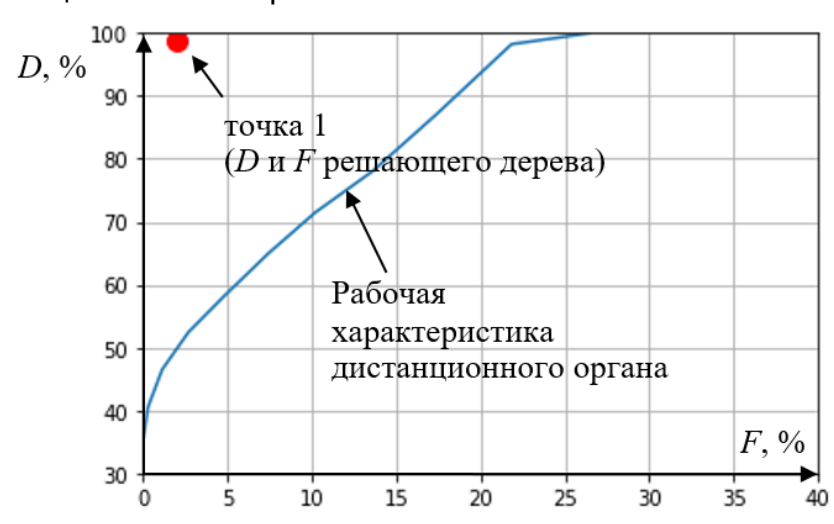


Рис. 1 - Соотношение характеристик эффективности функционирования алгоритма решающего дерева и дистанционного органа РЗА

Алгоритм решающего дерева в устройстве РЗА обеспечивает обнаружение 98,7% КЗ на ЛЭП W1, при этом вероятность ложного срабатывания устройства РЗА при КЗ за трансформатором составляет около 2% - более чем на 24% эффективнее «Дистанционного ИО»

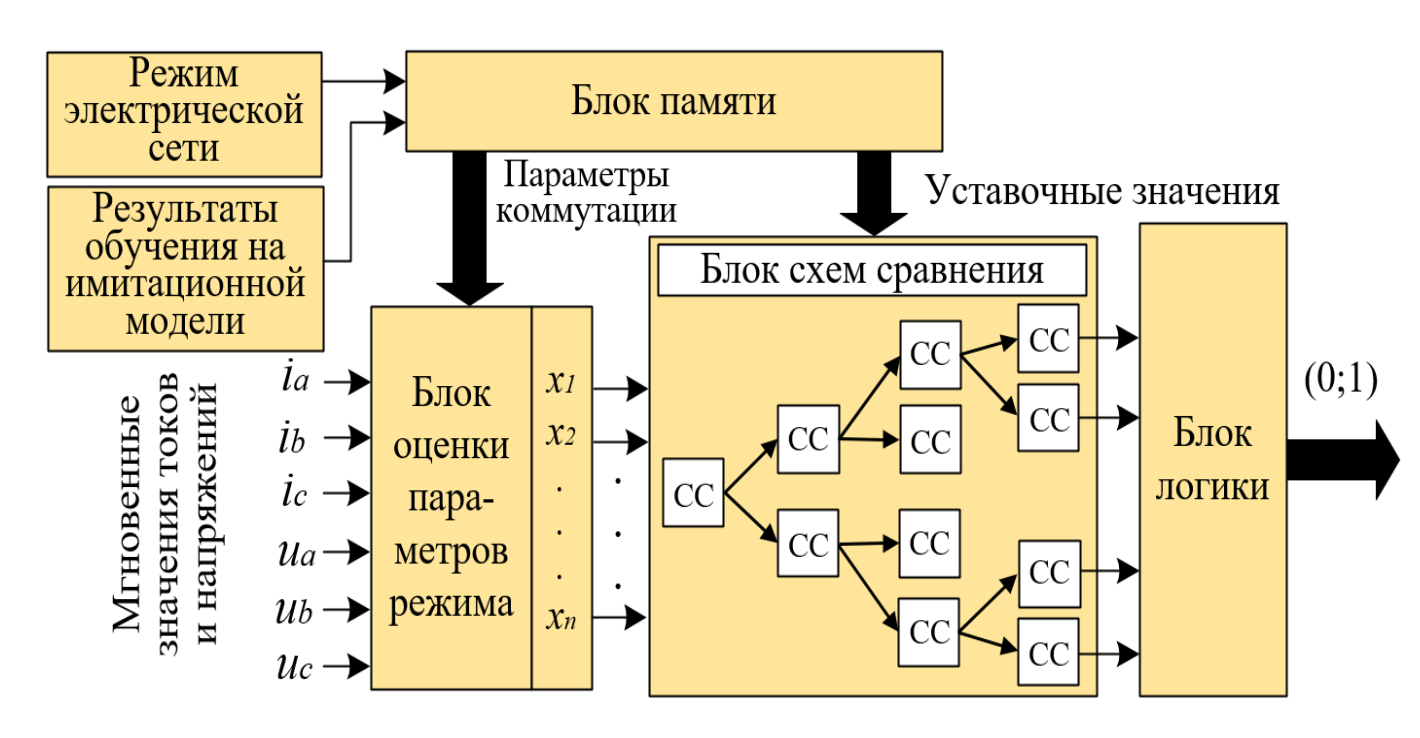
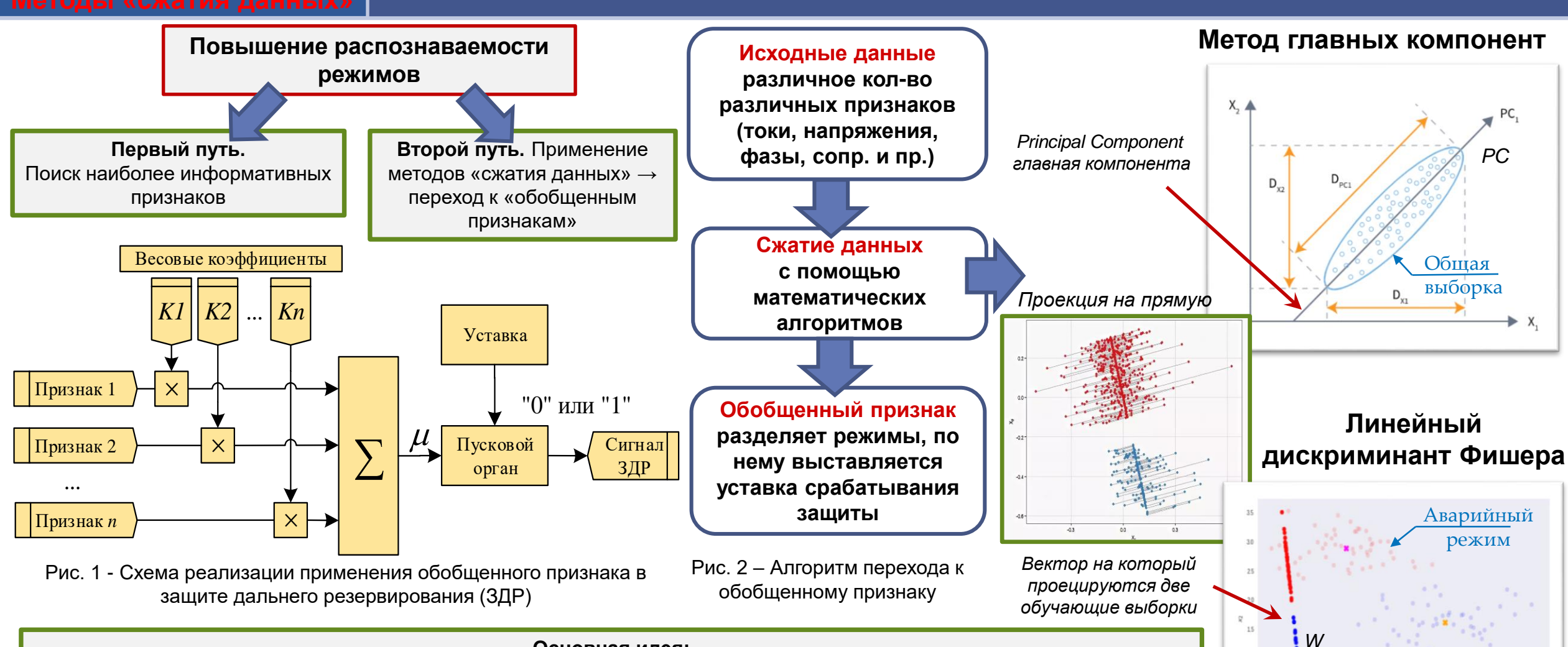


Рис. 2 - Структурная схема устройства РЗА, реализующего алгоритм решающего дерева

Нормальный

режим





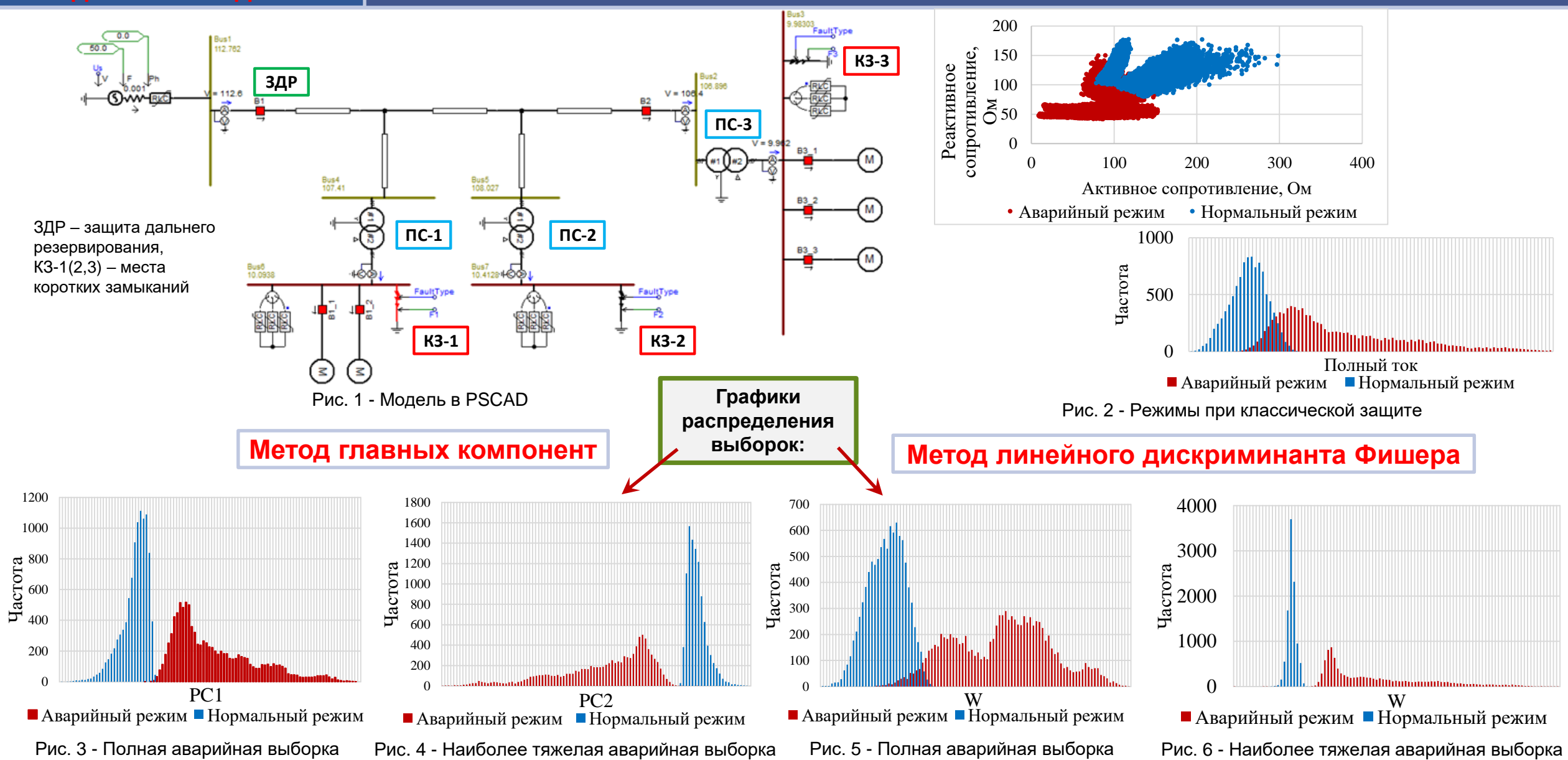
Основная идея:

Выделение из множества признаков срабатывания Хі наиболее информативного параметра (обобщенного признака) за счет применения методов сжатия данных.

Методы позволяют осуществить переход от n-мерного пространства признаков (Xi) к одномерному пространству, к линейной комбинации величин, наилучшим образом описывающей данные

Моделирование режимов работы в PSCAD для защиты дальнего резервирования (ЗДР) СЭС ПП

Методы «сжатия данных»



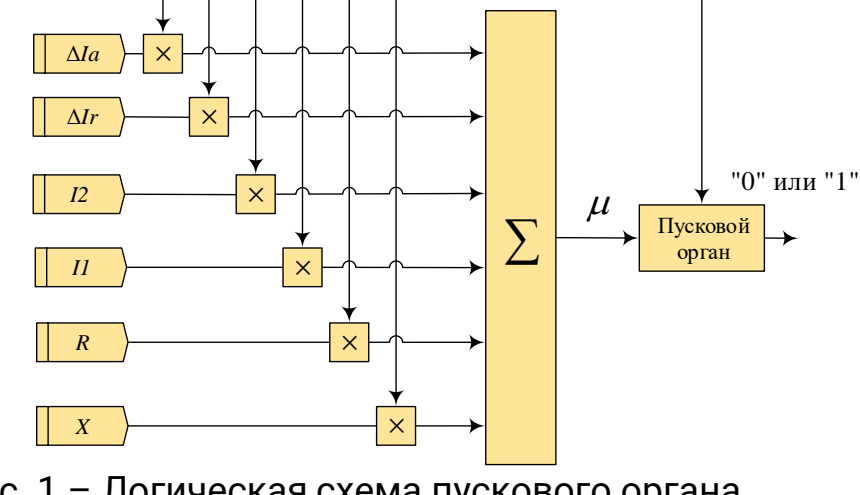
Уставка 2-го типа

Методы «сжатия данных»

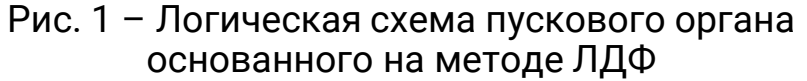
Обобщенный признак эффективнее признаков классических токовых защит в 5-6 раз,

при этом пуск выполняется по уставке аналогичной традиционной токовой защите





Уставки 1-го типа



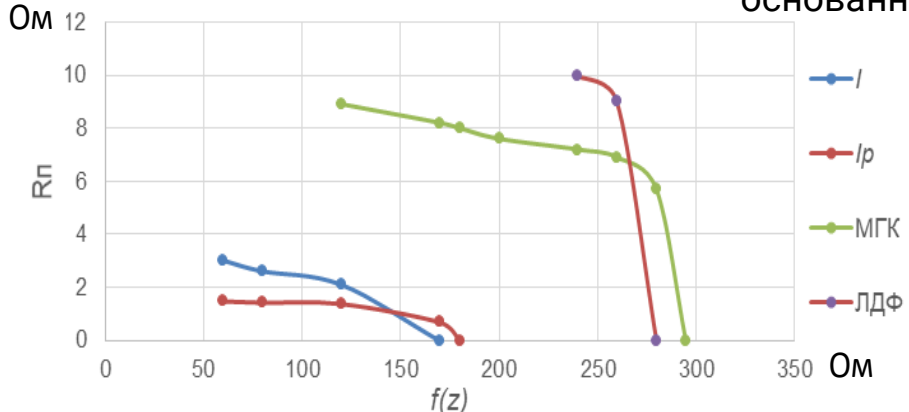


Рис. 3 – Сравнение объектных характеристик работы РЗА для одномерных признаков и обобщенных признаков (по МГК и ЛДФ)

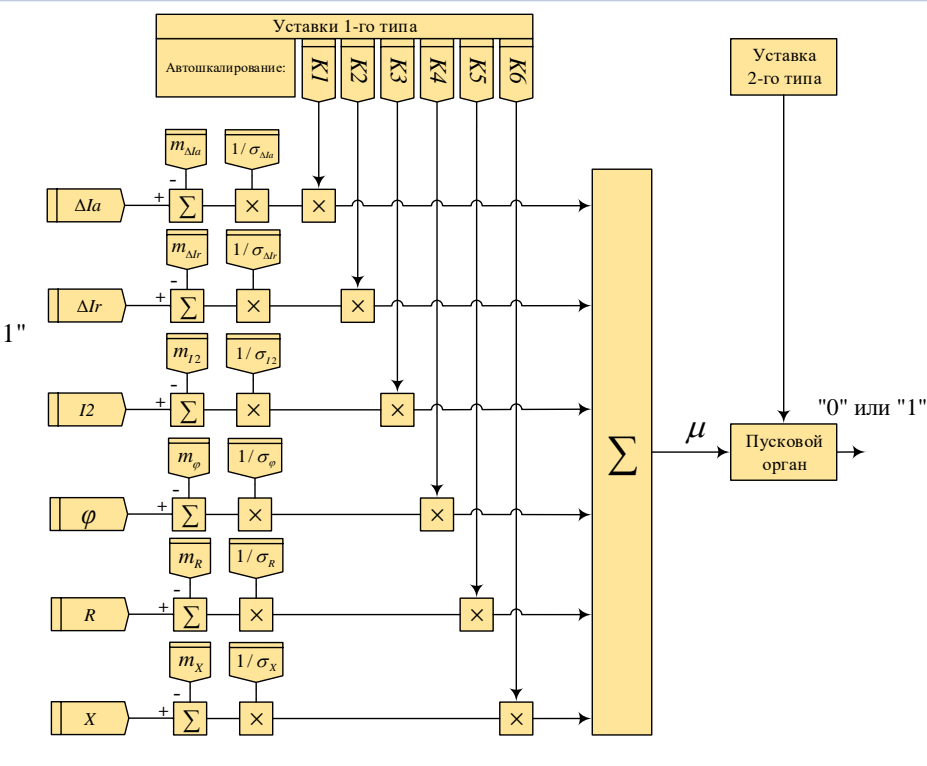


Рис. 2 – Логическая схема пускового органа основанного на методе МГК

 ΔIa — приращение активного тока, ΔIp — приращение реактивного тока, I2 — ток обратной последовательности,

 ϕ – значение фазы, I1 – ток прямой последовательности,

R – активное сопротивление, X – реактивное сопротивление,

K1-K6 – весовые коэффициенты для каждого исходного признака, *и* – обобщенный признак.

Использование ИНС при распознавании витковых замыканий в трансформаторе

Методы ИНС

Вероятность правильного срабатывания релейной защиты силовых трансформаторов составляет около 70 %

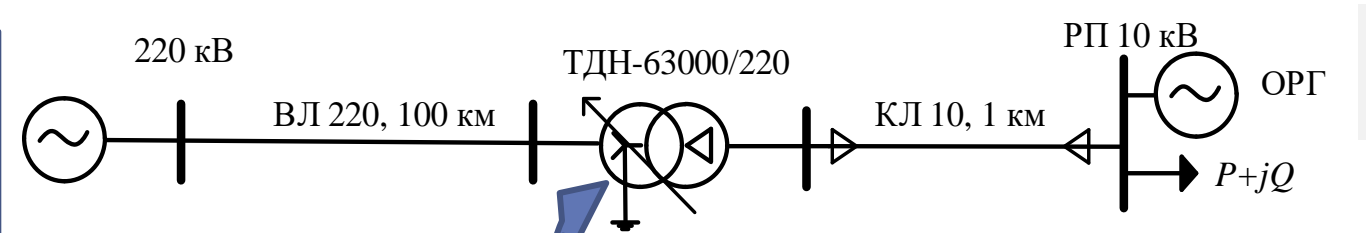


Рис.1 - Схема исследує мого участка электрической сети СЭС

ПП

Режимы для исследования



Нормальные режимы работы силового трансформатора

Витковые замыкания в обмотках силового трансформатора

Табл. 1 - Модельные диапазоны изменения параметров сети

	Параметр	Обозн.	Диапазон изменения	
Напряжение си	Напряжение системы <i>E</i> s [0,951,05] о			
	ивления прямой ности системы	Zs	[1042] Ом	
Угол сопротивл		deltaZs	[8090] град.	
Величина	Активная мощность	P	[1040] кВт	
нагрузки	tgφ	tg <i>P</i> Q	[0,20,4] o.e.	
Для межвитковых	Изменение числа замкнувшихся витков обмотки	L	[0,021] %	
замыканий:	Напряжение замыкания	-	BH, HH	
	Фаза замыкания	-	A, B, C	



Рис.2 - Последствия витковых замыканий:

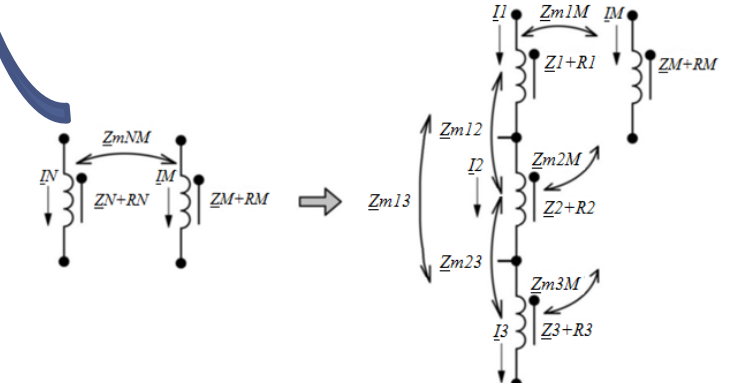
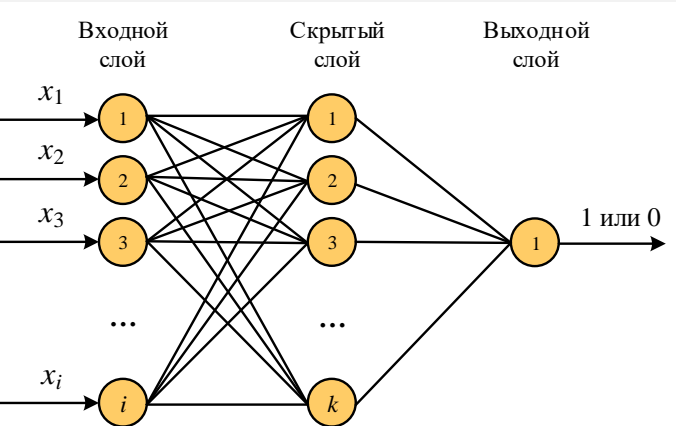
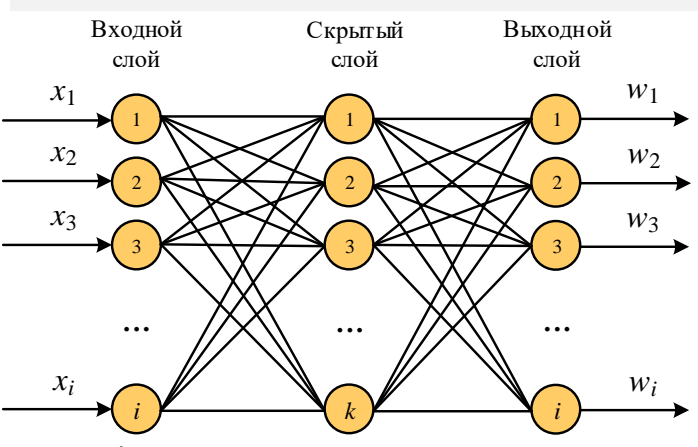


Рис.3 - Схема замещения расщепленной обмотки при возникновении внутреннего повреждения

ПЕРВЫЙ ВАРИАНТ- для принятия решения о возникновении виткового замыкания (как пусковой орган РЗ)



ВТОРОЙ ВАРИАНТ- для расчета коэффициентов многопараметрической защиты



 x_{i} – информативный признак

w_і - весовой коэффициент признака

Обучение нейронной сети. Вариант 1. Нейронная сеть в качестве пускового органа защиты

обмотки, %

Замкнутая чать

Методы ИНС



Рис. 1 - Алгоритм метода обратного распространения ошибки

Таблица 1 - Входные данные обучающей выборки

Режим	В3	HP	HP	HP	HP	В3	HP	
Номер	1	2	3	4	5	6	7	
la1	0,683	0,662	0,642	0,704	0,618	0,564	0,61	
lb1	0,711	0,662	0,642	0,704	0,618	0,768	0,61	
lc1	0,536	0,662	0,642	0,704	0,618	0,755	0,61	
la2	0,644	0,713	0,691	0,757	0,666	0,71	0,657	

Таблица 2 - Выходные данные обучающей выборки

Режим	В3	HP	HP	HP	HP	В3	HP	
Номер	1	2	3	4	5	6	7	
Значение	1	0	0	0	0	1	0	

ВЗ – витковое замыкание, НР – нормальный режим

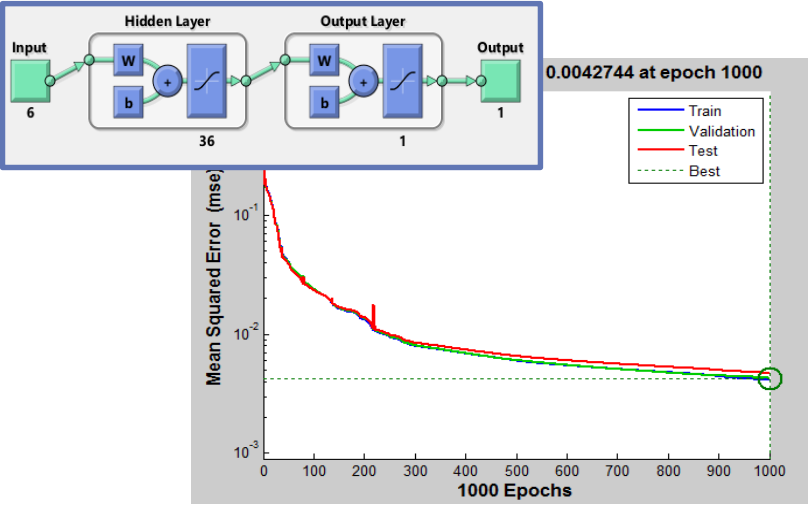


Рис. 2 - Изменение среднеквадратичной ошибки в процессе обучения ИНС

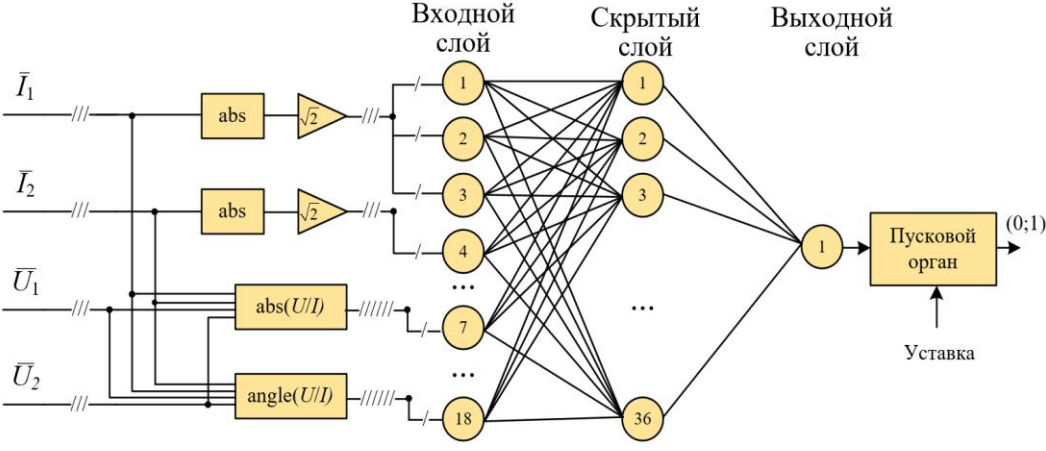
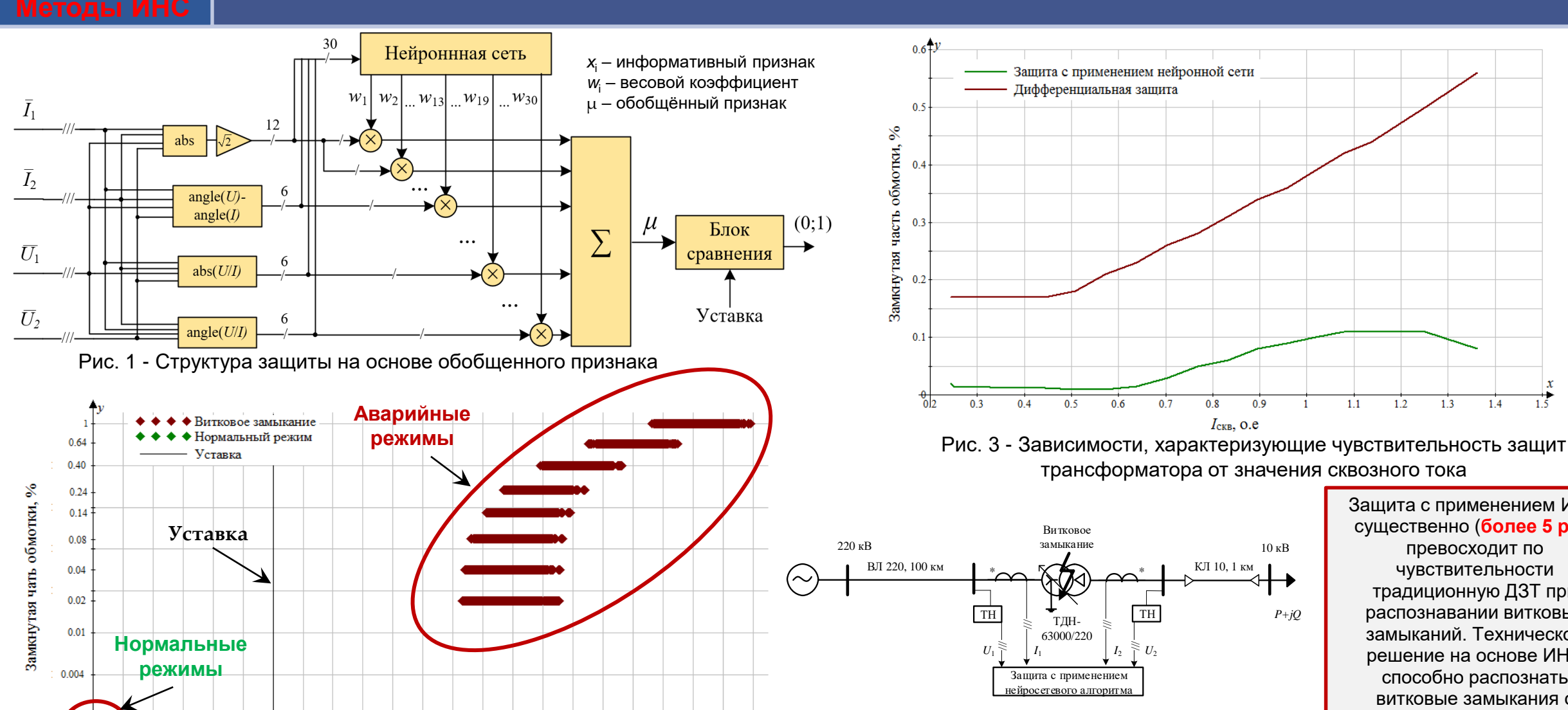


Рис. 3 - Структура алгоритма защиты



Рис. 4 - Результат тестирования ИНС

Обучение нейронной сети. Вариант 2. Нейронная сеть для расчета весовых коэффициентов многопараметрической защиты



Значение обобщенного признака Рис. 2 - Результат тестирования ИНС Рис. 4 - Схема защиты с использованием нейросетевого алгоритма

Защита с применением ИНС существенно (более 5 раз) превосходит по чувствительности традиционную ДЗТ при распознавании витковых замыканий. Техническое решение на основе ИНС способно распознать витковые замыкания с процентом замкнутой части обмотки менее 0,1% (1-3 витка), на ранних этапах развития авариной ситуации.

Методы оценки режимов и принятия решений на основе применения последовательной процедуры Вальда для задач автоматики в СЭС ПП с ОРГ

Ограничение применения традиционных методов измерения (оценки) параметров режима и цифровой обработки сигналов в устройствах управления режимами (включая устройства АЧР), релейной защиты и противоаварийной автоматики (РЗ и ПА), телемеханики, синхронизированных векторных измерений и др.

Потенциальная точность оценивания частоты гармонического сигнала:

$$(1/\sigma_f^2) = q^2 \cdot \tau^2$$

где $\sigma_{\!f}^2$ — дисперсия оценки частоты; q — отношение сигнал/шум (сигнал/помеха); τ — эффективная длительность гармонического сигнала.

При реализации АЧР необходимо обеспечить точную оценку частоты в энергорайоне в коротких интервалах времени (быстро) при значительных отклонениях ПКЭ от нормируемых значений

Требуется разработка и внедрение **адаптивных средств автоматики управления режимами**.

Использование процедуры последовательного анализа Вальда.

Статистическая задача при распознавании режимов

Алгоритм АЧР Алгоритм АЧР с процедурой усечения Модификация алгоритма АЧР без процедуры усечения Модификация алгоритма АЧР с адаптивными уставками Апробирование алгоритмов на имитационной PSCAD-модели

- Обеспечения гарантированного высокого быстродействия устройств автоматики управления режимами;
- **Правильное принятие решений** в условиях неоднозначных измерений частоты и **наличия искажающих факторов** (плохие ПКЭ, сложные переходные процессы).

Последовательная процедура Вальда. Алгоритм последовательного анализа на примере АЧР

Возможны следующие шесть ситуаций совмещения случайных событий «решения»

 $\hat{H} = \{H_0, H_1, H_1\}$ и «условия» $H = \{H_0, H_1\}$ для текущего измерения x_i :

- 1. \widehat{H}_1H_1 правильное распознавание аварийного режима;
- 2. $\hat{H}_0 H_1$ пропуск аварийного режима;
- 3. $\hat{H}_{\perp}H_{\perp}$ принятие решения «не знаю» в условиях аварийного режима;
- 4. $\widehat{H}_{\square}H_{\cap}$ принятие решения «не знаю» в условиях нормального режима;
- 5. $\hat{H}_{1}H_{0}$ ложное принятие решения об аварийном режиме;
- 6. $\hat{H}_0 H_0$ правильное распознавание нормального режима.

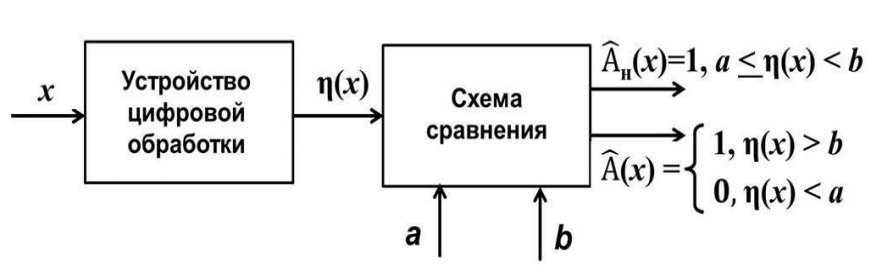
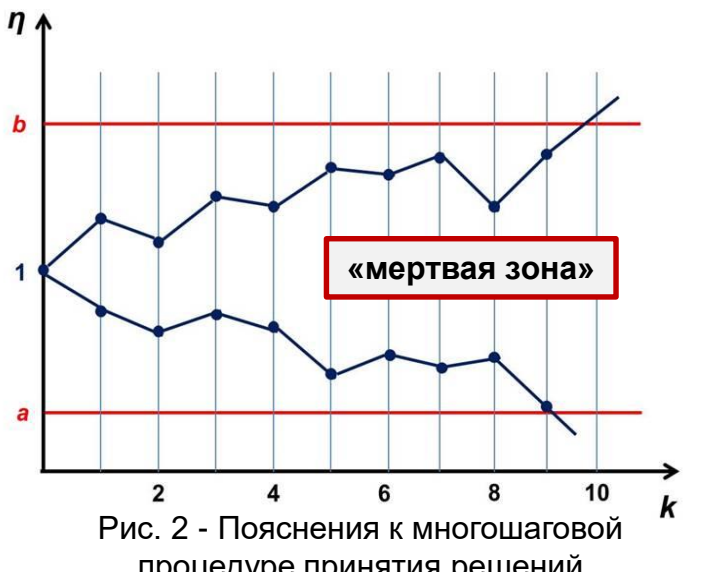


Рис. 1 - Структурная схема устройства распознавания режимов



процедуре принятия решений

Предварительное имитационное моделирование

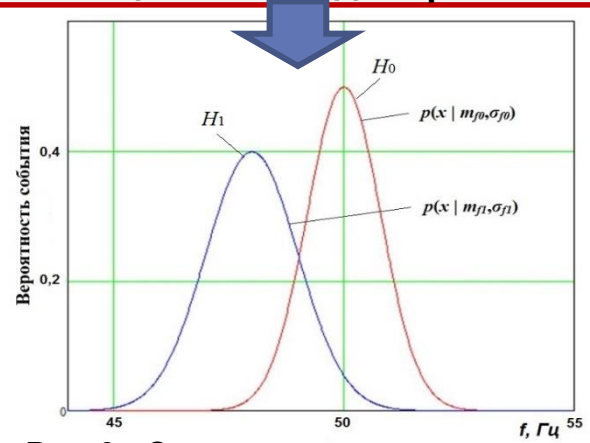


Рис. 3 - Статистические распределения частоты для норм. и авар. режимов

Для каждого измеренного значения частоты принимается одна из трёх гипотез:

- 1. H_0 частота соответствует нормальному режиму;
- 2. H_1 частота соответствует аварийному режиму;
- 3. Н_н не удается однозначно определить принадлежность частоты к аварийному или нормальному режиму.

При получении первого значения частоты вычисляется отношение правдоподобия:

$$\eta(x_1) = p(x_1 | m_{f1}, \sigma_{f1}) / p(x_1 | m_{f0}, \sigma_{f0}) =
= exp[-(x_1 - m_{f1})^2 / 2\sigma_{f1}^2] / exp[-(x_1 - m_{f0})^2 / 2\sigma_{f0}^2] =
exp{1/2 [-(x_1 - m_{f1})^2 / \sigma_{f1}^2 + (x_1 - m_{f0})^2 / \sigma_{f0}^2]}.$$

При к измерениях частоты отношение правдоподобия принимает вид:

$$\prod_{i=1}^{K} \eta(x_i) = [p(x_1 \mid m_{f1}, \sigma_{f1})...p(x_K \mid m_{f1}, \sigma_{f1}) / p(x_1 \mid m_{f0}, \sigma_{f0})...p(x_K \mid m_{f0}, \sigma_{f0}) =$$

$$= \prod_{i=1}^{K} exp\{1/2 [-(x_i - m_{f1})^2 / \sigma_{f1}^2 + (x_i - m_{f0})^2 / \sigma_{f0}^2]\}.$$

Распознавание режима осуществляется по отношению правдоподобия с принятием следующих гипотез:

$$H_1$$
, если $\prod_{i=1}^k \eta(x_i) > b$; H_0 , если $\prod_{i=1}^k \eta(x_i) \leq a$;

Уставочные значения:

$$a = \alpha / (1 - \beta); b = (1 - \alpha) / \beta,$$

α - ошибка первого рода;

 β - ошибка второго рода.

$$H_{H}$$
, если $a \leq \prod_{i=1}^{k} \eta(x_i) < b$.

Модифицированный алгоритм последовательного анализа на примере АЧР

Предлагается адаптивный выбор параметров срабатывания АЧР, предполагающий изменение постоянных уставок a, b в зависимость a(k), b(k) по мере возрастания времени.

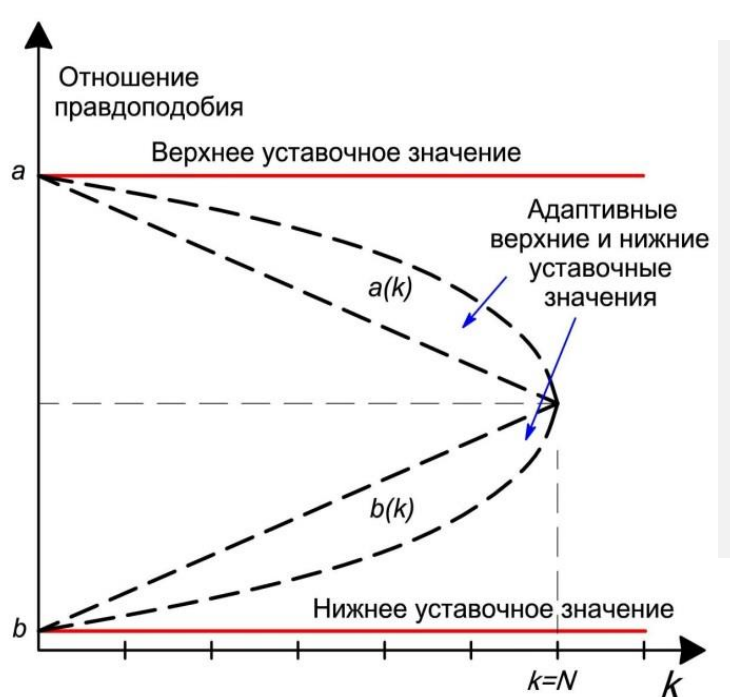


Рис. 1 – Представление изменяемых уставок модифицированной процедуры Вальда

Распознавание реализуется дискретно до тех пор, пока отношение правдоподобия находится между a(k) и b(k):

$$b(k) \le \prod_{i=1}^{k} \eta(x_i) < a(k) \ k=1,2,...$$

Предположим, что на вход устройства АЧР поступает выборка частоты, содержащая следующие значения:

$$X_1 = 49,1 \Gamma$$
ц;

$$x_2$$
= 49 Гц;

$$x_3$$
= 48,8 Гц;

$$x_5$$
= 48,9 Гц;

$$x_6$$
= 48,8 Гц.

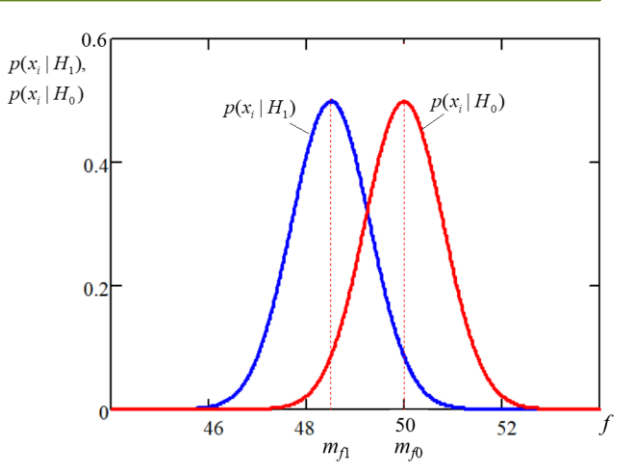


Рис. 1 - Плотности вероятностей распределения ошибок измерения частоты в нормальном и аварийном режимах

Табл. 1 - Расчет отношений правдоподобия для измеренных значений частоты

Номер шага	Измеренное значение частоты (Гц)	Отношение правдопо- добия для измеренно- го значения частоты	Отношение правдоподобия на текущем шаге последовательного анализа
1	49,1	η(49,1) = 1,568	$\prod_{i=1}^{1} \eta(x_1) = 1,568$
2	49	η(49) = 2,117	$\prod_{i=1}^{2} \eta(x_2) = 1,568 \cdot 2,117 = 3,32$
3	48,8	η(48,8) = 3,857	$\prod_{i=1}^{3} \eta(x_3) = 3,32 \cdot 3,857 = 12,807$
4	49	η(49) = 2,117	$\prod_{i=1}^{4} \eta(x_4) = 12,807 \cdot 2,117 = 27,113$
5	48,9	η(48,9) = 2,858	$\prod_{i=1}^{5} \eta(x_5) = 27,113 \cdot 2,858 = 77,478$
6	48,8	η(48,8) = 3,857	$\prod_{i=1}^{6} \eta(x_6) = 77,478 \cdot 3,857 = 298,867$

Пример реализации:

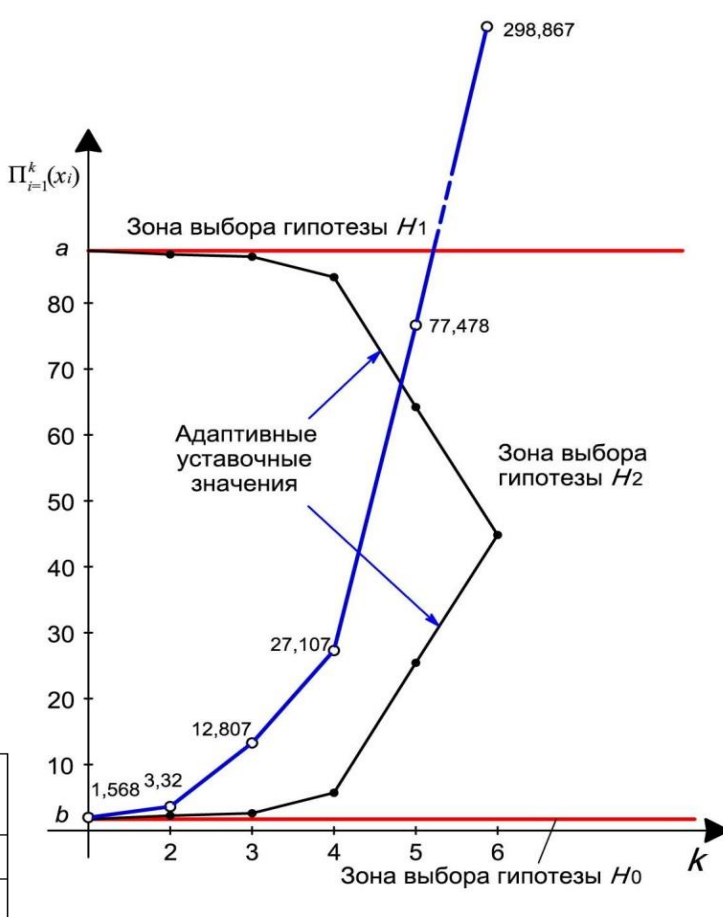


Рис. 2 - Процесс реализации последовательного анализа в устройстве АЧР с изменяемыми уставочными значениями

Вариант структурной схемы блока последовательного анализа для реализации одной ступени устройства АЧР. Апробирование на PSCAD-модели

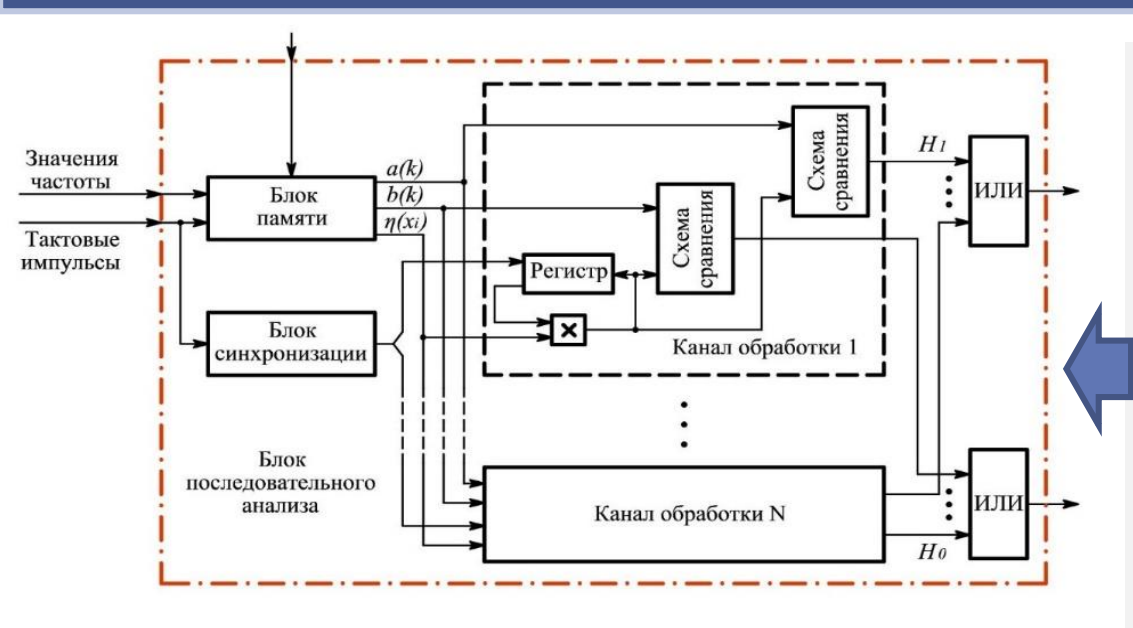


Рис. 1 – Структурная схема одной ступени АЧР



Рис. 2 – Изменение скорости СГ и частоты при работе алгоритма по Вальду

Устройство распознавания режимов имеет многоканальную структуру, соответствующую очередям АЧР нормальному В режиму. каждом из каналов реализуется независимая процедура принятия решения по методу Вальда. Таким образом, при поступлении каждого отсчёта напряжения на вход многоканальной схемы устройства запускается несколько параллельных причём каждый вычислений, новый отсчёт уточняет предыдущее значение.

Техническая реализация алгоритма последовательного анализа модификаций Вальда его И требует достаточно проста, не существенных программноаппаратных затрат и перспективна к внедрению как в существующие, так и в перспективные устройства противоаварийного управления.

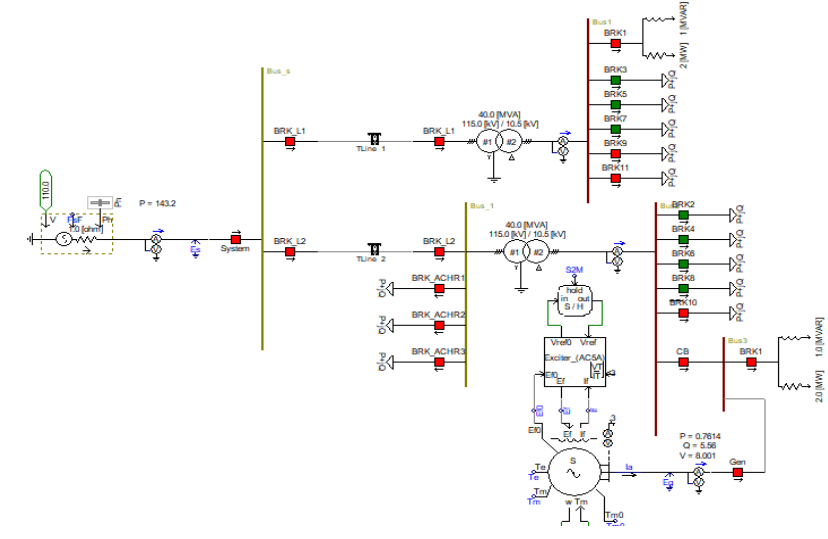


Рис. 3 – PSCAD-модель СЭС ПП с ОРГ

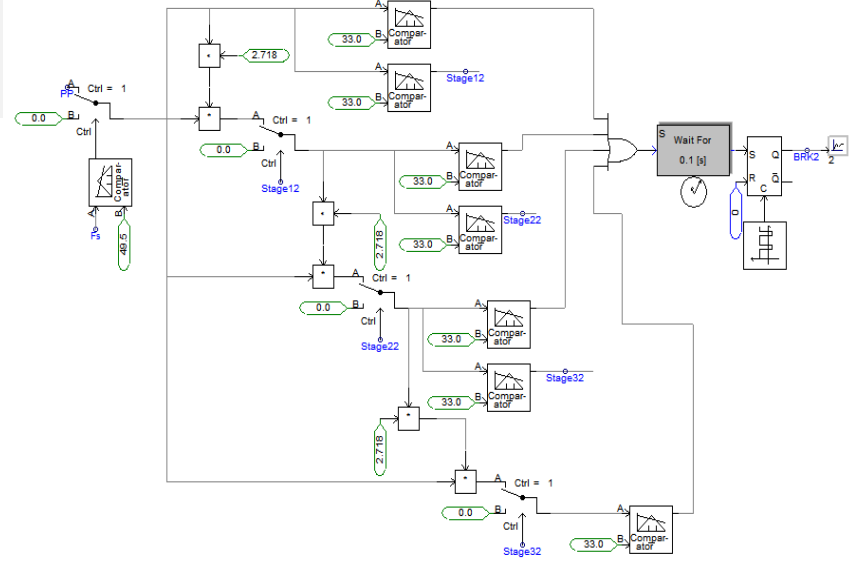
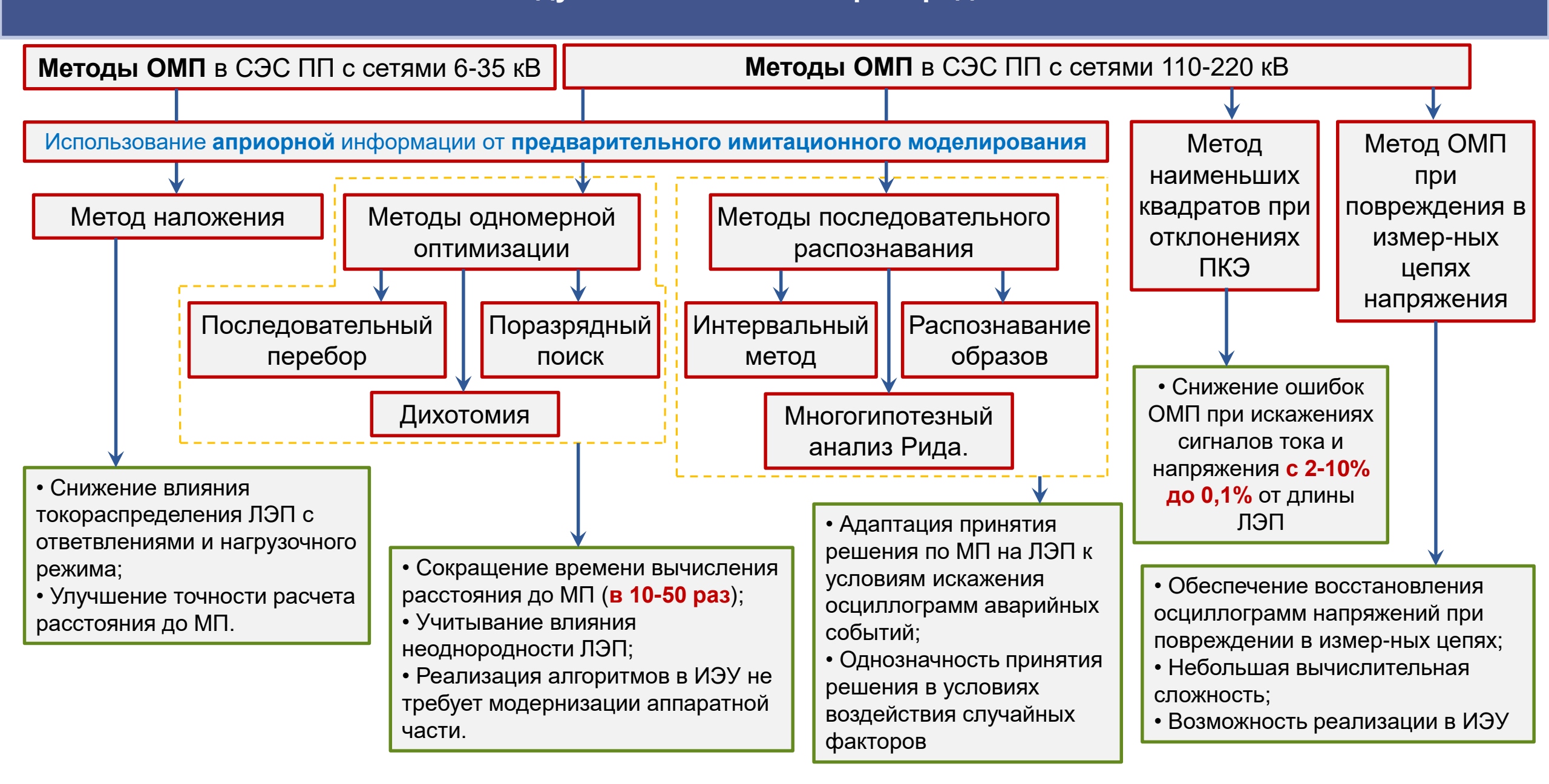


Рис. 4 – Реализация ЛЧ алгоритма АЧР для 1-й очереди

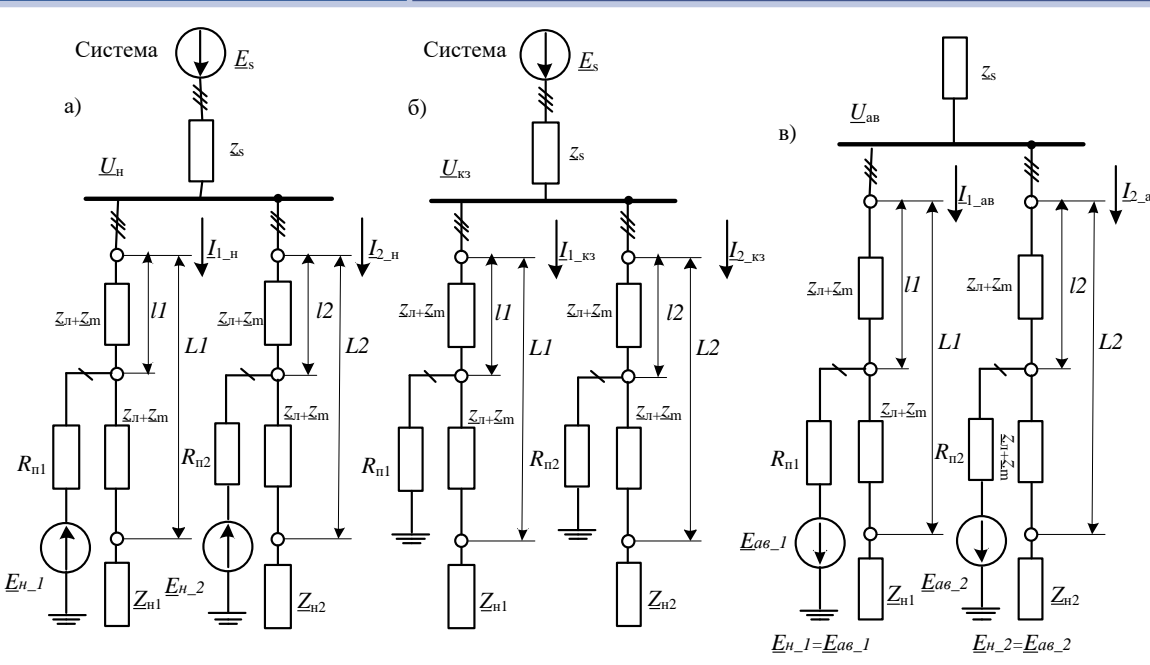
35

Новые способы определения места повреждения на воздушных линиях электропередачи в СЭС ПП

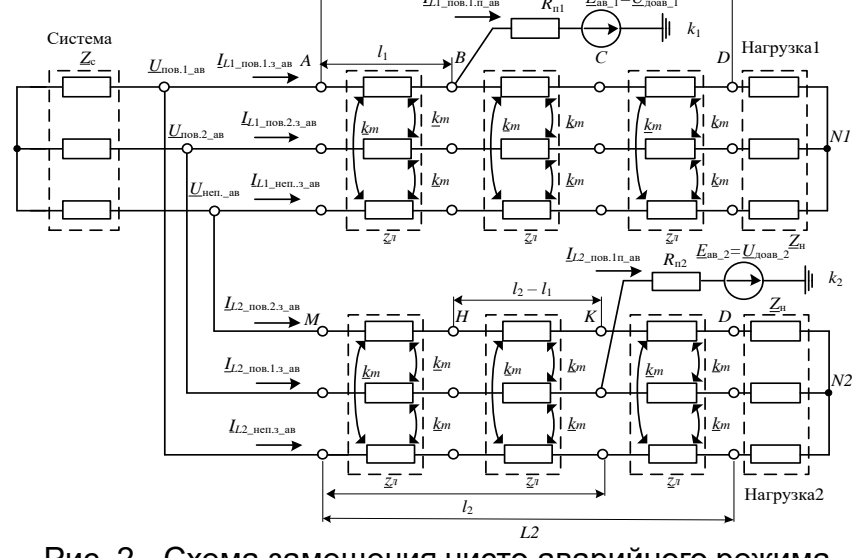


Способ определения места повреждения на воздушной ЛЭП 6-35 кВ в СЭС ПП с применением метода наложения

Метод наложения



Метод наложения эффективен для ЛЭП с ответвлениями: уравнивает кол-во ветвей в эл. сети до и после повреждения. Предусматривает составление схем: доаварийного, аварийного и число аварийного режимов



а - схема для доаварийного режима, б – схема для аварийного режима, в – схема для чисто аварийного режима

Рис. 1 - Пояснение к применению метода наложения

Расстояние до места повреждения:

$$l_{x} = \frac{Im \left(\frac{\underline{U}_{no6.1_a_{B}} + \underline{U}_{no6.1_H}}{\underline{I}_{x_no6.1.3_a_{B}}} \right)}{Im \left(\frac{\underline{I}_{x_no6.2.3.a_{B}} + \underline{I}_{x_no6.1.3_a_{B}} + \underline{I}_{x_no6.1.3_a_{B}} + \underline{I}_{x_no6.1.3_a_{B}} + \frac{\underline{I}_{x_no6.1.3_a_{B}} + \underline{I}_{x_no6.1.3_a_{B}} + \underline{I}_{x_no6.1.3_a_{B}} + \underline{I}_{x_no6.1.3_a_{B}} + \underline{I}_{x_no6.1.3_a_{B}} \right) \cdot Z_{m_x} + \left(\frac{\underline{I}_{x_no6.1.3_H}}{\underline{I}_{x_no6.1.3_a_{B}}} + 1 \right) \cdot Z_{\pi_x} \right)}$$

 Z_{m_-x} — удельное сопротивление взаимной индукций; Z_{n_-x} — удельное сопротивление линии; I_{x_-y,sau_1-z} — ток, протекающий в месте установки защиты; I_{x_-y,nos_-z} — ток, протекающий в месте повреждения; индекс «х» обозначает анализируемую линию; индекс «у» указывает фазу (1 — поврежденная фаза анализируемой линии, 2 — поврежденная фаза соседней линии, неп. — неповрежденная фаза); индекс «z» соответствует режиму (н — нормальный режим, кз — аварийный режим, ав — чисто аварийный режим).

Рис. 2 - Схема замещения чисто аварийного режима в трехфазном исполнении

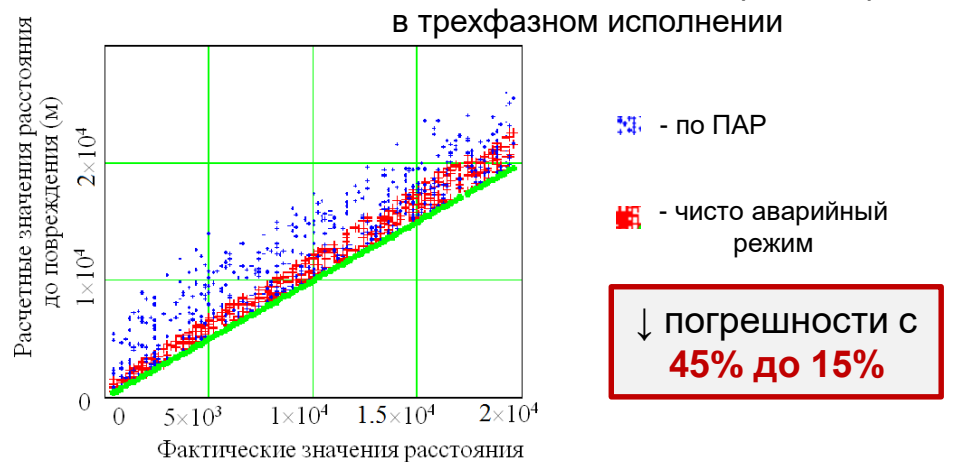


Рис. 3 – Зависимость расчетных расстояний до точек повреждения от фактических при двойных замыканиях на землю на ЛЭП

до повреждения (м)

Численные методы одномерной оптимизации при ОМП на воздушной ЛЭП в СЭС ПП

Методы оптимизации

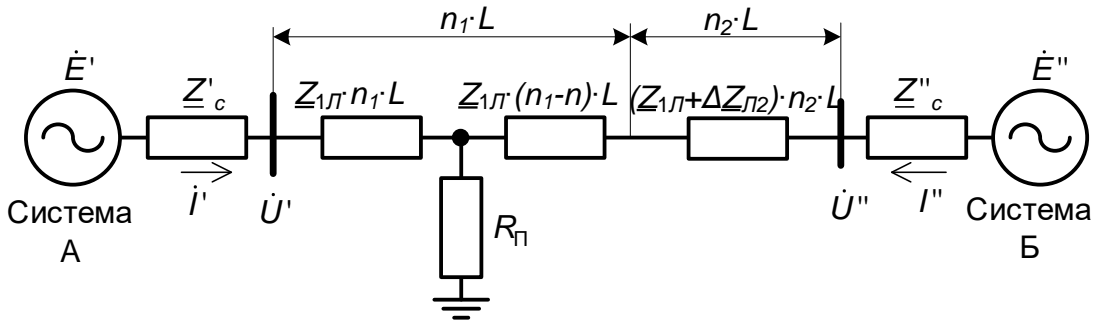


Рис. 1 - Схема замещения неоднородной одноцепной воздушной ЛЭП с двумя участками

Расчет погрешности при КЗ на *N*-ом участке на ВЛЭП, включающую *N* неоднородных участков:

$$\Delta n_{N} = \left[\left(\underline{Z}_{1,II} - \left(\underline{Z}_{1,II} + \Delta \underline{Z}_{JIN} \right) \right) \cdot n_{1} + \sum_{i=2}^{N-1} \left\{ \left(\underline{Z}_{1,II} + \Delta \underline{Z}_{JIi} \right) - \left(\underline{Z}_{1,II} + \Delta \underline{Z}_{JIN} \right) \right\} \cdot n_{i} + \\ + \left(\left(\underline{Z}_{1,II} + \Delta \underline{Z}_{JIN} - \underline{Z}_{JI} \right) \cdot n_{I} \right] / \underline{Z}_{JI} = \\ = \left[\sum_{i=2}^{N-1} \left(\Delta \underline{Z}_{JIi} - \Delta \underline{Z}_{JIN} \right) \cdot n_{i} - \Delta \underline{Z}_{JIN} \cdot n_{I} + \left(\left(\underline{Z}_{1,II} + \Delta \underline{Z}_{JIN} \right) - \underline{Z}_{JI} \right) \cdot n_{I} \right] / \underline{Z}_{JI}$$

Задача отыскания минимума функции: $f(x) \to \min; x \in [a, b]$ решается через $x_{\text{опт}}$:

$$f(x_{\text{OHT}}) = \min_{[a, b]} f(x).$$

Применение критерия равенства напряжений, рассчитанных с двух сторон воздушной ЛЭП, позволяет сформировать требуемую целевую функцию итерационного алгоритма $f(x) = \Delta U$, обеспечивающую минимум модуля разности напряжений ΔU в точке КЗ (Uк), рассчитанных с разных сторон ЛЭП:

$$\Delta U = |[I \cdot n \cdot \underline{Z}_{I} + U'] - [I'' (1 - n) \cdot \underline{Z}_{I} + U'']|.$$

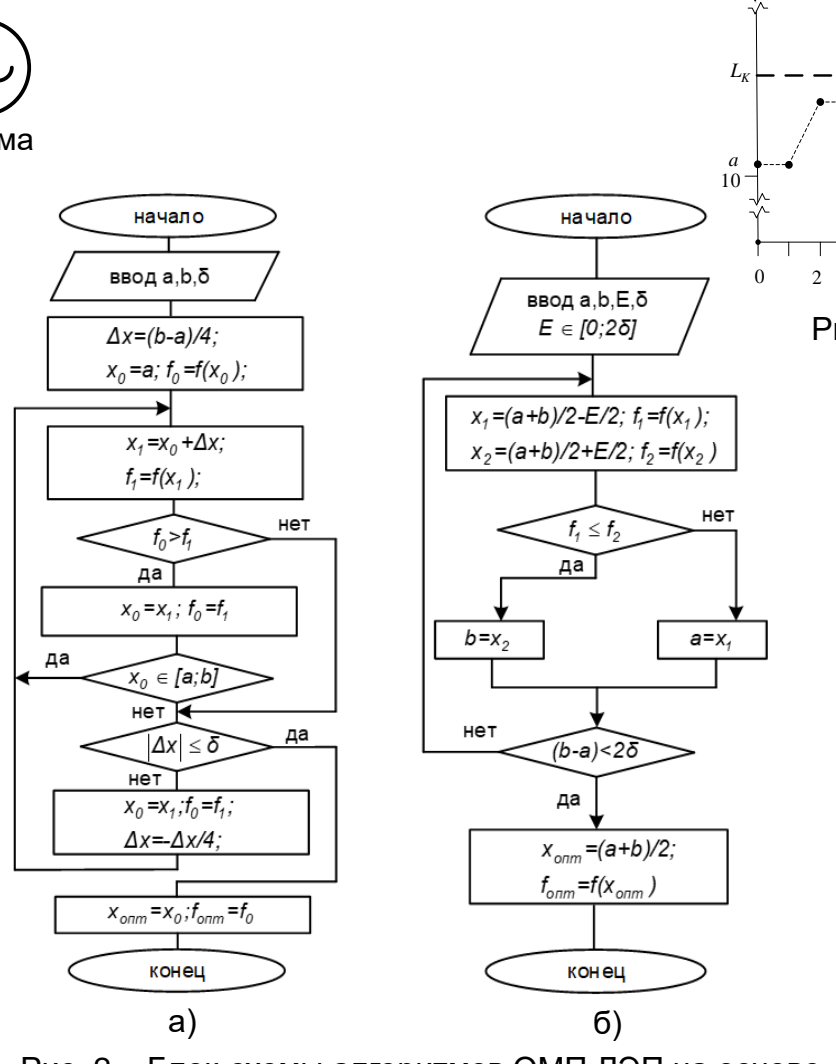


Рис. 2 – Блок-схемы алгоритмов ОМП ЛЭП на основе методов: а – поразрядного поиска; б – дихотомии.

Рис. 3 – График реализации ОМП ЛЭП по ПАР на основе метода поразрядного поиска

L, км

- 1. Выигрыш в быстродействии при реализации метода поразрядного поиска, по сравнению с методом последовательного перебора, составит
- w = m2/m1 = 400/20 = 20 pas.
- 2. ↓ погрешности из-за учета неоднородности с 3,28% до
 0,25% от длины воздушной ЛЭП
- **3.** Выигрыш в быстродействии при реализации метода дихотомии, по сравнению с методом последовательного перебора, составит w = m2/m1 = 400/9 = 44,44 раз.

Методы последовательного распознавания поврежденного участка воздушной ЛЭП

Интервальный метод

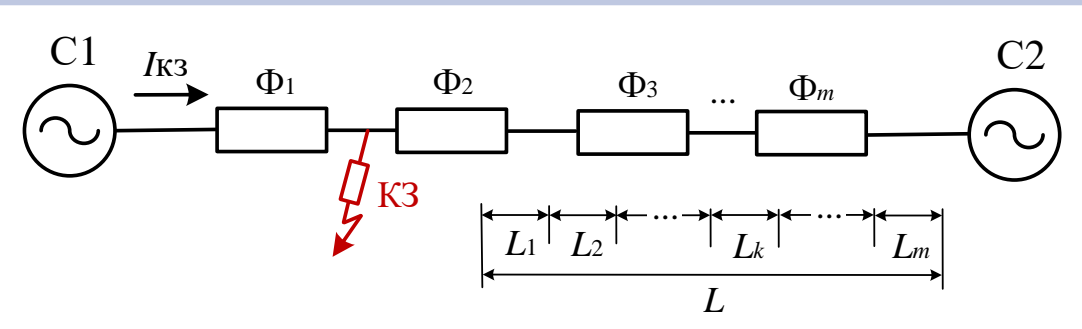


Рис. 1 — Фрагмент участка СЭС ПП с разделением ЛЭП на интервалы $\Delta L_{k} = L_{k} - L_{k-1}$

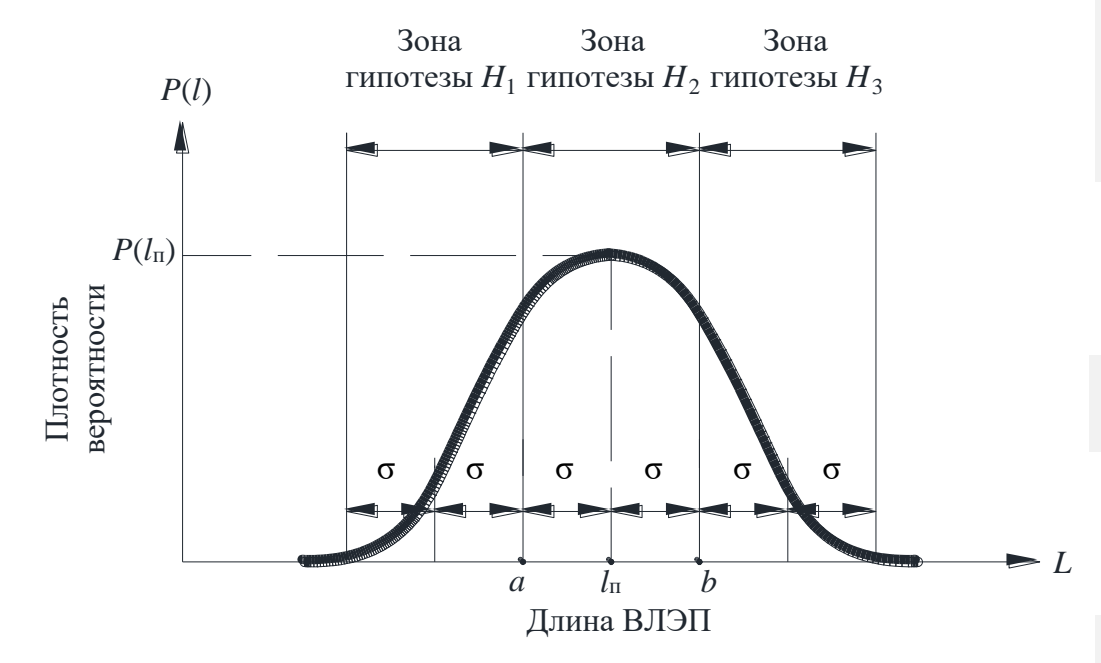


Рис. 2 – Пример распределения места повреждения вдоль ЛЭП с учетом влияния различных случайных факторов

При выборе поврежденного участка в пределах зоны обхода воздушной ЛЭП проводится k экспериментов с выборочными данными на каждом шаге процедуры.

По результатам каждого из экспериментов принимается одно из (*M*+1) решений:

- закончить эксперимент принятием гипотезы Н1 (поврежден участок номер 1);
- закончить эксперимент принятием гипотезы H_2 (поврежден участок номер 2);

.

- закончить эксперимент принятием гипотезы HM (поврежден участок номер M);
- продолжить эксперимент поведением дополнительных наблюдений.

Гипотезы относительно места повреждения воздушной ЛЭП:

 H_1 – при расчетном месте повреждения I_1 < a; H_2 – при расчетном месте повреждения a < I_1 < b; H_3 – при расчетном месте повреждения I_1 > b. Пусть Δ - некоторая положительная величина, тогда весовые функции, характеризующие зоны предпочтения и безразличия, определяются следующим образом:

$$w_{1}(l_{_{\Pi}}) = \begin{cases} 0, \; \text{при } l_{_{\Pi}} < a + \Delta, \\ 1, \; \text{при } l_{_{\Pi}} \geq a + \Delta, \end{cases} \qquad w_{2}(l_{_{\Pi}}) = \begin{cases} 0, \; \text{при } a - \Delta < l_{_{\Pi}} < b + \Delta, \\ 1, \; \text{при других } l_{_{\Pi}}, \end{cases} \qquad w_{3}(l_{_{\Pi}}) = \begin{cases} 0, \; \text{при } l_{_{\Pi}} > b - \Delta, \\ 1, \; \text{при других } l_{_{\Pi}}, \end{cases}$$

весовые функции $w_1(x)$, ..., $w_M(x)$, определяющие риск R(x), имеют простую форму и могут принимать лишь два значения 0 или 1. Поэтому выражение для риска:

$$R(\underline{X}) = \sum_{m=1}^{M} P_m(\underline{X}),$$

где суммирование производится только по значениям m, при которых $w_m(x)$ =1.

Неправильное решение принимается только тогда, когда принимается гипотеза HM, для которой $w_i(x)$ =1 при $i \neq m$, а риск R(x) при этом будет равен вероятности неправильного решения.

Методы последовательного распознавания поврежденного участка воздушной ЛЭП

Метод многогипотезного анализа Рида

Пусть x_1 , x_2 ... есть последовательность переменных, а $p_m(x_1, x_2$... $|H_i\rangle = p_m(\mathbf{x}|H_i)$ — совместная плотность вероятности x_1, x_2 ... при условии, что верна гипотеза H_i .

Алгоритм принятия решения Рида основывается на формировании на каждом шаге *m* обобщенного отношения правдоподобия:

$$\lambda_m(\mathbf{x}|H_i) = \frac{p_m(\mathbf{x}|H_i)}{\sqrt[M]{\prod_{k=1}^M p_m(\mathbf{x}|H_k)}}, i = 1,...,M.$$

Последовательное исключение гипотез по условию:

$$\lambda_m(\mathbf{x}|H_i) < \lambda^{\text{nop}}_m(\mathbf{x}|H_i).$$

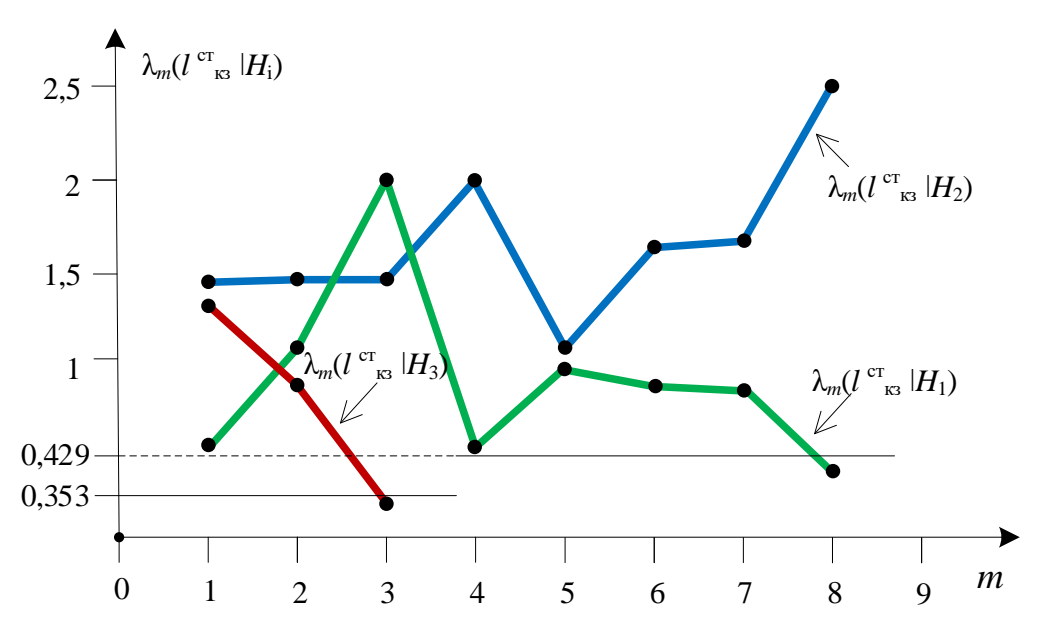


Рис. 2 – Пояснения к процессу принятия решения при последовательном анализе Рида

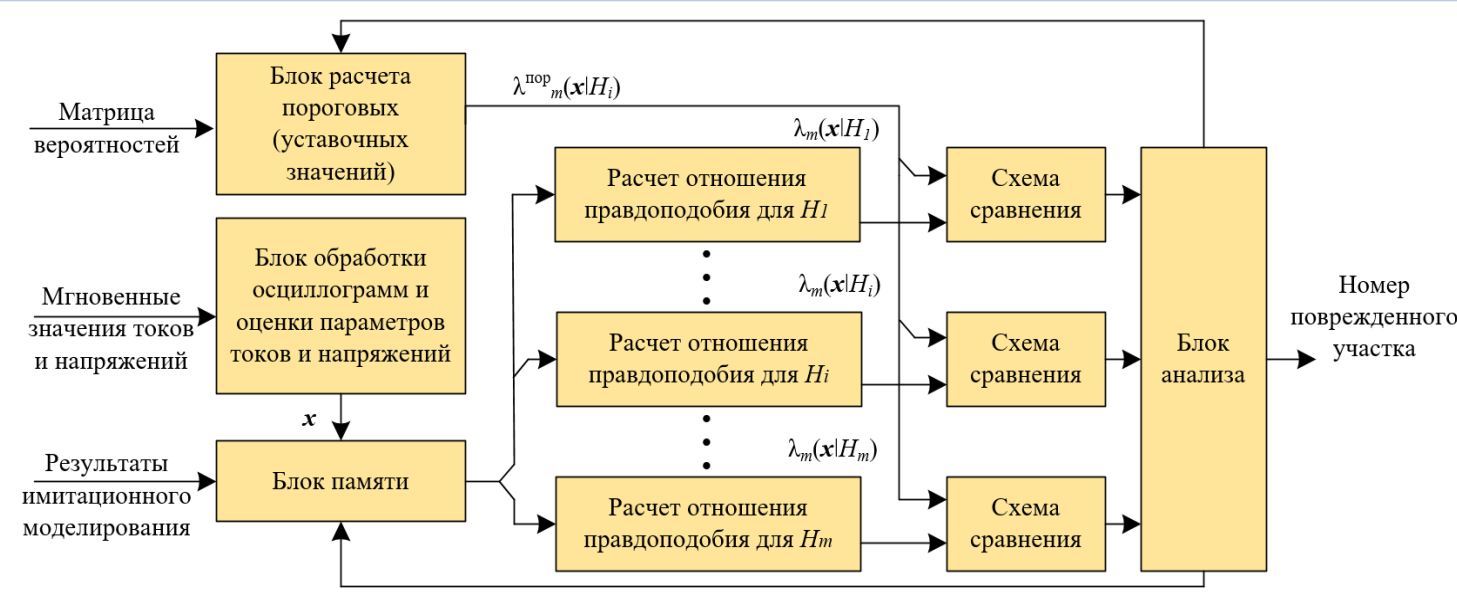


Рис. 1 – Структурная схема устройства, реализующего процедуру последовательного анализа при ОМП на ЛЭП

Пороговые значения:

$$\lambda_{m}^{\text{nop}}(l_{k3}|H_{1}) = \lambda_{m}^{\text{nop}}(l_{k3}|H_{2}) = \lambda_{m}^{\text{nop}}(l_{k3}|H_{3}) = 0,353;$$



После исключения гипотезы Нз:

$$\lambda^{\text{пор}}{}_{m}(l^{\text{ct}}{}_{\text{k3}}\mid H_{1}) = \lambda^{\text{пор}}{}_{m}(l^{\text{ct}}{}_{\text{k3}}\mid H_{2}) = 0,3/0,7 = 0,429.$$

Результат:

- 1. Выбор поврежденного участка в интервале $M[k_3] + \sigma/2 = 25,185 + 0,835$ (км);
- 2. Адаптация процесса принятия решения о поврежденном участке ЛЭП к особенностям искажения осциллограмм аварийных событий и условиям оценки их параметров.

Комбинирование волновых методов и методов по параметрам аварийного режима (ПАР) для улучшения распознавания поврежденных участков ЛЭП в СЭС ПП

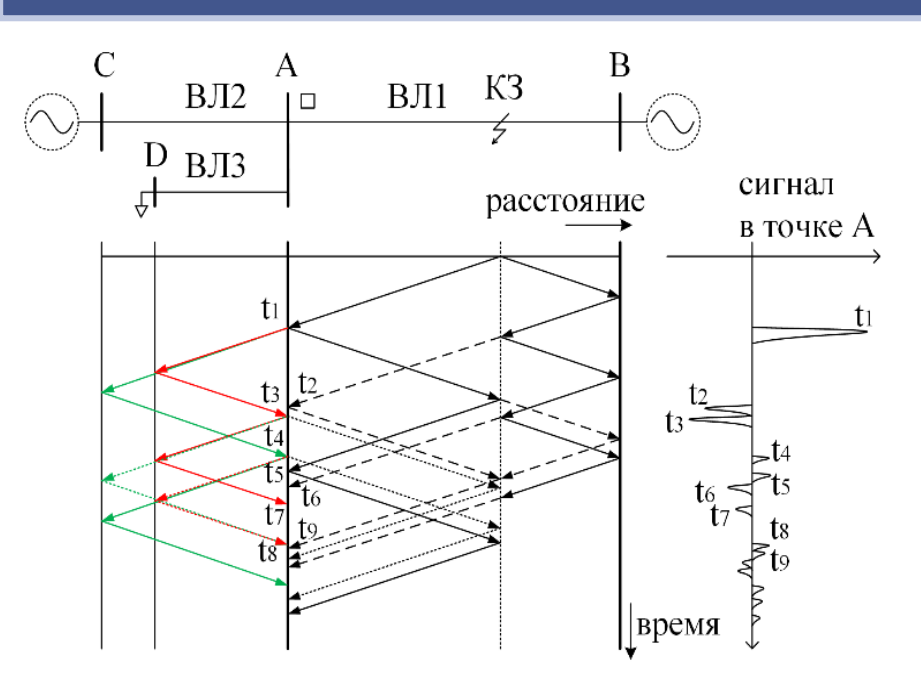


Рис. 1 - Лестничная диаграмма распространения волн по участку сети и характер сигнала в точке замера

Расстояние до МП:

$$L_{MII} = \frac{(t_5 - t_1)}{2} \cdot v$$

 $L_{
m MII}$ — расстояние до места повреждения; v — групповая скорость распространения волн по линии.

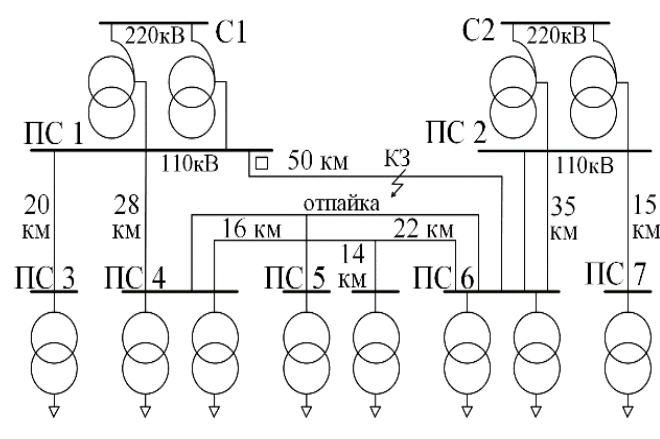


Рис. 2 - Анализируемый участок СЭС ПП 110/10 кВ

Кросскорреляционная функция для двух дискретных сигналов:

$$R_{S_1S_2}(n) = \frac{1}{N} \cdot \sum_{k=1}^{N} ([-S_2(k)] \cdot [S_1(k+n)])$$

где: *N* – длительность записи первого импульса сигнала S2; *n* – текущий отчет.

Отраженная волна: Падающая волна:

$$S_1(t) = u(t) - z_C \cdot i(t)$$
 $S_2(t) = u(t) + z_C \cdot i(t)$

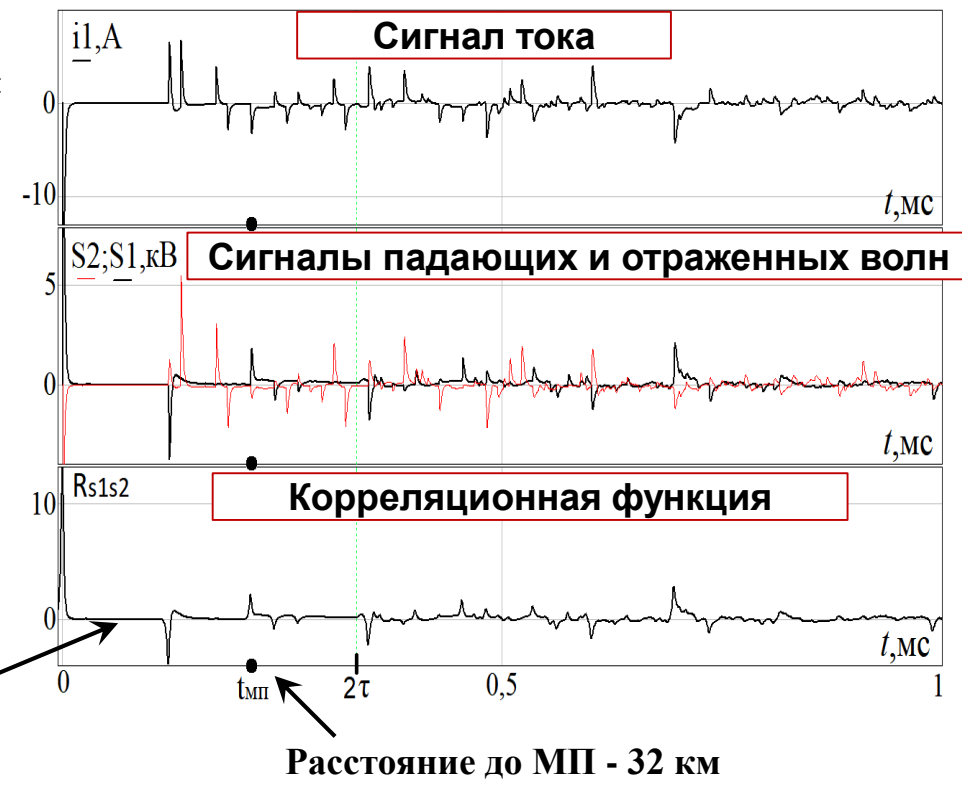
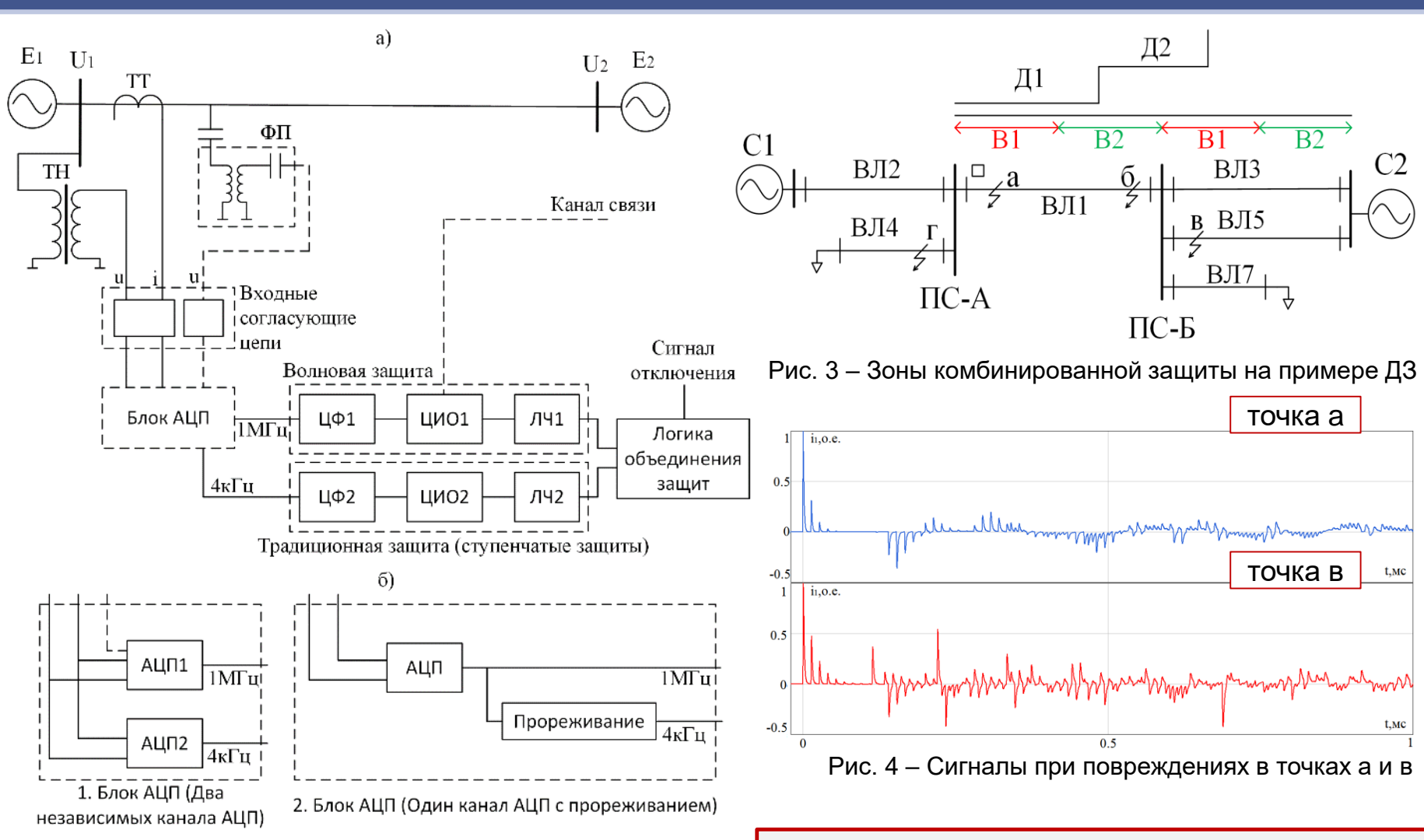


Рис. 3 – Графики отражающие время прихода нужной волны



Д1 В2 & 1 ОТКЛ.

Рис. 2 – Упрощенная логическая схема разработанного алгоритма защиты

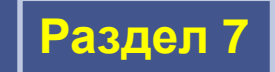
Логика алгоритма:

- При КЗ в зоне защиты первой ступени ДЗ (Д1) защита срабатывает без выдержки времени;
- При попадании КЗ в зону защиты второй ступени ДЗ (Д2) и во вторую зону волнового органа (В2) защита срабатывает также без выдержки времени, причем скорость срабатывания может быть быстрее, чем первой ступени ДЗ;
- При КЗ на смежной линии срабатывает вторая ступень ДЗ (Д2) и волновой орган определяет расстояние до места повреждения, входящее в зону (В1) (при очень близком КЗ В1 не срабатывает, но также не срабатывает В2), при этом защита действует с выдержкой по времени, ускорения второй ступени ДЗ не происходит.

Результат:

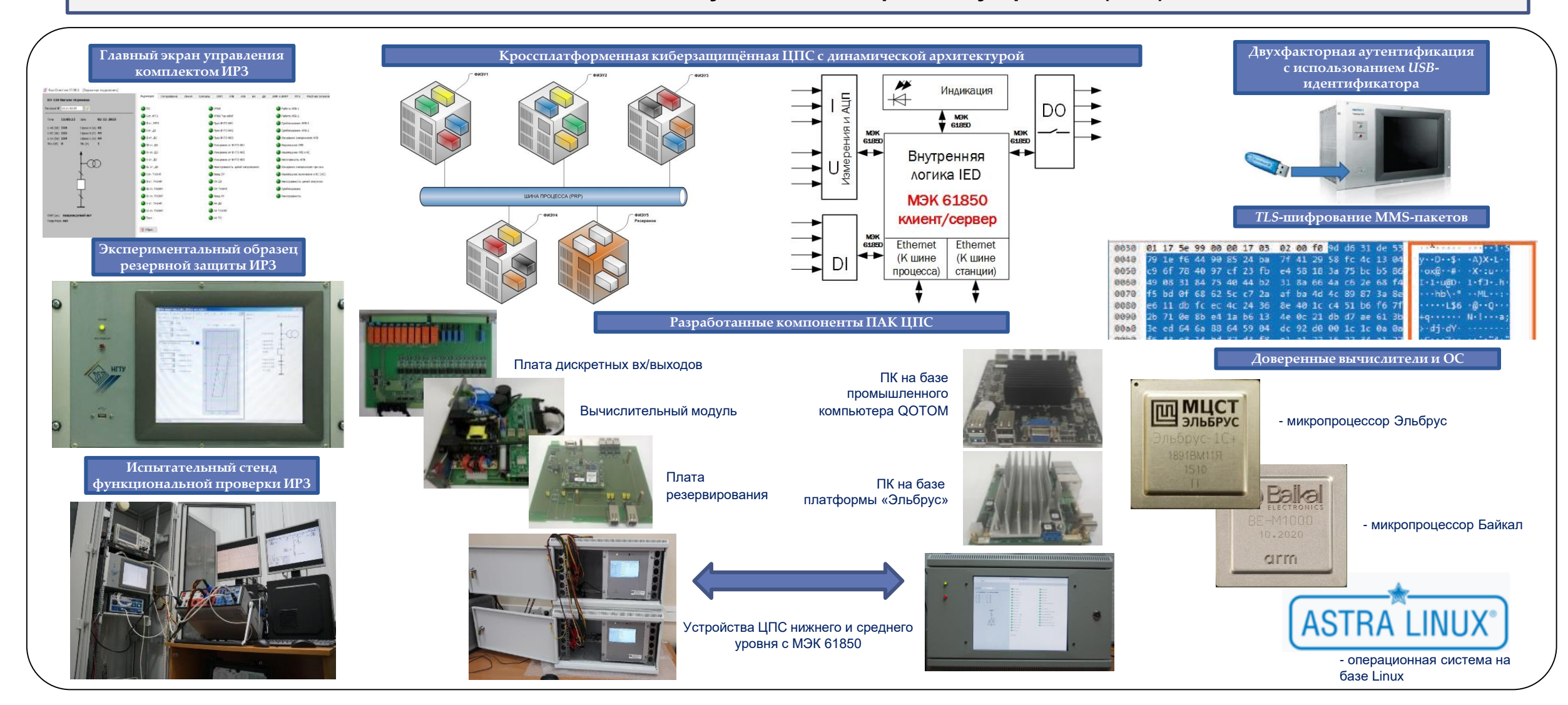
Комбинирование защит позволяет увеличить основную зону защит, уменьшить зависимость от режима сети, ликвидировать мертвую зону, повысить быстродействие и точность ИО.

Рис. 1 – Структурная схема комбинированной защиты (а), а также способы исполнения аналого-цифрового преобразования (б)



Аппаратно-программная реализация киберзащищенных многопараметрических устройств РЗА с применением компонентов промышленной автоматизации

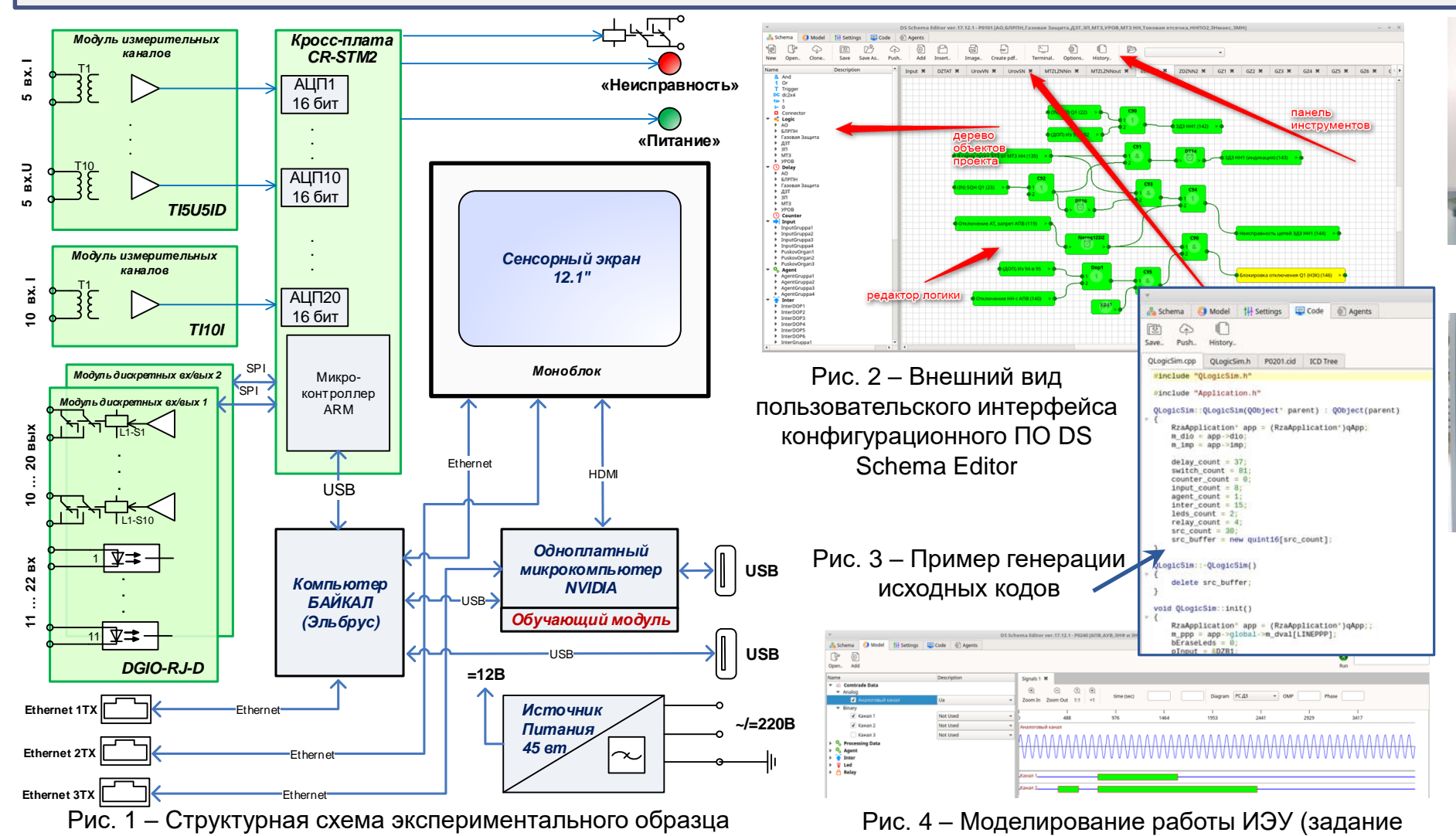
Создана новая отечественная <mark>аппаратно-программная платформа</mark> для реализации устройств релейной защиты и автоматики и интеллектуальных электронных устройств (ИЭУ)



Программно-аппаратные и схемотехнические решения интеллектуальных электронных устройств для СЭС ПП для распознавания сложных режимов

аналоговых и дискретных сигналов)

Разработано программное обеспечение предназначенное для управления и обеспечения работы терминала РЗА с применением протокола МЭК 61850, реализации основных функций и разработки алгоритмов защит с использованием блоков функциональных диаграмм (FBD) - КОДОГЕНЕРАТОР



терминала многопараметрической РЗА



Кросс-плата (CR-STM2)

Аналоговая плата (TI10L)



Терминал вид сзади



Мини ПК Байкал с блоком питания



Плата дискретных входов-выходов (DGIO-RJ-D)



Терминал вид спереди

Киберфизический испытательный стенд для апробирования алгоритмов работы и тестирования ИЭУ

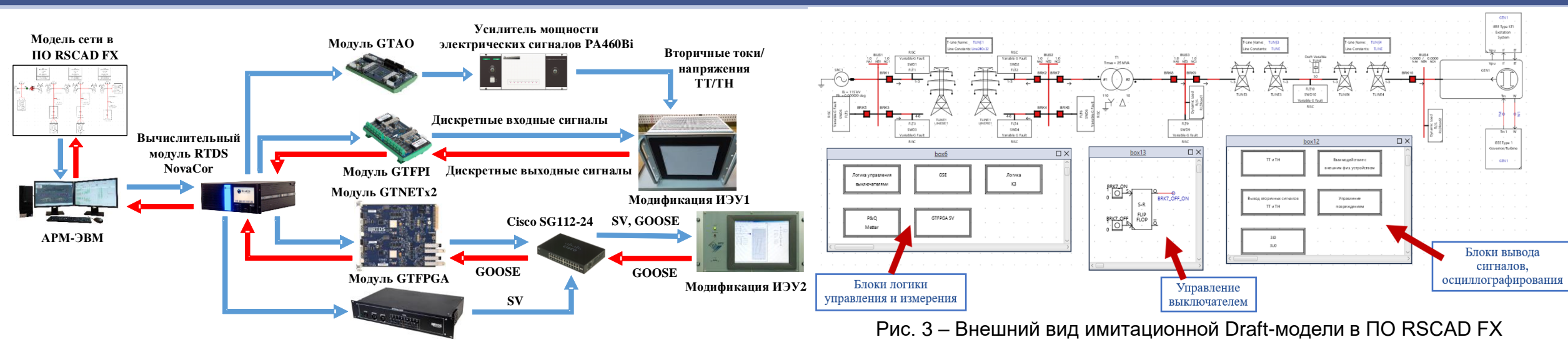


Рис. 1 – Структурная схема испытательной киберфизической установки

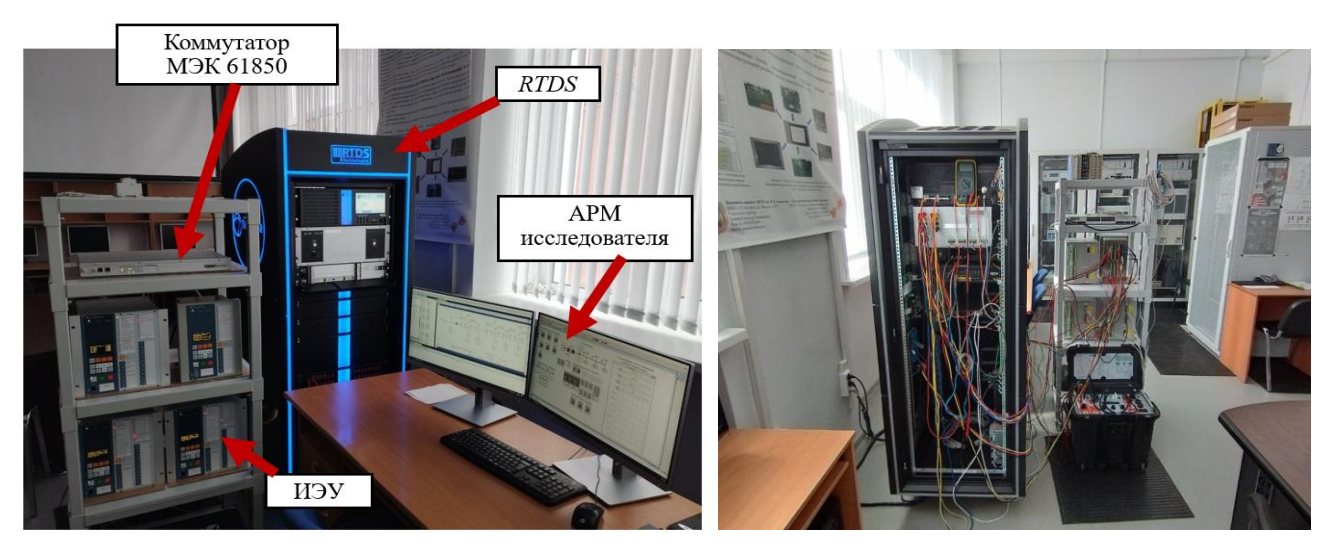


Рис. 2 – Внешний вид испытательного киберфизического стенда (спереди, сзади)

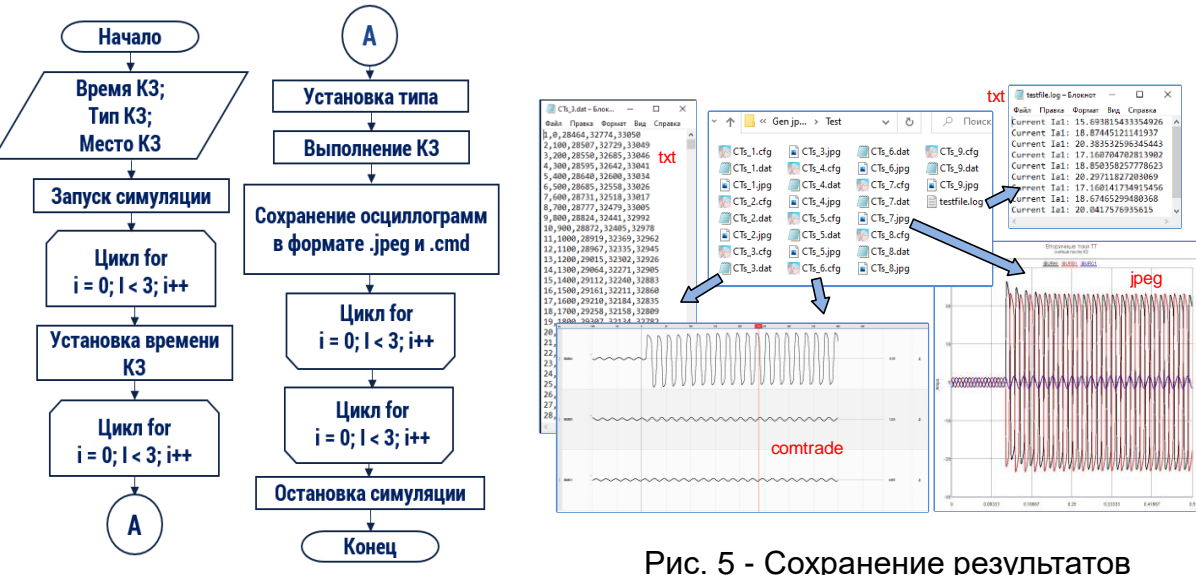


Рис. 4 - Упрощенная блок схема файласценария автоматизации полунатурного моделирования

Рис. 5 - Сохранение результатов моделирования в базу данных в различных форматах

Концепция развития ИЭУ защиты и автоматики для СЭС ПП с ОРГ



Рис.1 - Способ адаптации ИЭУ защиты в режиме «ONLINE»



Рис.2 - Способ адаптации ИЭУ защиты в режиме «OFFLINE»

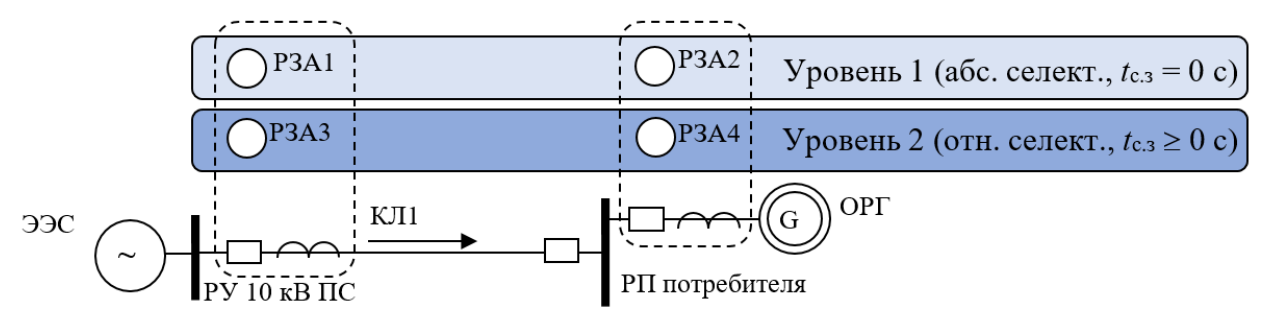


Рис.3 - Два независимых уровня защиты распределительной электросети [61,62]

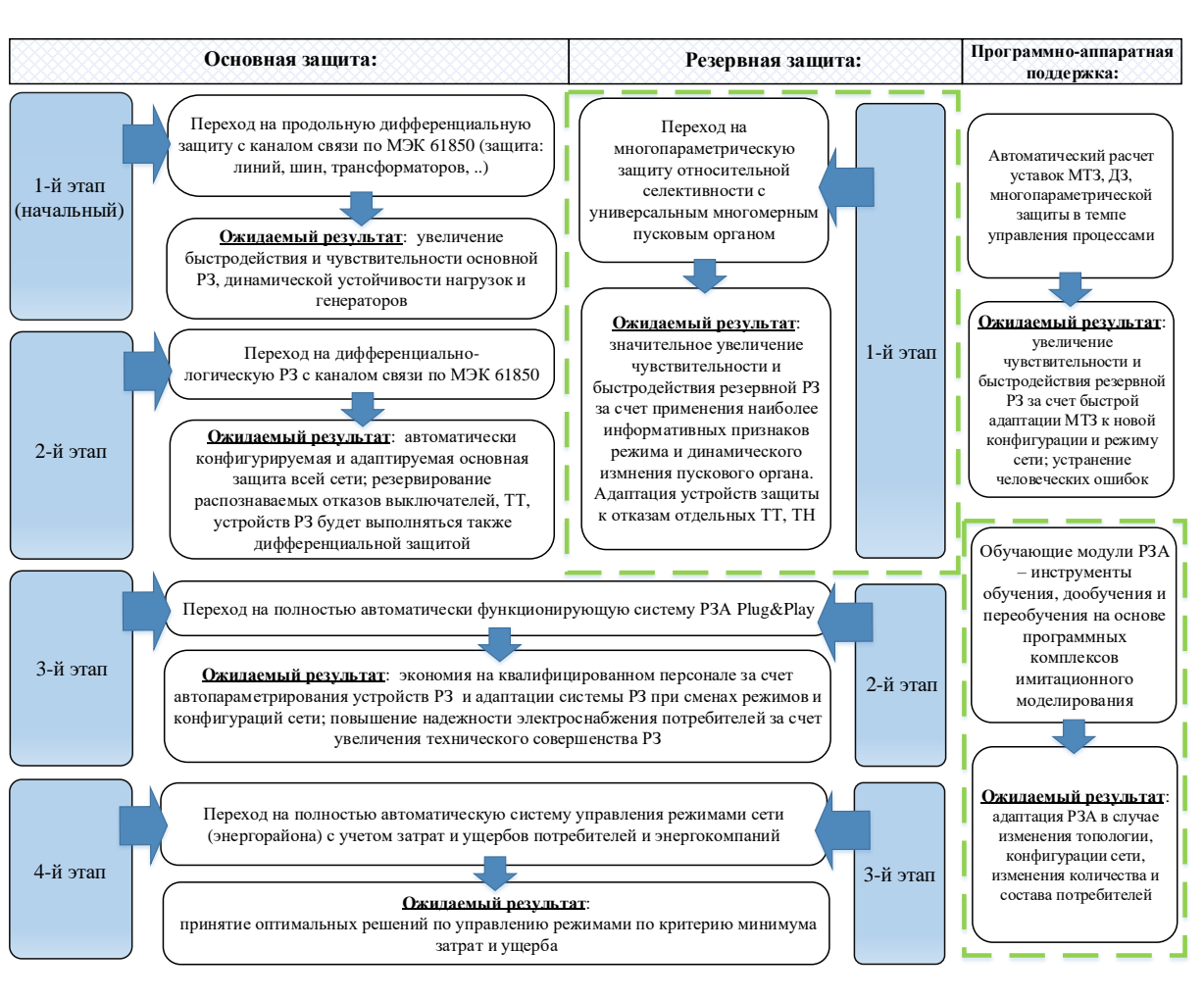
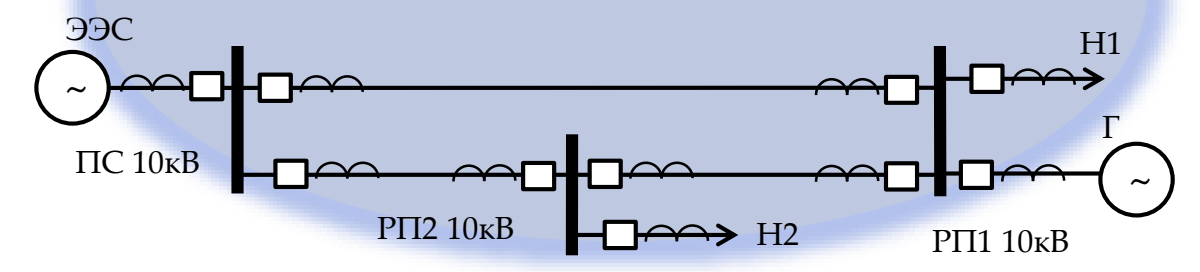


Рис.4 - Предполагаемое развитие РЗА в СЭС ПП с ОРГ [61,62]

Технология автоматического расчета параметров срабатывания релейной защиты относительной селективности (AP3)

Устройство автоматического расчета уставок и согласования защит (AP3). Виртуальный «цифровой» релейщик

Информационная сеть по МЭК 61850



- 1. Происходят изменения в электрической сети
- 2. Изменения передаются в устройство AP3 и оно пересчитывает уставки защит сети
- 3. Устройство AP3 передает новые уставки защит в устройства защиты
- Все процессы АРЗ происходят без участия человека.
- Возможен расчет традиционных защит (МТЗ, ДЗ) и перспективных высокочувствительных многопараметрических РЗ.
- Технология применима к любым ступенчатым релейным защитам относительной селективности сетей любой топологии, с любым количеством источников питания.
- АРЗ совместима со старыми типами РЗ и не требует полной модернизации распредсети

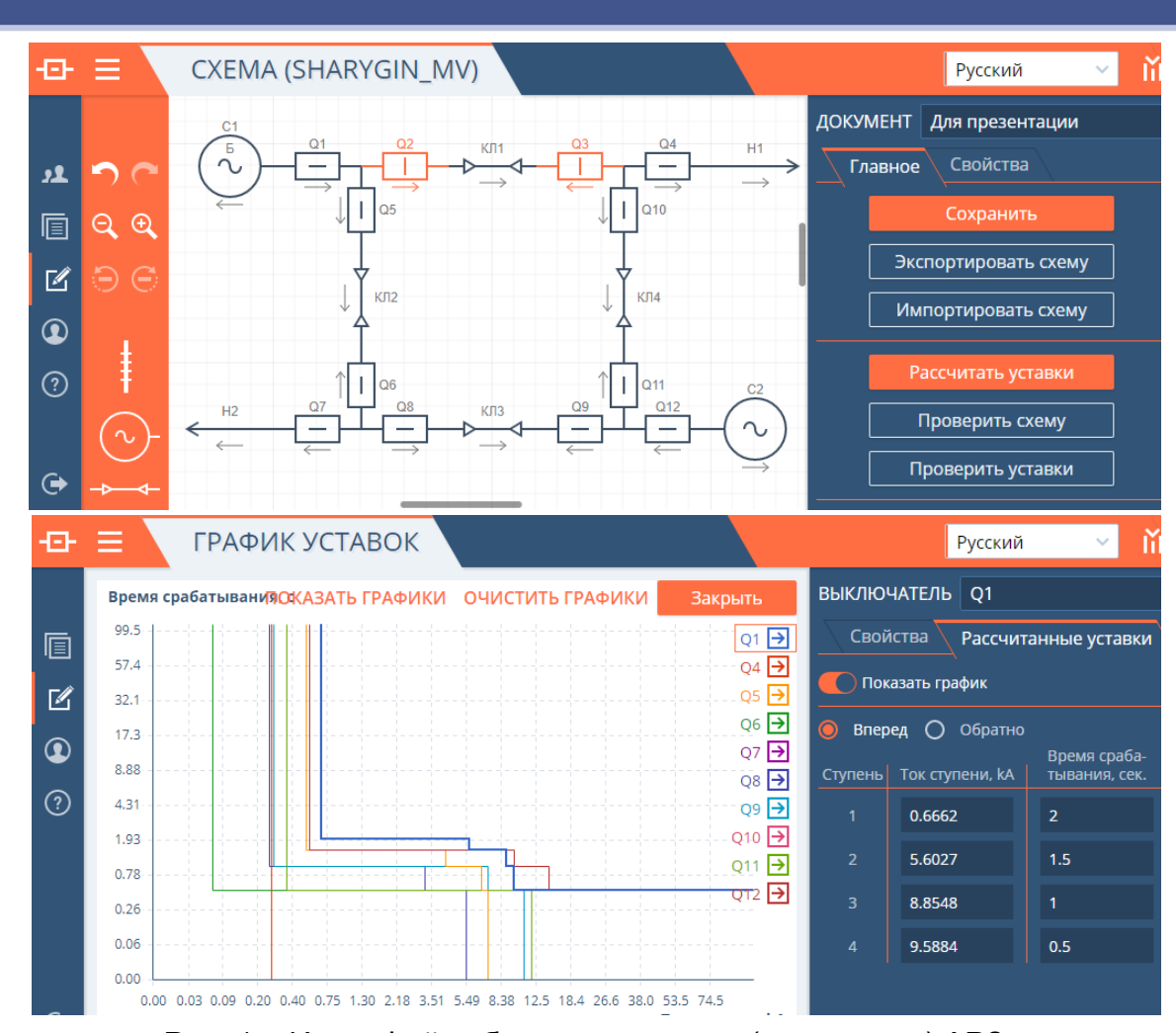


Рис. 1 – Интерфейс облачного сервиса (программы) АРЗ

Алгоритм расчета уставок РЗ основан на новом методе распознавания режимов электросети (статистический байесовский подход), который максимально полно использует информацию многомерных измерений.

Основные результаты и выводы:

- **1.** Анализ отечественного и зарубежного опыта внедрения ОРГ в СЭС ПП показал сложность переходных процессов, увеличение скорости изменения частоты, проблемы с устойчивостью работы генераторов, искажения ПКЭ, отражающиеся на эффективности работы РЗА при распознавании режимов работы. Показана перспективность использования имитационного моделирования и многопараметричности при организации ЛЧ РЗА, а также статистических методов, машинного обучения и искусственного интеллекта.
- **2.** Предложенные статистические методы и методы объединения бинарных сигналов от ПО позволяют повысить чувствительность многопараметрической РЗА и распознаваемость аварийных режимов на **5–70** % в зависимости от конфигурации сети и требований к организации защиты электротехнического объекта.
- 3. Исследованы методы реализации многопараметрической РЗА с объединением информационных признаков ИНС и методом дерева решений, повышающие распознаваемость аварийных режимов в СЭС ПП (более чем на 14 %), в том числе на ранних этапах развития повреждений трансформаторов (с процентом замкнутой части обмоток менее 0,1%, (1–3 витка)).
- **4.** Применение метода решающих деревьев и его модификаций для организации РЗА на ЛЭП с ответвлениями в СЭС ПП позволило сформировать алгоритм многопараметрической защиты, отличающийся повышенной чувствительностью при КЗ на ответвлении за трансформатором, что **более чем на 24% эффективнее** «Дистанционного ИО».
- **5.** Разработаны и опробованы на примере фрагмента СЭС ПП методы «сжатия данных» для перехода к обобщенному признаку в логическую часть многопараметрической релейной защиты, повышающие распознаваемость режимов и упрощающие реализацию по принципу сравнения с обобщенной уставкой. Результаты на объектной характеристике, полученные по МГК и ЛДФ, показывают лучшие результаты распознавания аварий, чем одномерные признаки (до 5–6 раз).
- **6.** Обоснована эффективность применения последовательного анализа Вальда при распознавании режимов работы энергорайона на примере принятия решения устройством АЧР в условиях больших ошибок измерения частоты и отклонений ПКЭ от нормативных значений. Разработанные алгоритмы обладают высокой степенью адаптации, быстродействия и вероятностью правильного принятия решения за **4–6 шагов** дискретизации.
- 7. Разработаны новые методы ОМП для СЭС ПП, включающие сети 6-220 кВ. Разработан и апробирован на математических моделях метод наложения для формирования алгоритмов ОМП ЛЭП при однофазных и двойных замыканиях на землю в сетях 6-35 кВ. На примере двухстороннего ОМП ЛЭП показано, что применение алгоритмов поиска позволяет существенно (в 10–50 раз) сократить число шагов вычислительной итерационной процедуры и соответственно время вычисления расстояния до повреждения. Разработанные методы ОМП обеспечивают высокую точность в условиях отклонения ПКЭ от нормативных значений.
- **8.** Разработаны технические решения по комбинированию традиционных и волновых защит в логической части ИЭУ для СЭС ПП, расширяющие зону защиты, улучшающие распознаваемость повреждений, повышающие быстродействие и надежность ИЭУ защиты.
- **9.** Создана новая отечественная аппаратно-программная платформа для реализации разработанных методов в ИЭУ, обладающая универсальностью аппаратного обеспечения и требующая только модернизации ПО под конкретный электротехнический комплекс и используемый алгоритм функционирования в составе СЭС ПП.

Результаты интеллектуальной деятельности, реализованные проекты и гранты

По теме исследования опубликовано более 125 работ, среди которых:

- 26 статей в журналах ВАК: «Электричество», «Электрические станции», «Электротехника», «Известия Российской академии наук. Энергетика», «Электроэнергия. Передача и распределение», «Энергетик», «Релейная защита и автоматизация», «Интеллектуальная электротехника», «Труды НГТУ им. Р.Е. Алексеева», «Электроника и электрооборудование транспорта»;
- 26 статей в научных изданиях, индексируемых в Scopus и Wos;
- 28 патентов на изобретение;
- 4 свидетельство на программу для ЭВМ;
- 2 монографии;
- 2 учебных пособия.

Разработка интеллектуальных электронных устройств, методов и алгоритмов распознавания повреждений и автоматики велась в соответствии с заданием следующих **проектов**:

- ▶ Государственных контрактов: № 14.577.21.0124 от 20.10.2014 № 14.577.21.0244 от 26.09.2017г.;
- ▶ Проекта участников НОЦ Нижегородской области. Договор №16-11-2021/50 от 16.11.2021г.;
- ▶ Программы «ПРИОРИТЕТ-2030»;
- Гранта Президента РФ 2019-2020гг.;
- Грантов Правительства Нижегородской области: Соглашение № 316-06-16-48a/21 от 10.11.2021г., Соглашение № 316-06-16-5a/22 от 20.05.2022г.;
- У Государственного задания в сфере научной деятельности (темы: №FSWE-2022-0005, №FSWE-2025-0001).

Спасибо за внимание!